

وزارة التعليم العالي  
MINISTERE DE L'ENSEIGNEMENT SUPERIEUR

المدرسة الوطنية المتعددة التقنيات  
BIBLIOTHEQUE — المكتبة  
Ecole Nationale Polytechnique

## ÉCOLE NATIONALE POLYTECHNIQUE

DEPARTEMENT GENIE MECANIQUE

1 ea

## PROJET DE FIN D'ETUDES

### S U J E T

DEPLACEMENTS DES POINTS DE FIXATION

DES MOTEURS EN V

Sous L'EFFET DES EXCITATIONS INTERNES

Proposé par :

M. BOUKABACHE Mohamed

Etudié par :

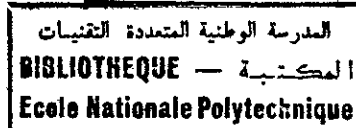
AMMICHE Ali

Dirigé par :

M. BOUKABACHE Mohamed

PROMOTION : Juin 1989

وزارة التعليم العالي  
MINISTERE DE L'ENSEIGNEMENT SUPERIEUR



## ÉCOLE NATIONALE POLYTECHNIQUE

DEPARTEMENT GENIE MECANIQUE

### PROJET DE FIN D'ETUDES

#### S U J E T

DEPLACEMENTS DES POINTS DE FIXATION

DES MOTEURS EN V

Sous L'EFFET DES EXCITATIONS INTERNES

Proposé par :

Etudié par :

Dirigé par :

1. BOUKABACHE Mohamed AMMICHE Ali M. BOUKABACHE Mohamed

PROMOTION : Juin 1989

MINISTERE DE L'ENSEIGNEMENT SUPERIEUR

ECOLE NATIONALE POLYTECHNIQUE

DEPARTEMENT DE GENIE MECANIQUE

PROMOTEUR : M<sup>me</sup> BOUKABACHE

ELEVE INGENIEUR : A. AMMICHE

المدرسة الوطنية المتعددة التقنيات

دائرة الهندسة الميكانيكية

الموجه: محمد بوكباش

الطالب المهندس: علي عقبيش

الموضوع: حساب مطال الإهتزازات مساند إلدريلان لمحرك V تحت مفعول التحريكين الداخليتين.

الملخص: تهدف هذه الدراسة إلى تحديد مطال الإهتزازات بدلالة خصائص مساند إلدريلان، ومن أجل ذلك قمنا بوضع المعادلات الديناميكية لمحرك اثناء العمل في الحالة العامة، ثم تطرقنا إلى حل هذه المعادلات في حالة خاصة بغية معرفة تأثير سرعة دوران المحرك وجهاز إخماد على مطال الإهتزازات.

Sujet: Déplacements des points de fixation des moteurs en V sous l'effet des excitations internes.

Résumé: Cette étude consiste à déterminer les amplitudes des vibrations du moteur en fonction des caractéristiques des plots de suspension.

Pour cela, on a établi les équations dynamiques du mouvement du moteur au cours de son fonctionnement dans le cas général, et on a procédé à leur résolution dans un cas particulier.

Subject: Moving of fixation points of the engine in V manner under the effect of internal excitations.

Abstract: This study consists of the determination of the vibrations amplitudes of the engine as a function of its elastic'holders

The general dynamic equations of the movements of the engine in function were established and the solution for a particular case was made.

## REMERCIEMENTS

je tiens à remercier vivement mon promoteur  
M<sup>r</sup> Mohamed BOUKABACHE ainsi M<sup>r</sup> Ali BEROUAKO  
pour l'aide qu'ils n'ont pas cessé de mi apporter  
quand à l'élaboration de ce travail

Que tous les professeurs, qui ont contribué à  
ma formation et tous ceux qui ont participé  
de près ou de loin à la réalisation de cette étude,  
trouvent ici ma profonde gratitude et mes sincères  
(remerciements).

Ali  


## SOMMAIRE

	page
<b>1. INTRODUCTION . . . . .</b>	<b>1</b>
<b>2. GENERALITE . . . . .</b>	<b>3</b>
2.1 Causes des vibrations . . . . .	3
2.2 Cas les moteurs . . . . .	3
2.3 Suspension élastique . . . . .	3
2.4 Importance des plots de suspension . . . . .	4
2.5 Types de suspension élastique . . . . .	4
2.5.1 Suspension directe . . . . .	4
2.5.2 Suspension indirecte . . . . .	4
2.6 Supports élastiques . . . . .	5
2.6.1 Définition . . . . .	5
2.6.2 Élasticité . . . . .	5
2.6.3 Amortissement . . . . .	5
2.7 Types de supports . . . . .	5
2.8 Charge des supports . . . . .	5
2.9 Nombre et emplacement des supports . . . . .	6
<b>3. DONNEES DE BASE . . . . .</b>	<b>8</b>
3.1 Présentation du moteur . . . . .	8
3.2 Caractéristiques du moteur . . . . .	8
3.2.1 Caractéristiques internes . . . . .	8
3.2.2 Caractéristiques externes . . . . .	8
3.3 Caractéristiques du système bielle manivelle piston	9
3.4. Caractéristiques des plots de suspension . . . . .	10

<b>4. ETUDE CINEMATIQUE DU SYSTEME</b>	
<b>PISTON-BIELLE-MANIVELLE . . . . .</b>	<b>12</b>
4.1 Mise en place des repères et définition des points . . . . .	12
4.2 Cinématique des différents points . . . . .	12
4.2.1 cinématique du point Gm. . . . .	14
4.2.2 Cinématique du point A. . . . .	14
4.2.3 Cinématique du point Gbl. . . . .	15
4.2.4 Détermination du centre instantané des vitesses . . . . .	17
de la première bielle . . . . .	
4.2.5. Vitesse angulaire de la première bielle. . . . .	18
4.2.6 Accélération angulaire de la première bielle. . . . .	19
4.2.7 Cinématique du point B1. . . . .	20
4.2.8 Cinématique du point Gb2. . . . .	21
4.2.9 Détermination du centre instantané des vitesses de la deuxième bielle. . . . .	21
4.2.10. Vitesse et accélération angulaires de la deuxième bielle. . . . .	23
4.2.11. Cinématique du Point B2. . . . .	23
4.3 Formules de passage entre repères. . . . .	24
4.4. Relations cinématiques des points Gm, Gbl B1, Gb2, B2 dans le repère $(O, x_0, y_0, z_0)$ . . . . .	24
<b>5. FORMULATION DES EQUATIONS</b>	
<b>DU MOUVEMENT. . . . .</b>	<b>27</b>
5.1 Géométrie du moteur et suspension. . . . .	27
5.2. Déplacement des points de fixation par rapport au châssis. . . . .	28
5.3 Énergie de dissipation. . . . .	30
5.4 Forces généralisées. . . . .	32
5.4.1 Force généralisée suivant (x). . . . .	32
5.4.2 Force généralisée suivant (y) . . . . .	32
5.4.3 Force généralisée suivant (z). . . . .	33
5.4.4. Force généralisée suivant ( $\theta_m$ ). . . . .	33

5.4.5 Force généralisée suivant (4). . . . .	34
5.4.6 Force généralisée suivant (4). . . . .	34
<b>5.5 Energie cinétique. . . . .</b>	<b>35</b>
5.5.1 Rappel. . . . .	35
5.5.2 Calcul des vitesses absolues. . . . .	37
5.5.3 Energie cinétique de la manivelle. . . . .	44
5.5.4 Energie cinétique de la première bielle. . . . .	45
5.5.5 Energie cinétique du premier piston. . . . .	46
5.5.6 Energie cinétique de la deuxième bielle. . . . .	47
5.5.7 Energie cinétique du deuxième piston. . . . .	48
5.5.8 Energie cinétique du bloc moteur. . . . .	48
5.5.9. Energie cinétique du volant. . . . .	49
5.5.10 Energie cinétique d'amortissement et de la poulie. . . . .	49
5.5.11 Energie cinétique totale. . . . .	50
<b>5.6 Système d'équations différentielles. . . . .</b>	<b>50</b>
<b>5.7. Fonction de non linéarité. . . . .</b>	<b>51</b>
 <b>6. RESOLUTION NUMERIQUE. . . . .</b>	<b>70</b>
6.1. Système d'équations différentielles. . . . .	70
6.2. Choix d'une méthode de résolution. . . . .	71
6.3. Méthode de Runge-Kutta d'ordre 4. . . . .	71
6.3.1. Position du problème. . . . .	71
6.3.2. Exposé de l'algorithme. . . . .	72
6.3.3. Transformation du système d'équations. . . . .	74
6.4. Programme. . . . .	75
6.4.1. Résultats recherchés. . . . .	75
6.4.2. Algorithme du calcul. . . . .	75
6.4.3. Organigramme. . . . .	76
 <b>7. RESOLUTION DANS UN CAS PARTICULIER. . . . .</b>	<b>80</b>
7.1. Équation différentielle. . . . .	80
7.2. Résultats. . . . .	81

7.3 Interprétation graphique des résultats . . . . .	81
8. CONCLUSION . . . . .	83
ANNEXE A . . . . .	84
ANNEXE B . . . . .	85
INDEX BIBLIOGRAPHIQUE . . . . .	87

## NOTATIONS UTILISEES

### - Indices

$m$  : manivelle

$b_1$ : la première bielle

$b_2$ : la deuxième bielle

$p_1$ : le premier piston

$p_2$ : le deuxième piston

$v$  : Valant

$bm$  : bloc moteur

$M$  : masse

$I$  : moment d'inertie

$\sigma$  : demi angle d'ouverture de  $v$

$\theta$  : angle de rotation du vilebrequin

$\dot{\theta}$  : vitesse de rotation du moteur

$x, y, z, \theta_m, \dot{\theta}_m, \ddot{\theta}_m$  : les coordonnées généralisées du bloc moteur

$\ddot{x}, \ddot{y}, \ddot{z}, \ddot{\theta}_m, \ddot{\dot{\theta}}_m, \ddot{\ddot{\theta}}_m, \ddot{x}, \ddot{y}, \ddot{z}, \ddot{\theta}_m, \ddot{\dot{\theta}}_m, \ddot{\ddot{\theta}}_m$ . ses dérivées premières et secondes.

$x_i^o, y_i^o, z_i^o \quad i=1, 4$  les déplacements des plots de soupension suivant les directions  $x, y$  et  $z$ .

$r$  : rayon de la manivelle

$L_1, L_2$ , entraxe de la bielle 1 et 2

$L_m$  : position de centre de gravité de la manivelle à partir du vilebrequin

$L_{b1}, L_{b2}$ , position de centre de gravité de bielle 1 et 2 à partir du point A

$(b, a, z_g)$  : les composantes de centre de gravité du moteur

$P_o$  : distance entre 2 pistons

$P_v$  : distance entre le valant et l'origine du repère lié au vilebrequin.

$K_1, K_2, K_3$ : rigidité verticale

$K_H, K_{H'}$  : rigidité horizontale.

$dr, dv$ :

$\vec{\omega}$  : vitesse de rotation angulaire

$\vec{\epsilon}$  : accélération angulaire

$\vec{v}$  : vitesse linéaire

$\vec{a}$  : accélération linéaire

$l_1, l_2, d_1, d_2, d_1', d_2', h, h'$ , les dimensions du moteur

$D$  : énergie de dissipation.

$T$ : énergie cinétique ou la force vive.

$Q$ : force généralisée

$t$  = le temps

## 1. INTRODUCTION

Dans toute machine alternative, les forces d'inertie sur le système "piston-bielles-manivelle" peuvent se manifester de manière différentes :

- sur le travail transmis,
- sur le couple transmis à chaque instant et sur sa régularité,
- sur les appuis du râblequin,
- sur les vibrations de torsion,
- sur le mouvement propre du centre de gravité du Carter socle.

En effet, le couple moteur et les forces et couples d'inertie se traduisent par des contraintes sur les fixations. Si celles-ci sont rigides, les sollicitations périodiques créées par le fonctionnement du moteur peuvent à certains régimes, exciter, au voisinage, des vibrations résonnantes, d'amplitude dangereuses pour les parties qui en sont l'objet (vitres de l'autocar, tôles de la carrosserie, etc...).

Si le moteur est monté sur des ressorts très flexibles (moteur "flottant"), les fondations et leurs abords ne sont soumis qu'à des effets faiblement ondulés, l'énergie fournie par les variations cycliques des couples et forces de nature à produire des effets extérieurs se traduisent par des déplacements périodiques de la masse du moteur.

Ces déplacements, de nature plus ou moins complexe, portent, suivant la composition des forces, des amplitudes plus ou moins importantes.

Les liaisons élastiques absorbent elles-mêmes une plus ou moins grande partie de l'énergie dégagée par

les sollicitations cycliques. Si le moteur équipe des ensembles susceptibles d'être excités en vibrations résonnantes il peut s'ensuivre des déplacements alternés intolérables pour l'occupant et dangereux pour les structures.

Le bloc moteur à suspension élastique exécute des mouvements de sens contraires à la résultante des parties internes du moteur qui se déplacent.

Il faut calculer les amplitudes des mouvements de l'ensemble suspendu élastiquement.

L'amplitude des mouvements ne doit pas dépasser, en égard aux liaisons existant avec l'extérieur et aux organes fixes sur le moteur, des limites bien déterminées si l'on veut : éviter tout bris, il ne faut pas que les déplacements de l'ensemble conduisent à des accélérations supérieures à la pesanteur.

En total, on ne peut pas accepter une suspension trop souple, non plus qu'une liaison trop rigide.

Dans cette présente étude, nous considérons le moteur comme un corps rigide, donc possédant six degrés de liberté et en commençant par l'analyse cinématique des éléments internes du moteur, nous formulons les équations différentielles donnant les déplacements des points de fixations du moteur dans le but de déterminer les caractéristiques des plots de suspensions convenable pour vibro-isolation du moteur.

## 2. GENERALITE

### 2.1. CAUSES DES VIBRATIONS

Les causes des vibrations trouvées dans les machines sont assez variées, depuis le processus technologique de fabrication ou le mode de fonctionnement de la machine jusqu'aux imprécisions d'exécution ou de montage, aux usines et aux défauts de fonctionnement ou d'autres facteurs extérieurs.

### 2.2. CAS DES MOTEURS

Une machine est soumise à une vibration lorsqu'elle subit des sollicitations périodiques alternées se traduisent lorsque la machine est suspendue élastiquement par oscillations plus ou moins importantes.

Et comme tout autre moteur, le moteur Diesel est le siège d'efforts à caractères cycliques alternés lors de son fonctionnement.

Ces efforts résultent des accélérations des organes constituant le moteur, car comme on le sait, les pistons bielles et manivelles sont animés de mouvements alternatifs, subissant donc des accélérations périodiques qui sont les sources de forces alternatives causant les vibrations. Les vibrations résultent donc de combinaisons d'efforts périodiques agissant sur les organes mobiles.

### 2.3 SUSPENSION ÉLASTIQUE

La suspension élastique d'une machine consiste

à intercaler entre elle-même et son assise (chassis, plancher, etc...) des supports élastiques, le type des supports, leur nombre, leur répartition, leur disposition et leurs caractéristiques individuelles seront fonction des caractéristiques d'ensemble à donner à la suspension pour obtenir les résultats recherchés.

## 2.4. IMPORTANCE DES PLOTS DE SUSPENSION

Les forces et les couples nés de la combustion et de l'inertie des pièces en mouvement provoquent au sein de la structure du moteur des contraintes élevées.

Par ailleurs, les irrégularités de la route et les charges supportées provoquent elles aussi au sein du chassis des contraintes importantes. Il va donc de soi que la fixation du moteur sur ses supports ne doit introduire des contraintes venant se superposer aux contraintes propres du chassis, on priviliera donc une suspension élastique et les points de fixation aussi peu nombreux que possible.

## 2.5. TYPES DE SUSPENSION ELASTIQUE

### 2.5.1. SUSPENSION DIRECTE

On appelle suspension directe une suspension ayant pour but d'empêcher une machine vibrante de transmettre ses vibrations à son environnement.

### 2.5.2. SUSPENSION INDIRECTE

On appelle ainsi une suspension destinée à protéger une machine non vibrante contre les

vibrations de l'environnement.

## 2.6. SUPPORTS ELASTIQUES

### 2.6.1 DEFINITION

Les supports élastiques sont des organes partant, à la fois et à des degrés divers, les propriétés d'élasticité et d'amortissement.

### 2.6.2 ELASTICITE

L'élasticité est la faculté pour le support de se déformer avec une amplitude sensiblement proportionnelle à la charge et de manière réversible, au moins dans certaines limites.

### 2.6.3 AMORTISSEMENT

L'amortissement est un effort de freinage du mouvement, dont le principal effet est la réduction des amplitudes.

### 2.7 TYPES DE SUPPORTS

De nombreux types sont proposés par les fabricants et pour chaque type de nombreux modèles dimensionnels, ce qui rend la chose très facile. (Voir fig. 2.1)

### 2.8 CHOIX DES SUPPORTS

Ce choix se fera :

- en fonction des possibilités et des facilités de

Montages : il existe des supports comportant des armatures métalliques d'acier, avec des perçages permettant une fixation facile par vis ou boulons.

- en fonction des charges appliquées à chaque supports. Les charges indiquées par les catalogues ne sont souvent que les charges statiques ; il faut tenir compte des surcharges dynamiques provenant de la vibration. Ces surcharges sont faibles en régime normal puisque c'est précisément le but de la suspension élastique, mais il y a presque toujours des régimes critiques à traverser.

- En fonction des caractéristiques élastiques à obtenir pour avoir une bonne isolation vibratoire.

## 2.9 NOMBRE ET EMPLACEMENT DES SUPPORTS

Le nombre et emplacement des supports sont souvent imposés par les pattes de fixation mises sur la machine, mais malheureusement souvent non prévues pour les suspensions élastiques ; il en résulte une répartition inégale des charges aux différentes points de fixation, ce qui empêche d'utiliser des supports tous identiques.

Si l'on a toute liberté, il y a intérêt à n'employer qu'un seul type de supports, et de les poser deux à deux symétriquement par rapport à la verticale du centre de gravité (ou tout au moins de manière que le centre élastique de la suspension soit sur cette verticale).

Il vaut toujours mieux utiliser un petit nombre de gros supports plutôt qu'un grand nombre de petits, mais on est limité dans cette voie par la rigidité des machines qui peuvent ne pas tolérer

des supports trop écartés et la capacité de charge  
des supports.

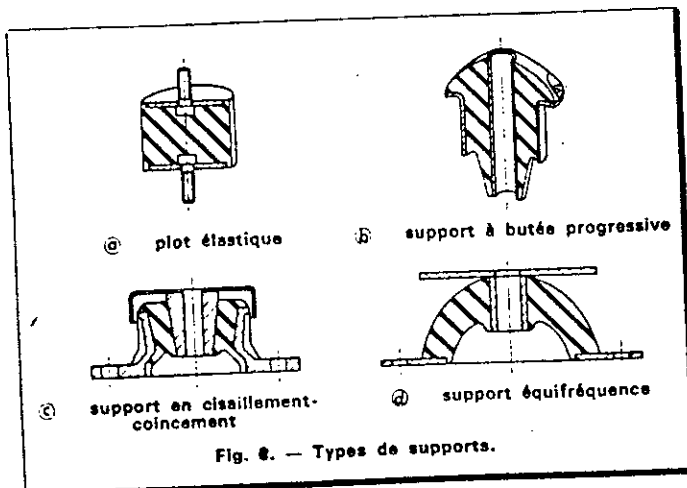


Fig. 2.1

### 3.DONNEES DE BASE

#### 31 PRESENTATION DU MOTEUR

Notre étude va porter sur le moteur Deutz F8L 413, placé sur le véhicule fabriqué en Algérie.

La boîte de vitesses est rigidement fixée au moteur, et c'est l'ensemble moteur plus boîte de vitesses ainsi constitué qui vibre sur les plots de suspension.

#### 32 CARACTERISTIQUES DU MOTEUR

##### 321 CARACTERISTIQUES INTERNES

C'est un moteur à quatre temps à injection directe et refroidissement à air

- Nombre de cylindre : 8
- Alésage : 125 mm
- Course : 130 mm
- Cylindrée : 1,595 l
- Cylindrée globale : 12,763 l
- Régime de fonctionnement : [600-2500] tr/mm
- Vitesse moyenne du piston : 10,8 m/s
- Puissance moyenne : 188 kW.
- couple maximal : 817 Nm à 1500 tr/mm

##### 322 CARACTERISTIQUES EXTERNES

Voir fig. 31

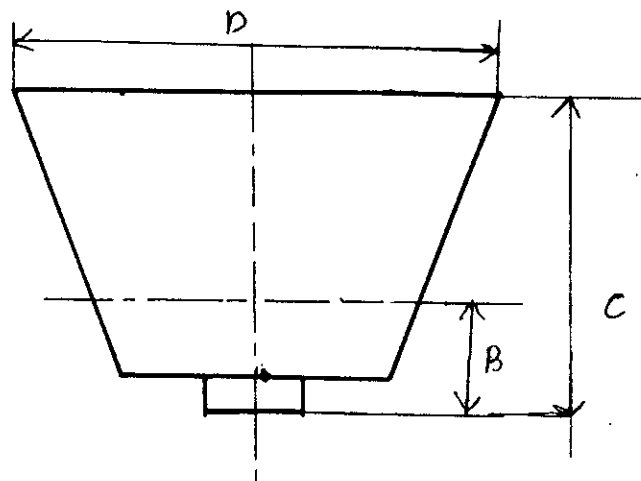
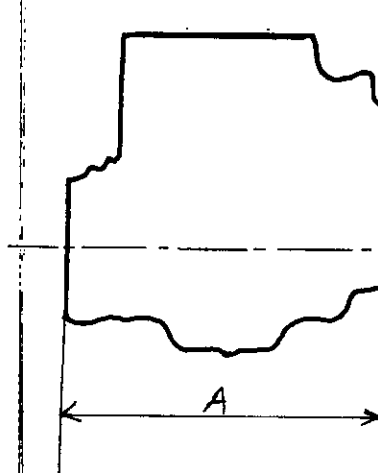


Fig. 3.1

$$\begin{array}{lll} A = 1080 \text{ mm} & D = 1038 \text{ mm} & B = 340 \text{ mm} \\ C = 860 \text{ mm} & M = 830 \text{ kg.} & \end{array}$$

### 33 CARACTERISTIQUES DU SYSTEME PISTON BIELLE MANIVELLE

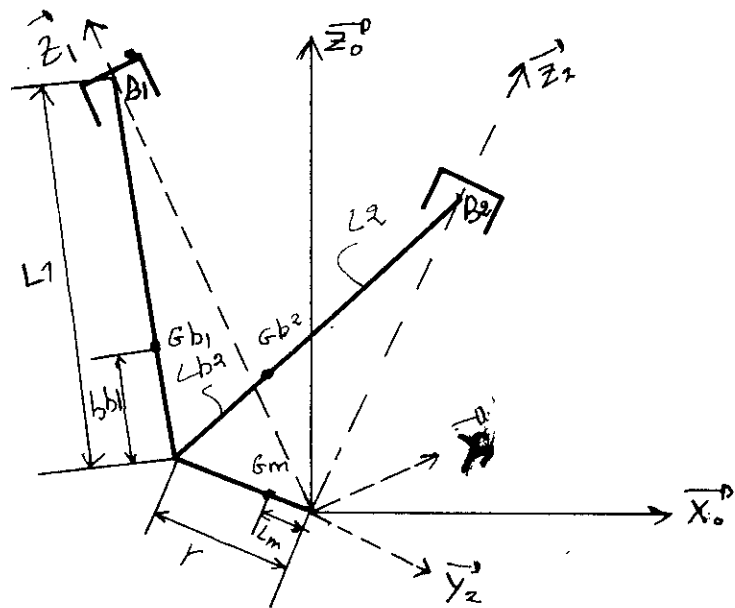


Fig. 3.2

$m_{p1} = m_{p2} = \text{masse du piston } 1 \text{ et } 2 : 3,720 \text{ kg.}$

$m_{b1} = m_{b2} = \text{masse de la bielle } 1 \text{ et } 2 : 3,000 \text{ kg}$

$m_v = \text{masse du volant} : 40,0 \text{ kg.}$

$m_m = \text{masse de la manivelle} : -$

$m_{cp} = \text{masse du centre point} : 5,650 \text{ kg.}$

$r$  = rayon de la manivelle : 65 mm

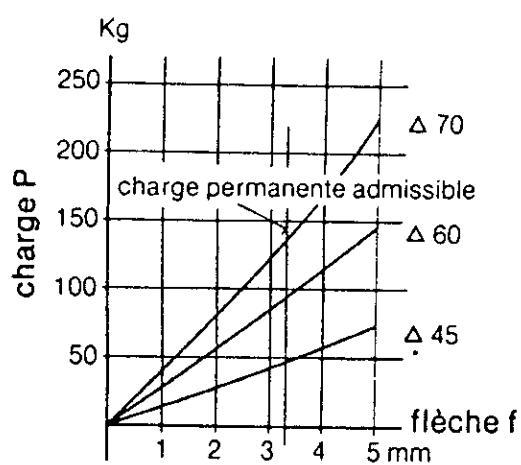
$L_1 = L_2$  : l'intervalle de bielle 1 et 2 : 237,5 mm

### 3.4 CARACTERISTIQUES DES PLOTS DE SUSPENSION

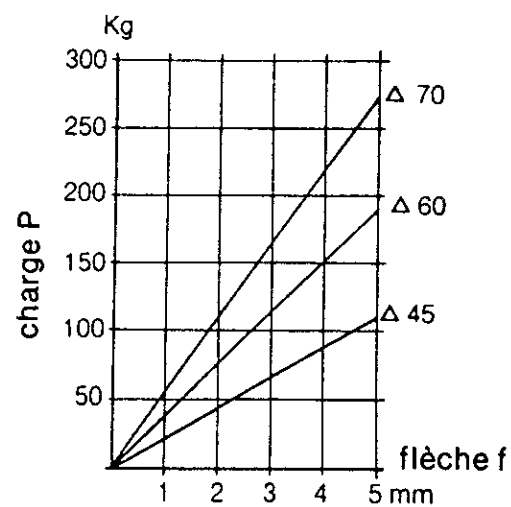
La fig. 3.3 présente les abaques d'élasticité du plot. Ces abaques nous permettent de calculer les rigidités verticales et horizontales des supports.

On remarque que la force de rappel vertical est non linéaire par contre la force de rappel horizontal est linéaire.

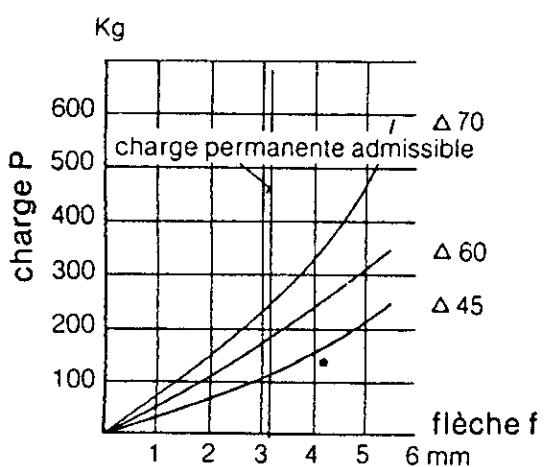
## COMPRESSION



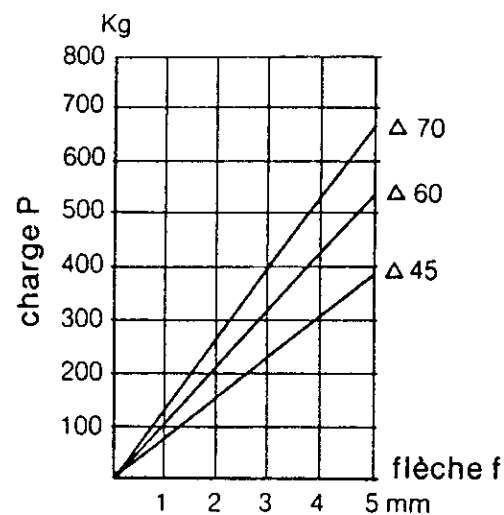
## CISAILLEMENT



## COMPRESSION



## CISAILLEMENT



## COMPRESSION

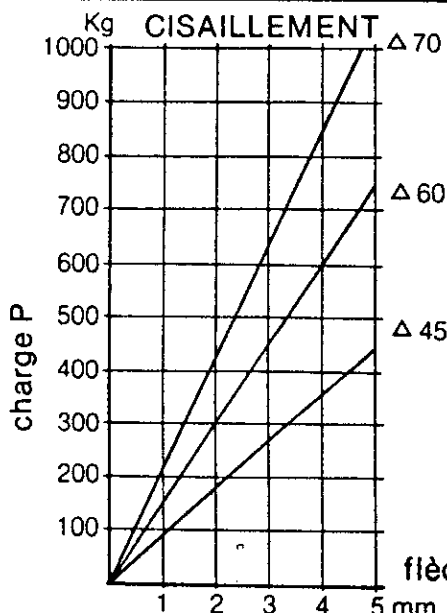
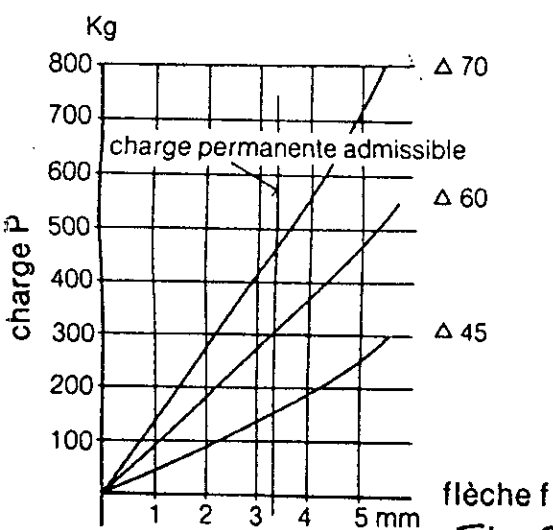


Fig. 23

## 4. ETUDE CINÉMATIQUE DU SYSTÈME PISTON-BIELLE-MANIVELLE

### 4.1. MISE EN PLACE DES REPÈRES ET DEFINITION DES POINTS

L'étude cinématique du système piston-bielles manivelle nécessite la mise en place de trois repères (Fig. 4.1) :

- Repère fixe :  $(O, \vec{x}_0, \vec{y}_0, \vec{z}_0)$   
 $O$  est le centre du vilebrequin  
 $\vec{x}_0$  est l'axe du vilebrequin, le valant est placé sur  $\vec{x}_0$  positifs
- Repères mobiles liés au vilebrequin :
  - Il y a deux :
  - Le premier :  $(O, \vec{x}_1, \vec{y}_1, \vec{z}_1)$   
 $\vec{z}_1$  est l'axe du cylindre 1  
 $\vec{x}_1$  coïncide avec  $\vec{x}_0$
  - Le deuxième :  $(O, \vec{x}_2, \vec{y}_2, \vec{z}_2)$   
 $\vec{z}_2$  est l'axe du cylindre 2.  
 $\vec{x}_2$  coïncide avec  $\vec{x}_0$

Definition des points :

- $G_m$  centre de gravité de la manivelle.
- $A$  la tête des deux bielles
- $G_{b1}, G_{b2}$  : centres de gravité des deux bielles
- $B_1, B_2$  : pieds des bielles sur les axes  $\vec{x}_1$  et  $\vec{x}_2$  en liaison les pistons 1 et 2.

### 4.2. CINÉMATIQUE DES DIFFERENTS POINTS

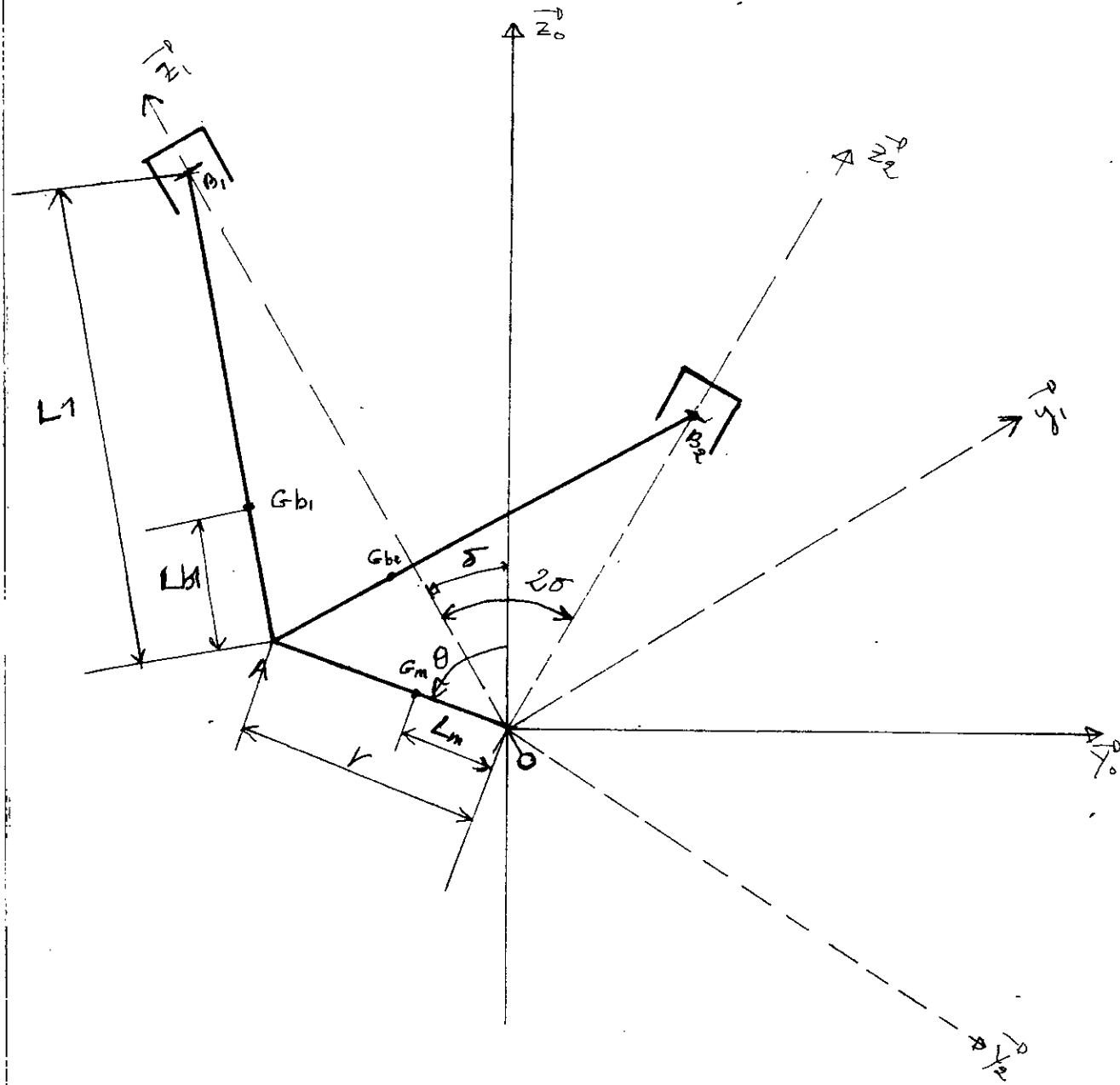


Fig. 4.1 Définition des repères d'un robot en V

## 421 CINÉMATIQUE DU POINT G<sub>m</sub>

### 42.1.1 Position du point G<sub>m</sub>

On a:

$$\vec{OG_m} = L_m \cos(\theta - \sigma) \vec{i}_1 - L_m \sin(\theta - \sigma) \vec{j}_1 \quad (4.1)$$

Le point G<sub>m</sub> se déplace sur un cercle de centre O, de rayon  $L_m$

### 4.2.1.2 Vitesse du point G<sub>m</sub>

on utilise la définition de la vitesse:

$$\vec{V}_{Gm} = \frac{d \vec{OG_m}}{dt} = -L_m \dot{\theta} \sin(\theta - \sigma) \vec{i}_1 - L_m \dot{\theta} \cos(\theta - \sigma) \vec{j}_1$$

$$\text{on trouve } \vec{V}_{Gm} = -L_m \dot{\theta} (\sin(\theta - \sigma) \vec{i}_1 + \cos(\theta - \sigma) \vec{j}_1) \quad (4.2)$$

### 4.2.1.3 Accélération du point G<sub>m</sub>

On a:

$$\vec{a}_{Gm} = \frac{d \vec{V}_{Gm}}{dt} = \frac{d^2 \vec{OG_m}}{dt^2}$$

$$\text{d'où } \vec{a}_{Gm} = -L_m [\ddot{\theta} \sin(\theta - \sigma) + \dot{\theta}^2 \cos(\theta - \sigma)] \vec{i}_1 - L_m [\ddot{\theta} \cos(\theta - \sigma) - \dot{\theta}^2 \sin(\theta - \sigma)] \vec{j}_1 \quad (4.3)$$

Si  $\dot{\theta} = \text{constante}$ , alors l'équation (4.3) s'écrit :

$$\vec{a}_{Gm} = -L_m \dot{\theta}^2 [\cos(\theta - \sigma) \vec{i}_1 - \sin(\theta - \sigma) \vec{j}_1] \quad (4.4)$$

On remarque que, si  $\dot{\theta} = \text{constante}$ , le module de la vitesse et de l'accélération sont constants ( $V_{Gm} = L_m \dot{\theta}$ ,  $a_{Gm} = L_m \dot{\theta}^2$ )

## 422 CINÉMATIQUE DU POINT A

### 4.2.2.1 Position du point A

On a:

$$\overrightarrow{OA} = r(\cos(\theta-\sigma) \vec{i}_1 - \sin(\theta-\sigma) \vec{j}_1) \quad (4.5)$$

Le point A se déplace sur un cercle de centre O, de rayon r

#### 4.2.2.2 Vitesse du point A.

On utilise la définition de la vitesse

$$\overrightarrow{V_A} = \frac{d\overrightarrow{OA}}{dt} = -r\dot{\sigma}(\sin(\theta-\sigma) \vec{i}_1 + \cos(\theta-\sigma) \vec{j}_1) \quad (4.6)$$

#### 4.2.2.3 Accélération du point A

Par définition, on a :

$$\overrightarrow{a_A} = \frac{d\overrightarrow{V_A}}{dt} = \frac{d^2\overrightarrow{OA}}{dt^2}$$

$$\overrightarrow{a_A} = -r[\ddot{\sigma}\sin(\theta-\sigma) + \dot{\sigma}^2\cos(\theta-\sigma)]\vec{i}_1 - r[\ddot{\sigma}\cos(\theta-\sigma) - \dot{\sigma}^2\sin(\theta-\sigma)]\vec{j}_1$$

Si  $\dot{\sigma}$  = constante, alors on a :<sup>(4.7)</sup>

$$\overrightarrow{a_A} = -r\dot{\sigma}^2(\cos(\theta-\sigma) \vec{i}_1 - \sin(\theta-\sigma) \vec{j}_1) \quad (4.8)$$

### 4.2.3 CINÉMATIQUE DU POINT Gb1

#### 4.2.3.1 Position du point Gb1.

On a :

$$\overrightarrow{OGb_1} = \overrightarrow{OA} + \overrightarrow{Ab_1} \quad (4.9)$$

$$\text{avec } \overrightarrow{OA} = r(\cos(\theta-\sigma) \vec{i}_1 - \sin(\theta-\sigma) \vec{j}_1) \quad (4.10)$$

$$\overrightarrow{Ab_1} = Lb_1 \cos \varphi \vec{i}_1 + Lb_1 \sin \varphi \vec{j}_1 \quad (4.10')$$

d'après la loi des sinus appliquée au triangle OAB<sub>1</sub> (voir fig. 4.2), on a.

$$\frac{\sin \varphi}{r} = \frac{\sin(\theta-\sigma)}{L_1}$$

$$\text{d'où } \sin \varphi = \frac{r}{L_1} \sin(\theta-\sigma)$$

$$\text{Possons } k = \frac{r}{L_1}, \text{ alors } \sin \varphi = k \sin(\theta-\sigma) \quad (4.11)$$

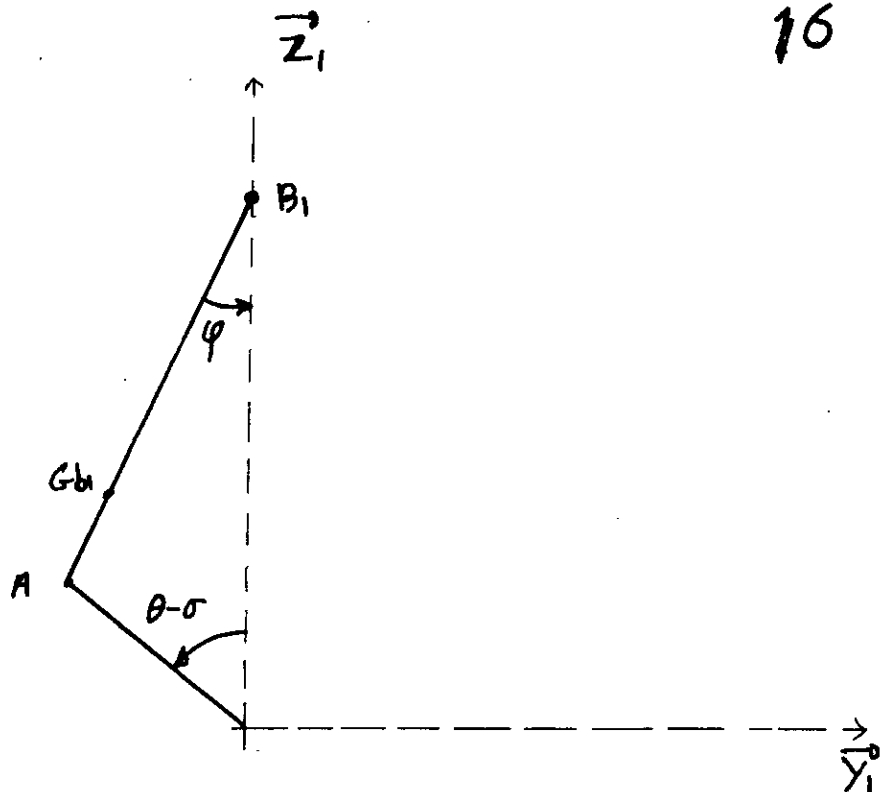


Fig. 4.2.

D'après la loi de cosinus, on a :

$$\cos^2 \varphi + \sin^2 \varphi = 1 \\ \text{d'où} \quad \cos \varphi = \sqrt{1 - \sin^2 \varphi}$$

en tenant compte de (4. 71), on a :

$$\cos \varphi = \sqrt{1 - k^2 \sin^2(\theta - \sigma)} \quad (4.12)$$

Finalement, on trouve, en tenant compte des relations (4. 10), (4. 10)', et (4. 12) :

$$\overrightarrow{OG_{b_1}} = \left( r \cos(\theta - \sigma) + L_{b_1} \sqrt{1 - k^2 \sin^2(\theta - \sigma)} \right) \vec{k}_1 + \\ (-r \sin(\theta - \sigma) + L_{b_1} k \sin(\theta - \sigma)) \vec{j}_1 \quad (4.13)$$

#### 4.2.3.2 Vitesse du point G<sub>b<sub>1</sub></sub>

On utilise la définition, on trouve

$$\overrightarrow{V_{G_{b_1}}} = \frac{d \overrightarrow{OG_{b_1}}}{dt} = \left( -r \dot{\theta} \sin(\theta - \sigma) - \frac{L_{b_1} k^2 \sin(\theta - \sigma) \cos(\theta - \sigma)}{\sqrt{1 - k^2 \sin^2(\theta - \sigma)}} \right) \vec{k}_1 +$$

$$(-r\ddot{\theta}\cos(\theta-\sigma) + Lb_1k\dot{\theta}\cos(\theta-\sigma)) \vec{j}_1 \quad (4.14)$$

#### 4.2.3.3 Accélération du point G-b1.

Par définition, on a:

$$\begin{aligned} \vec{a}_{G-b1} &= \frac{d\vec{v}_{G-b1}}{dt} = \frac{d^2 \vec{r}_{G-b1}}{dt^2} = (r - Lb_1k)(\dot{\theta}^2 \sin(\theta-\sigma) - \ddot{\theta} \cos(\theta-\sigma)) \vec{j}_1 + \\ &\left( -r\ddot{\theta} \sin(\theta-\sigma) - r\dot{\theta}^2 \cos(\theta-\sigma) - \frac{Lb_1k^2 \dot{\theta} \sin(\theta-\sigma) \cos(\theta-\sigma)}{\sqrt{1 - k^2 \sin^2(\theta-\sigma)}} - \right. \\ &\left. \frac{Lb_1k^2 \dot{\theta}^2 \cos^2(\theta-\sigma)}{\sqrt{1 - k^2 \sin^2(\theta-\sigma)}} + \frac{Lb_1k^2(1-k^2)\dot{\theta}^2 \sin^2(\theta-\sigma)}{(1 - k^2 \sin^2(\theta-\sigma))^{3/2}} \right) \vec{k}_1 \quad (4.15) \end{aligned}$$

Si  $\dot{\theta}$  = constante, alors l'équation (4.15) devient:

$$\begin{aligned} \vec{a}_{G-b1} &= (r - Lb_1k) \dot{\theta}^2 \sin(\theta-\sigma) \vec{j}_1 + \left( -r\dot{\theta}^2 \cos(\theta-\sigma) - \frac{Lb_1k^2 \dot{\theta}^2 \cos^2(\theta-\sigma)}{\sqrt{1 - k^2 \sin^2(\theta-\sigma)}} \right. \\ &+ \left. \frac{Lb_1k^2(1-k^2)\dot{\theta}^2 \sin^2(\theta-\sigma)}{(1 - k^2 \sin^2(\theta-\sigma))^{3/2}} \right) \vec{k}_1 \quad (4.16) \end{aligned}$$

#### 4.2.4 DETERMINATION DU CENTRE INSTANTANÉ DES VITESSES

Les triangles  $OB_1P$  et  $ACP$  sont semblables, on a donc (voir fig. 4.3):

$$\frac{L_1 \cos \varphi}{L_1 \cos \varphi + r \cos(\theta-\sigma)} = \frac{PC}{PB_1} = \frac{PA}{PA+r}$$

donc

$$\frac{PA+r}{PA} = \frac{L_1 \cos \varphi + r \cos(\theta-\sigma)}{L_1 \cos \varphi} = 1 + \frac{r}{L_1} \frac{\cos(\theta-\sigma)}{\cos \varphi}$$

on tient

$$1 + \frac{r}{PA} = 1 + k \frac{\cos(\theta-\sigma)}{\cos \varphi}$$

$$\text{d'où finalement: } PA = \frac{r}{k} \frac{\cos \varphi}{\cos(\theta-\sigma)} \quad (4.17)$$

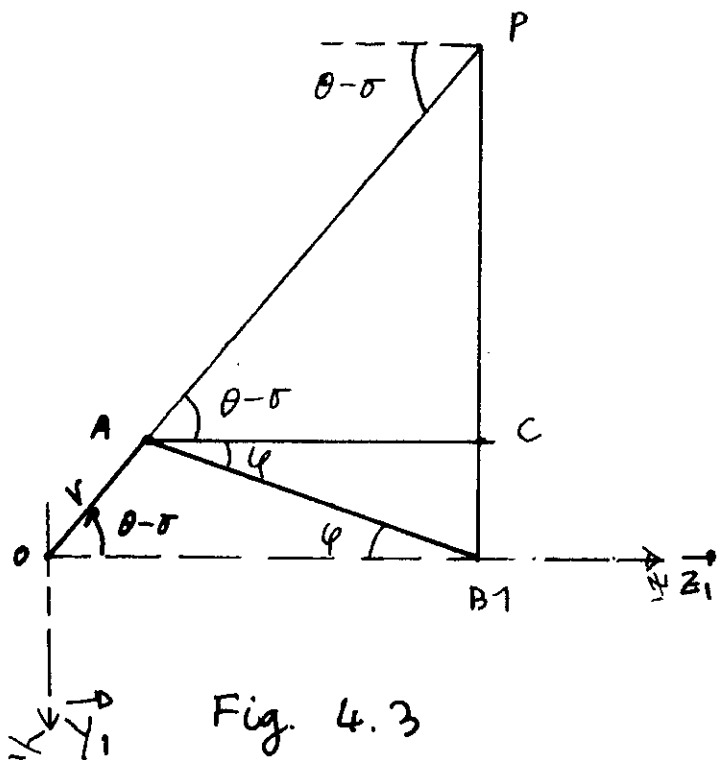


Fig. 4.3

En tenant compte des relations (4.11), (4.12), l'équation (4.77) s'écrit:

$$PA = \frac{r \sqrt{1 - k^2 \sin^2(\theta - \alpha)}}{k \cos(\theta - \alpha)} \quad (4.18)$$

De même, comme  $PC = PA \sin(\theta - \alpha)$ , on a:

$$PC = L_1 \sqrt{1 - k^2 \sin^2(\theta - \alpha)} \cdot \operatorname{tg}(\theta - \alpha) \quad (4.19)$$

et  $PB_1 = PC + L_1 \sin \varphi = PC + r \sin(\theta - \alpha)$  donc

$$PB_1 = L_1 \sqrt{1 - k^2 \sin^2(\theta - \alpha)} \operatorname{tg}(\theta - \alpha) + r \sin(\theta - \alpha) \quad (4.20)$$

## 425 VITESSE ANGULAIRE DE LA PREMIÈRE BIELLE

Comme la bielle a un mouvement plan (dans le plan  $OYZ$ ), alors sa vitesse angulaire est:

$$\dot{\omega}_{AB_1} = \dot{\omega}_{B_1A} \frac{1}{L_1}$$

et comme  $P$  est le centre instantané des vitesses, on a

$$\vec{v}_n = \dot{\omega}_{B_1A} \frac{1}{L_1} \vec{PA} \quad (4.21)$$

avec  $\vec{PA} = (-\cos(\theta-\alpha)\vec{k}_1 + \sin(\theta-\alpha)\vec{j}_1) \frac{r\sqrt{1-k^2\sin^2(\theta-\alpha)}}{\sin(\theta-\alpha)}$   
d'où le produit vectoriel.

$$\vec{w}_{AB1} \wedge \vec{PA} = \begin{vmatrix} \vec{i}_1 & \vec{j}_1 & \vec{k}_1 \\ w_{AB1} & 0 & 0 \\ 0 & \sin(\theta-\alpha) \cdot PA & -\cos(\theta-\alpha) \cdot PA \end{vmatrix}$$

$$\vec{w}_{AB1} \wedge \vec{PA} = w_{AB1} PA \cos(\theta-\alpha) \vec{j}_1 + w_{AB1} PA \sin(\theta-\alpha) \vec{k}_1, \quad (4.22)$$

En tenant compte de (4.6), (4.21) et (4.22), on a.

$$-r\dot{\theta}(\sin(\theta-\alpha)\vec{k}_1 + \cos(\theta-\alpha)\vec{j}_1) = w_{AB1} PA (\cos(\theta-\alpha)\vec{j}_1 + \sin(\theta-\alpha)\vec{k}_1)$$

d'où  $w_{AB1} PA = -r\dot{\theta}$

finallement :  $w_{AB1} = \frac{-r\dot{\theta} k \cos(\theta-\alpha)}{r\sqrt{1-k^2\sin^2(\theta-\alpha)}} \quad (4.23)$

## 4.2.6 ACCELERATION ANGULAIRE DE LA PREMIERE BIELLE

Par définition, on a :

$$\vec{E}_{B1} = \frac{d\vec{w}_{AB1}}{dt} = \frac{d}{dt} \left[ \frac{-\partial k \cos(\theta-\alpha)}{\sqrt{1-k^2\sin^2(\theta-\alpha)}} \right] \vec{i}_1$$

d'où  $\vec{E}_{B1} = \left( \frac{k(1-k^2)\dot{\theta}^2 \sin(\theta-\alpha)}{(1-k^2\sin^2(\theta-\alpha))^{3/2}} - \frac{k\ddot{\theta} \cos(\theta-\alpha)}{\sqrt{1-k^2\sin^2(\theta-\alpha)}} \right) \vec{i}_1 \quad (4.24)$

Si  $\dot{\theta}$  = constante, on a.

$$\vec{E}_{B1} = \frac{k(1-k^2)\dot{\theta}^2 \sin(\theta-\alpha)}{(1-k^2\sin^2(\theta-\alpha))^{3/2}} \vec{i}_1 \quad (4.25)$$

## 4.2.7 CINÉMATIQUE DU POINT B1

### 4.2.7.1. Position du point B1

On a:

$$\overrightarrow{OB1} = \overrightarrow{OA} + \overrightarrow{AB1} = r \cos(\theta - \alpha) \vec{k}_1 - r \sin(\theta - \alpha) \vec{j}_1 + L_1 \cos \varphi \vec{k}_1 + L_1 \sin \varphi \vec{j}_1$$

En tenant compte des relations (4.11) et (4.12), on obtient :

$$\overrightarrow{OB1} = (r \cos(\theta - \alpha) + L_1 \sqrt{1 - k^2 \sin^2(\theta - \alpha)}) \vec{k}_1 \quad (4.26)$$

### 4.2.7.2 Vitesse du point B1

Par définition, on a:

$$\overrightarrow{V_{B1}} = \frac{d \overrightarrow{OB1}}{dt} = -\dot{\theta} \sin(\theta - \alpha) \left( r + \frac{L_1 k^2 \cos(\theta - \alpha)}{\sqrt{1 - k^2 \sin^2(\theta - \alpha)}} \right) \vec{k}_1$$

ou bien

$$\overrightarrow{V_{B1}} = -\dot{\theta} r \sin(\theta - \alpha) \left( 1 + \frac{k \cos(\theta - \alpha)}{\sqrt{1 - k^2 \sin^2(\theta - \alpha)}} \right) \vec{k}_1 \quad (4.27)$$

en remplaçant  $k$  par  $\frac{r}{L_1}$

### 4.2.7.3 Accélération du point B1

Par définition, on a:

$$\begin{aligned} \overrightarrow{a_{B1}} &= \frac{d \overrightarrow{V_{B1}}}{dt} = \frac{d^2 \overrightarrow{OB1}}{dt^2} = \left[ \frac{L_1 k^2 (1 - k^2) \ddot{\theta}^2 \sin^2(\theta - \alpha)}{(1 - k^2 \sin^2(\theta - \alpha))^{3/2}} - \left( r + \right. \right. \\ &\quad \left. \left. \frac{L_1 k^2 \cos(\theta - \alpha)}{\sqrt{1 - k^2 \sin^2(\theta - \alpha)}} \right) \left( \ddot{\theta}^2 \cos(\theta - \alpha) + \dot{\theta}^2 \sin(\theta - \alpha) \right) \right] \vec{k}_1 \quad (4.28) \end{aligned}$$

Si, de plus,  $\dot{\theta} = \text{constante}$ , on a:

$$\vec{a}_{G_1} = \left[ \frac{4k^2(1-k^2)\dot{\theta}^2 \sin^2(\theta-\sigma)}{(1-k^2 \sin^2(\theta-\sigma))^2} - \left( r + \frac{Lk^2 \cos(\theta-\sigma)}{\sqrt{1-k^2 \sin^2(\theta-\sigma)}} \right) \dot{\theta}^2 \cos(\theta-\sigma) \right] \vec{k}_1 \\ (4.29)$$

## 4.2.8 CINEMATIQUE DU POINT G<sub>b2</sub>\*

### 4.2.8.1 Position du point G<sub>b2</sub>

on a :

$$\vec{OG}_{b2} = (r \cos(\theta+\sigma) + L b_2 \sqrt{1-\lambda^2 \sin^2(\theta+\sigma)}) \vec{k}_2 + \\ (-r \sin(\theta+\sigma) + L b_2 \lambda \sin(\theta+\sigma)) \vec{j}_2 \quad (4.30)$$

### 4.2.8.2 Vitesse du point G<sub>b2</sub>

on a :

$$\vec{V}_{G_{b2}} = (-r \dot{\theta} \sin(\theta+\sigma) - L b_2 \lambda^2 \frac{\dot{\theta} \sin(\theta+\sigma) \cos(\theta+\sigma)}{\sqrt{1-\lambda^2 \sin^2(\theta+\sigma)}}) \vec{k}_2 \\ + (-r \dot{\theta} \cos(\theta+\sigma) + L b_2 \lambda \dot{\theta} \cos(\theta+\sigma)) \vec{j}_2 \quad (4.31)$$

### 4.2.8.3 Accélération du point G<sub>b2</sub>

on a :

$$\vec{a}_{G_{b2}} = (r - L b_2 \lambda) \dot{\theta}^2 \sin(\theta+\sigma) \vec{j}_2 + (-r \dot{\theta}^2 \cos(\theta+\sigma) - \\ \frac{L b_2 \lambda^2 \dot{\theta}^2 \cos(\theta+\sigma)}{\sqrt{1-\lambda^2 \sin^2(\theta+\sigma)}} + \frac{L b_2 \lambda^2 (1-\lambda^2) \dot{\theta}^2 \sin^2(\theta+\sigma)}{(1-\lambda^2 \sin^2(\theta+\sigma))^{3/2}}) \vec{k}_2 \quad (4.32)$$

avec  $\dot{\theta}$  = constante. (voir fig. 4.4)

## 4.2.9 DETERMINATION DU CENTRE INSTANTANÉ DES VITESSES\*

Voir fig. (4.5)

$$SA = \frac{r \sqrt{1-\lambda^2 \sin^2(\theta+\sigma)}}{\lambda \cos(\theta+\sigma)} \quad (4.33)$$

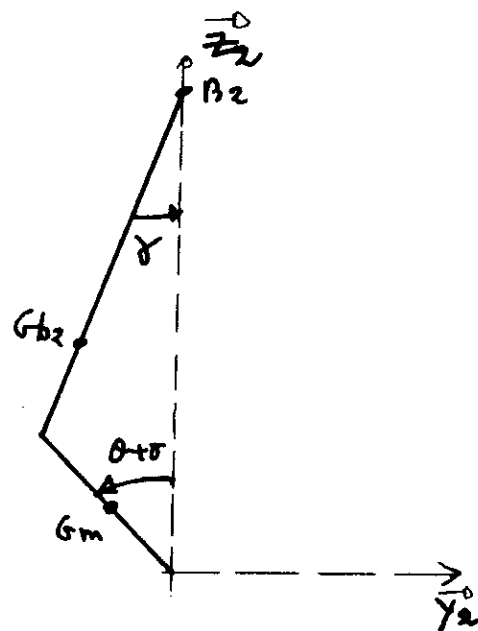


Fig. 4.4.

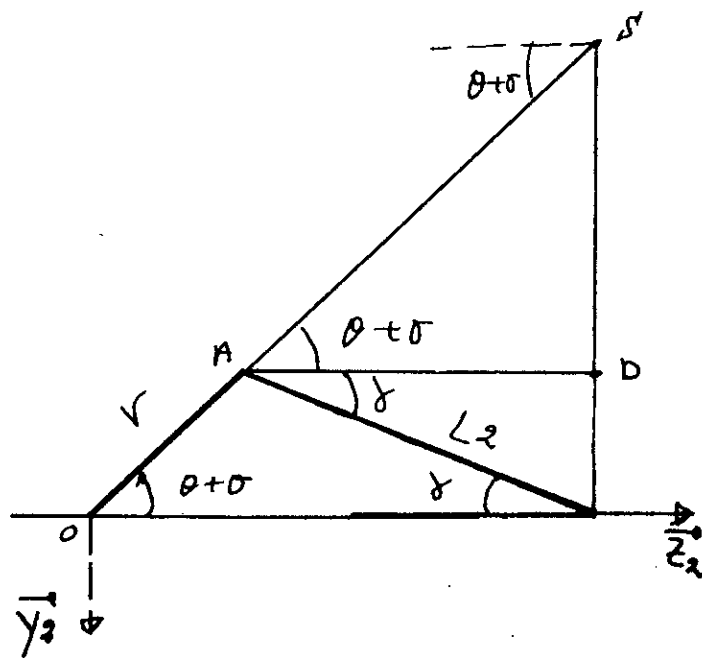


Fig. 4.5.

$$\cos(\theta + \varphi) \quad (4.40)$$

$$\alpha_{B2} = \frac{(1 - \lambda^2 \sin^2(\theta + \varphi))^{3/2}}{L \lambda^2 (1 - \lambda^2 \sin^2(\theta + \varphi))} - \left( r + \frac{\sqrt{1 - \lambda^2 \sin^2(\theta + \varphi)}}{L \lambda^2 \cos(\theta + \varphi)} \right) \cdot \dot{\theta}^2$$

en  $\alpha$ :

$$4.2.11.3 \text{ Acceleration du point B2} \quad (4.39)$$

$$\frac{v_{B2}}{a} = -\partial r \sin(\theta + \varphi) \left( 1 + \frac{\sqrt{1 - \lambda^2 \sin^2(\theta + \varphi)}}{\lambda \cos(\theta + \varphi)} \right) \dot{\theta}^2$$

$$4.2.11.2 \text{ Vitesse du point B2}$$

$$\frac{OB_2}{a} = (r \cos(\theta + \varphi) + L \sqrt{1 - \lambda^2 \sin^2(\theta + \varphi)}) \dot{\theta}^2 \quad (4.38)$$

$$4.2.11.1 \text{ Position du point B2}$$

## 4.2.11 CINÉMATIQUE DU POINT B2 \*

$$\frac{cm_{B2}}{a} = \frac{(1 - \lambda^2 \sin^2(\theta + \varphi))^{3/2}}{\lambda (1 - \lambda^2 \sin^2(\theta + \varphi))} \quad (4.37)$$

$$\text{en } \alpha: \frac{u_{B2}}{a} = \frac{\sqrt{1 - \lambda^2 \sin^2(\theta + \varphi)}}{\lambda \cos(\theta + \varphi)} \dot{\theta} \quad (4.36)$$

## 4.2.10 VITESSE ET ACCÉLÉRATION ANGULAIRES DE LA DEUXIÈME BIELLE \*

$$PB_2 = L \dot{r} \sqrt{1 - \lambda^2 \sin^2(\theta + \varphi)} \dot{\theta} (\theta + \varphi) + r \sin(\theta + \varphi) \quad (4.35)$$

$$PD = L \dot{r} \sqrt{1 - \lambda^2 \sin^2(\theta + \varphi)} \quad (4.34)$$

et la vitesse angulaire de rotation

## 4.3 FORMULES DE PASSAGE ENTRE REPERES

Le passage du repère  $(0, \vec{x}_0, \vec{y}_0, \vec{z}_0)$  au repère  $(0, \vec{x}_1, \vec{y}_1, \vec{z}_1)$  se fait par la projection des axes  $\vec{x}_1, \vec{y}_1$  sur  $\vec{z}_0, \vec{y}_0$  donc on a:

$$\begin{cases} \vec{i}_1 = \vec{i}_0 \\ \vec{j}_1 = \cos\sigma \vec{j}_0 + \sin\sigma \vec{k}_0 \\ \vec{k}_1 = -\sin\sigma \vec{j}_0 + \cos\sigma \vec{k}_0 \end{cases} \quad (4.41)$$

de même, pour le passage du repère  $(0, \vec{x}_0, \vec{y}_0, \vec{z}_0)$  au repère  $(0, \vec{x}_2, \vec{y}_2, \vec{z}_2)$  se fait par la projection des axes  $\vec{x}_2, \vec{y}_2$  sur  $\vec{x}_0, \vec{y}_0, \vec{z}_0$  d'où on a:

$$\begin{cases} \vec{i}_2 = \vec{i}_0 \\ \vec{j}_2 = \cos\sigma \vec{j}_0 - \sin\sigma \vec{k}_0 \\ \vec{k}_2 = \sin\sigma \vec{j}_0 + \cos\sigma \vec{k}_0 \end{cases} \quad (4.42)$$

## 4.4 RELATIONS CINEMATIQUES DES Gm A, Gb1, B1Gb2 ET B2 DANS LE REPERE $(0, X_0, Y_0, Z_0)$ .

- Position du Gm:

$$\vec{r}_{Gm} = L_m (\cos\theta \vec{k}_0 - \sin\theta \vec{j}_0) \quad (4.43)$$

- Vitesse du Gm

$$\vec{V}_{Gm} = -L_m \dot{\theta} (\cos\theta \vec{k}_0 + \sin\theta \vec{j}_0) \quad (4.44)$$

avec  $\dot{\theta}$ =constante.

- Accélération du Gm:

$$\vec{a}_{Gm} = -L_m \dot{\theta}^2 (\cos\theta \vec{k}_0 - \sin\theta \vec{j}_0) \quad (4.45)$$

avec  $\dot{\theta}$ =constante.

- Position du point A:
  $\vec{OA} = r(\cos \theta \vec{k}_0 - r \sin \theta \vec{j}_0) \quad (4.46)$
- Vitesse du point A:
  $\vec{V_A} = -r\dot{\theta}(\sin \theta \vec{k}_0 + \cos \theta \vec{j}_0) \quad (4.47)$
- Accélération du point A:
  $\vec{a}_A = -r\dot{\theta}^2(\cos \theta \vec{k}_0 - \sin \theta \vec{j}_0) \quad (4.48)$
- Position du point Gb1:
  $\vec{OG}_{b1} = (z_{b1} \cos \sigma + y_{b1} \sin \sigma) \vec{k}_0 + (y_{b1} \cos \sigma - z_{b1} \sin \sigma) \vec{j}_0 \quad (4.49)$
- Vitesse du point Gb1:
  $\vec{V}_{Gb1} = (\dot{z}_{b1} \cos \sigma + \dot{y}_{b1} \sin \sigma) \vec{k}_0 + (\dot{y}_{b1} \cos \sigma - \dot{z}_{b1} \sin \sigma) \vec{j}_0 \quad (4.50)$
- Accélération du point Gb1:
  $\vec{a}_{Gb1} = (\ddot{z}_{b1} \cos \sigma + \ddot{y}_{b1} \sin \sigma) \vec{k}_0 + (\ddot{y}_{b1} \cos \sigma - \ddot{z}_{b1} \sin \sigma) \vec{j}_0 \quad (4.51)$
- Position du point B1:
  $\vec{OB}_1 = z_{B1}(\cos \sigma \vec{k}_0 - \sin \sigma \vec{j}_0) \quad (4.52)$
- Vitesse du point B1:
  $\vec{V}_{B1} = \dot{z}_{B1}(\cos \sigma \vec{k}_0 - \sin \sigma \vec{j}_0) \quad (4.53)$
- Accélération du point B1:
  $\vec{a}_{B1} = \ddot{z}_{B1}(\cos \sigma \vec{k}_0 - \sin \sigma \vec{j}_0) \quad (4.54)$
- Position du point Gb2:
  $\vec{OG}_{b2} = \dots$

$$\overrightarrow{OG_{B2}} = (\dot{z}_{B2} \cos \sigma - \dot{y}_{B2} \sin \sigma) \vec{k}_0 + (\dot{z}_{B2} \sin \sigma + \dot{y}_{B2} \cos \sigma) \vec{j}_0 \quad (4.55)$$

• Vitesse du point G<sub>B2</sub>:

$$\overrightarrow{V_{G_{B2}}} = (\dot{z}_{B2} \cos \sigma - \dot{y}_{B2} \sin \sigma) \vec{k}_0 + (\dot{z}_{B2} \sin \sigma + \dot{y}_{B2} \cos \sigma) \vec{j}_0 \quad (4.56)$$

• Accélération du point G<sub>B2</sub>:

$$\overrightarrow{a_{G_{B2}}} = (\ddot{z}_{B2} \cos \sigma - \ddot{y}_{B2} \sin \sigma) \vec{k}_0 + (\ddot{z}_{B2} \sin \sigma + \ddot{y}_{B2} \cos \sigma) \vec{j}_0 \quad (4.57)$$

• Position du point B<sub>2</sub>:

$$\overrightarrow{OB_2} = z_{B2} (\cos \sigma \vec{k}_0 + \sin \sigma \vec{j}_0) \quad (4.58)$$

• Vitesse du point B<sub>2</sub>:

$$\overrightarrow{V_{B_2}} = \dot{z}_{B2} (\cos \sigma \vec{k}_0 + \sin \sigma \vec{j}_0) \quad (4.59)$$

• Accélération du point B<sub>2</sub>:

$$\overrightarrow{a_{B_2}} = \ddot{z}_{B2} (\cos \sigma \vec{k}_0 + \sin \sigma \vec{j}_0) \quad (4.60)$$

## 5. FORMULATION DES EQUATIONS DU MOUVEMENE

### 5.1. GEOMETRIE DU MOTEUR ET SUSPENSION.

Nous prenons comme centre de coordonnée le point G coïncidant avec le centre de gravité du moteur en position d'équilibre statique, et comme axes de coordonnées les axes Gx, Gy, Gz respectivement axes longitudinal, transversal et vertical (Fig. 51).

Les déplacements possibles correspondants sont alors :

- translation suivant Gx : mouvement longitudinal (X) (avance)
- translation suivant Gy : mouvement transversal (Y) (ballant)
- translation suivant Gz : mouvement vertical (Z) (Rebondissement)
- rotation autour de Gx : mouvement de roulis (Or)
- rotation autour de Gy : mouvement de galop (Or)
- rotation autour de Gz : mouvement de l'aret (Or)

Le moteur est suspendu sur des plots (éléments élastiques avec amortissement) en quatre points A, B, C et D situés dans un plan appelé plan de suspension les coordonnées de ces points sont :

$$\begin{aligned} A(l_1, d_1, -h) , \quad B(l_1, -d_2, -h) \\ C(-l_2, d_1, -h') , \quad D(-l_2, -d_2, -h') \end{aligned} \quad (5.1)$$

Les plots sont deux à deux identiques, en A et B (plot avant) et C et D (plot arrière). Leurs rigidités et amortissement principaux sont orientés parallèlement aux axes de coordonnées (Fig. 5.2) et on les note par:

- |  |                              |
|--|------------------------------|
| K <sub>h</sub> et d <sub>h</sub> pour les plots avant      | } suivant les<br>axes x et y |
| K' <sub>h</sub> et d' <sub>h</sub> pour les plots arrières |                              |
- |  |                                     |
|--|-------------------------------------|
| K <sub>1</sub> , K <sub>2</sub> , K <sub>3</sub> et d <sub>v</sub> pour les plots Avant        | } suivant la<br>direction verticale |
| K' <sub>1</sub> , K' <sub>2</sub> , K' <sub>3</sub> et d' <sub>v</sub> pour les plots arrières |                                     |

## REMARQUES

- Les plots admettent une force non linéaire suivant z tel que
 
$$f(z) = k_1 z^3 + k_2 z^2 + k_3 z$$
- Les rigidités torsionnelles sont nulles  $C_x = C_y = C_z = 0$ .

## 5.2. DEPLACEMENT DES POINTS DE FIXATION PAR RAPPORT AU CHASSIS

On considère un système à six degrés de liberté  $x, y, z, \psi_m, \theta_m$ , et  $\varphi_m$ . Les déplacements de chaque point en fonction des coordonnées généralisées sont (voir Fig. 5.1, 5.2):

$$A \quad \begin{cases} x_1 = x - h \psi_m - d_1 \varphi_m \\ y_1 = y + h \theta_m + d_1 \psi_m \\ z_1 = z + d_1 \theta_m - d_1 \varphi_m \end{cases} \quad (5.2)$$

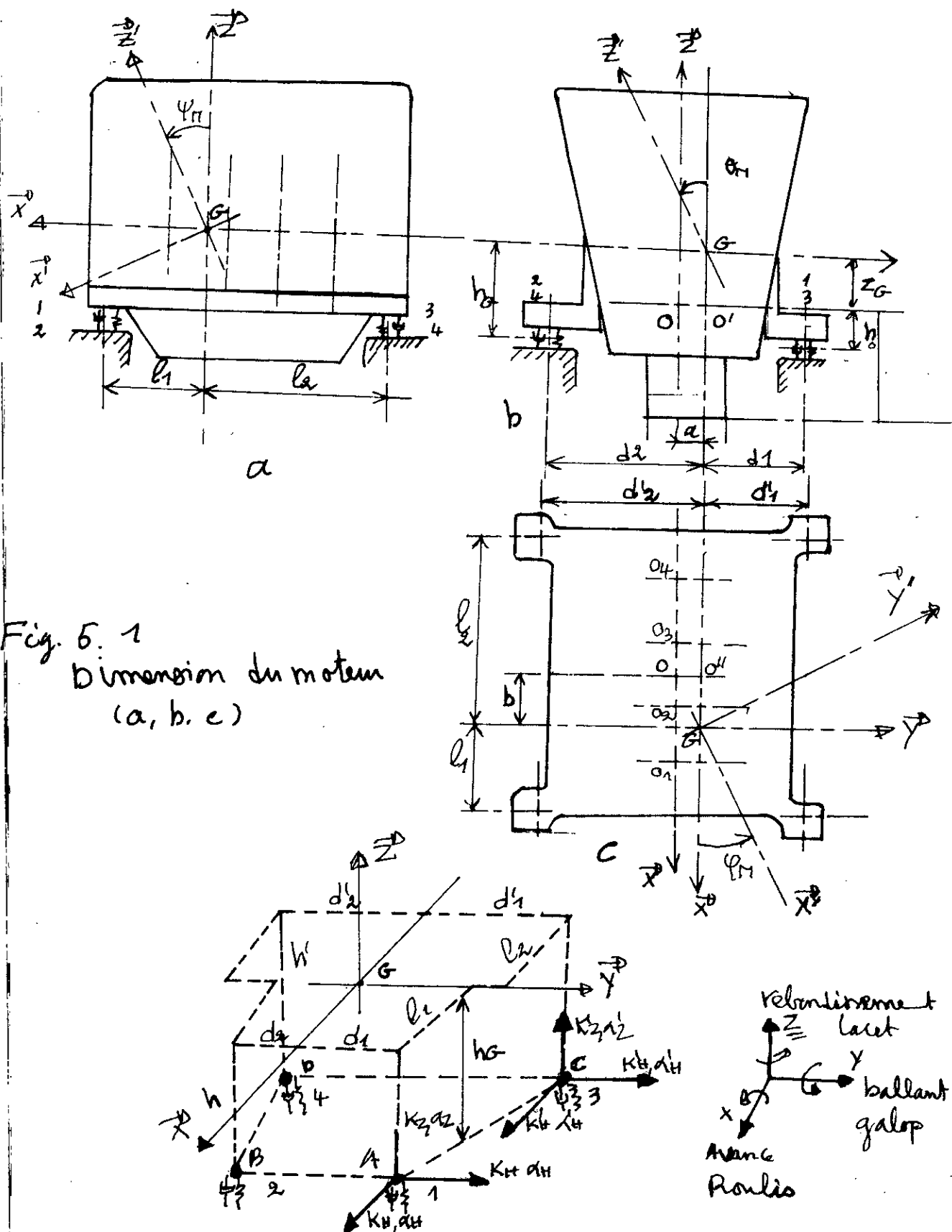


Fig. 5. 2 . Géométrie du moteur avec la suspension (moteur non figuré)

(5.5)

$$\begin{aligned}
 & \left[ (w\phi z - w\theta m - d_i qm) + (z - d_i qm + d_i qm) \right] \dot{x} + \left[ (w\phi z - w\theta m + d_i qm) + (z - d_i qm - d_i qm) \right] \dot{y} \\
 & + \left[ (w\phi y - w\theta m + d_i qm) \right] \dot{z} + \dot{y} \left[ (w\phi z - w\theta m + d_i qm) + (w\phi z - w\theta m + d_i qm) \right] \dot{y} \\
 & + \left[ (w\phi y - w\theta m + d_i qm) + (w\phi y + w\theta m + d_i qm) \right] \dot{y} + \left[ (w\phi z - w\theta m + d_i qm) + (x - h_i qm + d_i qm) \right] \dot{z} \\
 & + \left[ (w\phi y - w\theta m - x) \right] \dot{y} + \left[ (w\phi z - w\theta m - x) + (w\phi y - w\theta m - x) \right] \dot{y} = 0
 \end{aligned}$$

on divise

$$\begin{aligned}
 (5.6) \quad & \left( \frac{\dot{x}}{d_i qm} + \frac{\dot{y}}{d_i qm} \right) \dot{x} + \left( \frac{\dot{z}}{d_i qm} + \frac{\dot{y}}{d_i qm} \right) \dot{y} + \left( \frac{\dot{x}}{d_i qm} + \frac{\dot{z}}{d_i qm} \right) \dot{z} \\
 & + \left( \frac{\dot{y}}{d_i qm} + \frac{\dot{y}}{d_i qm} \right) \dot{y} + \left( \frac{\dot{x}}{d_i qm} + \frac{\dot{y}}{d_i qm} \right) \dot{y} + \left( \frac{\dot{z}}{d_i qm} + \frac{\dot{y}}{d_i qm} \right) \dot{y} = 0
 \end{aligned}$$

et nous avons le résultat suivant

### S.3. ENERGIE DE DISSIPATION

$$\begin{aligned}
 (5.5) \quad & \left. \begin{aligned} z_4 &= z - d_i qm + d_i qm \\ y_4 &= y + w\theta m - d_i qm \\ x_4 &= x - h_i qm + d_i qm \end{aligned} \right\}
 \end{aligned}$$

$$\begin{aligned}
 (5.4) \quad & \left. \begin{aligned} z_3 &= z + d_i qm + d_i qm \\ y_3 &= y + w\theta m - d_i qm \\ w\phi y - w\theta m - d_i qm &= x \end{aligned} \right\}
 \end{aligned}$$

$$\begin{aligned}
 (5.3) \quad & \left. \begin{aligned} z_2 &= z - d_i qm - d_i qm \\ y_2 &= y + w\theta m + d_i qm \\ w\phi z - d_i qm - d_i qm &= x \end{aligned} \right\}
 \end{aligned}$$

$$(5.73) \quad \text{Wh} \left[ \left( \frac{2}{3} \bar{x} + \frac{2}{3} p + \frac{1}{3} q \right) u_y + \left( \frac{1}{3} \bar{x} + \frac{2}{3} p + \frac{1}{3} q \right) u_n \right] + \\ \text{Wh} \left[ \left( \frac{2}{3} p - \frac{1}{3} q \right) u_y u_y + \left( \frac{2}{3} p - \frac{1}{3} q \right) u_n u_n \right] + \text{W}_\theta \left( u_y u_y - u_n u_n \right) \bar{x} \\ + \lambda \left[ \bar{x} u_y - u_n u_y \right] \bar{x} + \chi \left[ \left( \frac{2}{3} p - \frac{1}{3} q \right) u_y + \left( \frac{2}{3} p - \frac{1}{3} q \right) u_n \right] - = \frac{\text{Wh} e}{\partial e}.$$

$$(5.72) \quad \text{Wh} \left[ \frac{2}{3} \bar{x} u_y + \frac{2}{3} \bar{x} u_n + \frac{1}{3} u_y u_y + \frac{1}{3} u_n u_n \right] \bar{x} \\ + \text{Wh} \left[ \left( \frac{2}{3} p - \frac{1}{3} q \right) u_y u_y + \left( \frac{2}{3} p - \frac{1}{3} q \right) u_n u_n \right] + \text{W}_\theta \left[ \left( \frac{2}{3} p - \frac{1}{3} q \right) u_y u_y - \right. \\ \left. p \bar{x} u_n u_n \right] - \bar{x} \left( \bar{x} u_y u_y - u_n u_n \right) \bar{x} - \chi \left( u_y u_y + u_n u_n \right) \bar{x} - = \frac{\text{Wh} e}{\partial e}. \\ (5.73)$$

$$\text{Wh} \left[ u_y \left( \frac{2}{3} p - \frac{1}{3} q \right) \bar{x} - u_n \left( \frac{2}{3} p - \frac{1}{3} q \right) \bar{x} \right] - \text{Wh} \left( \bar{x} u_y u_y - u_n u_n \right) \bar{x} \\ + \text{W}_\theta \left[ \left( \frac{2}{3} p + \frac{1}{3} q \right) u_y u_y + \left( \frac{2}{3} p + \frac{1}{3} q \right) u_n u_n + \left( u_y u_y + u_n u_n \right) \bar{x} \right] \\ + \bar{x} \left[ \left( \frac{2}{3} p - \frac{1}{3} q \right) u_y u_y + \left( \frac{2}{3} p - \frac{1}{3} q \right) u_n u_n \right] + \lambda \left( u_y u_y + u_n u_n \right) \bar{x} = \frac{\text{Wh} e}{\partial e}.$$

$$(5.70) \quad \text{Wh} (u_y u_y) \bar{x}$$

$$- \bar{x} u_n u_n \bar{x} - \text{W}_\theta \left[ \left( \frac{2}{3} p - \frac{1}{3} q \right) u_y u_y + \left( \frac{2}{3} p - \frac{1}{3} q \right) u_n u_n \right] + \bar{x} (u_y u_y + u_n u_n) \bar{x} = \frac{\text{Z} e}{\partial e}.$$

$$(5.9) \quad \text{Wh} (u_n u_n) \bar{x} \\ - \bar{x} u_y u_y \bar{x} + \text{W}_\theta (u_y u_y + u_n u_n) \bar{x} + h (u_y u_y + u_n u_n) \bar{x} = \frac{\text{K} e}{\partial e}.$$

$$(5.8) \quad \text{Wh} \left[ \left( \frac{1}{3} p - \frac{2}{3} q \right) u_y u_y + \left( \frac{1}{3} p - \frac{2}{3} q \right) u_n u_n \right] + \text{Wh} (u_y u_y + u_n u_n) \bar{x} - \chi (u_y u_y + u_n u_n) \bar{x} = \frac{\text{Z} e}{\partial e}.$$

Deuteron, alpha and other  
nuclei with nuclear forces  
which also act on a

## 54 FORCES GENERALISEES

Les forces et couples extérieurs agissant sur le moteur sont :

- le poids propre  $Mg$  qui va s'équilibrer à l'état statique.

- couple de renversement naturel - Cm
- les forces dues à l'élasticité des plots : réaction des appuis (horizontales et verticales)

On pourra donc définir les forces généralisées correspondantes aux déplacements considérés.

### 541 FORCES GENERALISEES SUIVANT (X)

Soit un déplacement virtuel  $\delta x$  suivant  $x$

$$\text{on a. } Q_x \cdot \delta x = \sum W_{\text{ext}} = [F(x_1) + F(x_2) + F(x_3) + F(x_4)] \delta x.$$

$$\text{donc } Q_x = F(x_1) + F(x_2) + F(x_3) + F(x_4)$$

$$Q_x = K_h x_1 + K_h x_2 + K'_h x_3 + K'_h x_4$$

$$\text{d'où } Q_x = 2(K_h + K'_h)x - 2(K_h h + K'_h h') \psi_M + [K_h(d_2 - d_1) + K'_h(d'_2 - d'_1)] \psi_M. \quad (5.14)$$

### 542 FORCES GENERALISEES SUIVANT (Y)

Soit un déplacement virtuel  $\delta y$  suivant  $y$  alors

$$\text{on a. } Q_y \delta y = \sum W_{\text{ext}} y = (F(y_1) + F(y_2) + F(y_3) + F(y_4)) \delta y$$

$$\text{d'vn } Q_y = K_h y_1 + K_h y_2 + K'_h y_3 + K'_h y_4.$$

$$\text{d'vn } Q_y = 2(K_h + K_h) y + 2(K_h h + K'_h h') \theta_M + 2(l_1 K_h - l_2 K'_h) h$$

$\cdot \varphi_M \quad (5.15)$

## 5.4.3 FORCES GENERALISEES SUIVANT (Z)

Soit un déplacement virtuel  $\delta z$  suivant (z)

$$\text{On a: } Q_z \delta z = \sum M(F_{ext})$$

$$Q_z \delta z = (F(z_1) + F(z_2) + F(z_3) + F(z_4)) \delta z$$

$$\text{d'vn } Q_z = F(z_1) + F(z_2) + F(z_3) + F(z_4)$$

$$Q_z = k_3 z_1^3 + k_2 z_1^2 + k_1 z_1 + k_3 z_2^3 + k_2 z_2^2 + k_1 z_2 + k'_3 z_3^3 + k'_2 z_3^2$$

$$+ k'_1 z_3 + k'_3 z_4^3 + k'_2 z_4^2 + k'_1 z_4$$

$$Q_z = k_3 (z_1^3 + z_2^3) + k'_3 (z_3^3 + z_4^3) + k_2 (z_1^2 + z_2^2) + k'_2 (z_3^2 + z_4^2) + \\ k_1 (z_1 + z_2) + k'_1 (z_3 + z_4) \quad (5.16)$$

## 5.4.4 FORCES GENERALISEES SUIVANT ( $\theta_M$ )

Soit un déplacement virtuel  $\delta \theta_M$

$$\text{On a } \sum M(F_{ext}) = Q_{\theta_M} \delta \theta_M.$$

$$\sum M(F_{ext}) = (F(z_1) d_1 + F(z_2) d'_1 - F(z_3) d_2 - F(z_4) d'_2 + K_h (y_1 + y_2) h$$

$$+ K'_h (y_3 + y_4) h' - C_m)$$

alors

$$\begin{aligned} Q_0 &= k_3(d_1 z_1^3 - d_2 z_2^3) + k'_3(d'_1 z_3^3 - d'_2 z_4^3) + \\ &k_2(d_1 z_1^2 - d_2 z_2^2) + k'_2(d'_1 z_3^2 - z_4^2 l_2) + K_h(y_1 + y_2) h + \\ &K'_h(y_3 + y_4) h' - C_m. \quad (5.17) \end{aligned}$$

## 545 FORCES GENERALISEES SUIVANT ( $\psi_m$ )

Soit un déplacement virtuel  $\delta \psi_m$  suivant  $\psi_m$

$$\text{on a: } Q_{\psi_m} \cdot \delta \psi_m = \sum W(M(F_{ext}))$$

$$\begin{aligned} Q_{\psi_m} &= [F(z_3) + F(z_4)] l_2 - [F(z_1) + F(z_2)] l_1 \\ &- [F(x_1) + F(x_2)] h - [F(x_3) + F(x_4)] h' \end{aligned}$$

d'où

$$\begin{aligned} Q_{\psi_m} &= [k'_3(z_3^3 + z_4^3) + k'_2(z_3^2 + z_4^2)] l_2 - [k_3(z_1^3 + z_2^3) + \\ &k_2(z_1^2 + z_2^2)] l_1 - 2(K_h h + K'_h h') x + 2(k'_1 l_2 - k_1 l_1) z + \\ &(k'_1 l_2 (d_1 - d'_1) - k_1 l_1 (d_1 - d_2)) \theta_m + (2(k'_1 l_2^2 - k_1 l_1^2) + 2(K_h h^2 + \\ &K'_h h'^2)) \psi_m - [K_h h (d_2 - d_1) + K'_h h (d'_2 - d'_1)] \psi_m \quad (5.18) \end{aligned}$$

## 546 FORCES GENERALISEES SUIVANT ( $\varphi_m$ )

Soit un déplacement virtuel  $\delta \varphi_m$ , on a donc

$$Q_{\varphi_m} \cdot \delta \varphi_m = \sum W(M(F_{ext}))$$

$$\text{d'où } Q_{\varphi_m} = [F(m_0) + F(y_0)] l_1 - [F(y_1) + F(y_0)] l_2$$

$$+ F(x_2) d_2 + F(x_4) d'_2 - F(x_1) d_1 - F(x_3) d'_1$$

d'où  $Q\varphi_m = [K_h(d_2-d_1) + K'_h(d'_2-d'_1)]x + 2(K_h l_1 - K'_h l_2)y$

$$+ 2(K_h l_1 h - K'_h l_2 h') \theta_m + [K_h(d_1 h - d_2 h) + K'_h h'(l_1 - d'_2)] \varphi_m$$

$$+ [2(K_h l_1^2 + K'_h l_2^2) + K_h(d_2^2 + d_1^2) + K'_h(d'_2^2 + d'_1^2)] \varphi_m.$$

(5.19)

## 55 ENERGIE CINETIQUE

### 55.1 RAPPEL

L'énergie cinétique du corps dans le mouvement général.

$O$ : est le pôle

$r_i$ : rayon position de la masse  $m_i$ .

$r_o$ : rayon position du pôle  $O$

$\vec{r}$ : rayon position relatif du point matériel  $m_i$

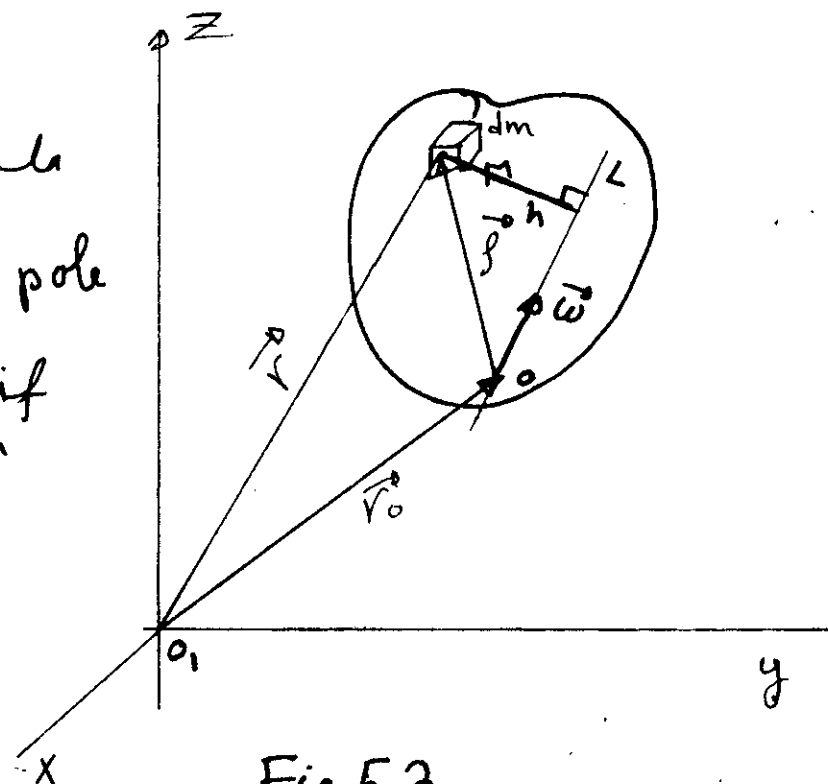


Fig 5.3.

Par définition, l'énergie cinétique du point matériel  $m_i$  de masse  $m_i$  est:

$$dT = \frac{1}{2} v^2 dm. \quad (5.20)$$

$$\text{On a : } \vec{v} = \frac{d\vec{r}}{dt}$$

$$\text{avec } \vec{r} = \vec{r}_0 + \vec{f}$$

$$\text{d'où } \vec{v} = \vec{r}_0 + \vec{\omega} \wedge \vec{f}$$

$$V^2 = \dot{r}_0^2 + 2 \cdot \vec{r}_0 \cdot (\vec{\omega} \wedge \vec{f}) + (\vec{\omega} \wedge \vec{f})^2$$

$$\text{On pose } \vec{V}_0 = \vec{r}_0$$

alors l'équation (5.20) devient

$$dT = \frac{1}{2} V_0^2 dm + \vec{V}_0 \cdot (\vec{\omega} \wedge \vec{f}) dm + \frac{1}{2} (\vec{\omega} \wedge \vec{f})^2 dm$$

alors l'énergie cinétique du système est :

$$T = \int_m dT = \frac{1}{2} m V_0^2 + \vec{V}_0 \cdot \int_m (\vec{\omega} \wedge \vec{f}) dm + \frac{1}{2} \int_m (\vec{\omega} \wedge \vec{f})^2 dm$$

ou bien

$$T = \frac{1}{2} m V_0^2 + \vec{V}_0 \cdot \int_m (\vec{\omega} \wedge \vec{f}) dm + \frac{1}{2} I \omega^2 dm$$

$$\text{d'où } T = \frac{1}{2} m V_0^2 + \vec{V}_0 \cdot \int_m (\vec{\omega} \wedge \vec{f}) dm + \frac{1}{2} I \omega^2 \quad (5.21)$$

avec  $I$  le moment d'inertie de la masse par rapport à l'axe instantané de rotation.

Mais, nous appliquons le théorème de Koenig qui démontre comme suit :

"L'énergie cinétique d'un solide dans son mouvement absolu est égale à l'énergie cinétique dans le mouvement autour du centre d'inertie augmentée de l'énergie cinétique du centre d'inertie affectée de la masse totale."

Elle sera donnée par.

$$E_c^o = E_c^{o*} + \frac{1}{2} m V^o(G)^2$$

$$\text{ou bien } E_c^o = \frac{1}{2} m V^o(G)^2 + \frac{1}{2} \vec{\omega}^t [I] \cdot \vec{\omega} \quad (5.22)$$

où  $V^o(G)$  est la vitesse absolue du centre de gravité de l'élément considéré.

Ce théorème est le cas particulier de la relation (5.21) en faisant  $O=S$  = centre de masse alors.

$$\vec{V}_o \cdot \int (\vec{\omega} \wedge \vec{f}_s) dm = \vec{V}_o \wedge \vec{\omega} \wedge \int_m \vec{f}_s dm = 0$$

Car  $\int \vec{f} dm$  = centre de masse.

$$\text{donc } T = \frac{1}{2} m V_s^2 + \frac{1}{2} \omega^2 g_L.$$

Donc on a besoin des vitesses absolues des différents points.

## 552 CALCUL DES VITESSES ABSOLUES

### - DU BLOC MOTEUR

Elle est donnée par.

$$\vec{v}_{bm} = \dot{x} \vec{i} + \dot{y} \vec{j} + \dot{z} \vec{k} \quad (5.23)$$

la vitesse de rotation est :

$$\vec{\omega}_{bm} = \dot{\theta}_m \vec{i} + \dot{\varphi}_m \vec{j} + \dot{\psi}_m \vec{k} \quad (5.24)$$

# DE LA MANIVELLE

$$\text{On a: } \overrightarrow{GG_m} = \overrightarrow{GO_i} + \overrightarrow{O_i G_m}$$

$$\overrightarrow{GO_i} = \overrightarrow{i} + \overrightarrow{o} + \overrightarrow{o''} + \overrightarrow{o'''} \quad (\text{Voir Fig 5.4})$$

Fig 5.4) dme

$$\overrightarrow{i} = [-Z_G \sin \varphi_M + (P_i - b) \cos \varphi_M + (P_i - b) \cos \varphi_M + a \sin \theta_M] \vec{i} + [Z_G \sin \theta_M + (P_i - b) \sin \varphi_M - a \cos \theta_M] \vec{j} + [-Z_G \cos \theta_M]$$

$$-Z_G \cos \varphi_M - (P_i - b) \sin \varphi_M - a \sin \theta_M - a \cos \varphi_M] \vec{k}$$

$$\overrightarrow{O_i G_m} = L_m \cos \theta \vec{i} - L_m \sin \theta \vec{j}$$

avec  $\left\{ \begin{array}{l} \vec{j}' = -\sin \varphi_M \vec{i} + (\cos \theta_M + (\sin \theta_M) \vec{j} + \sin \varphi_M) \vec{k} \\ \vec{k}' = \sin \varphi_M \vec{i} - \sin \theta_M \vec{j} + (\cos \theta_M + \sin \varphi_M) \vec{k} \end{array} \right.$

(Voir ANNEX)

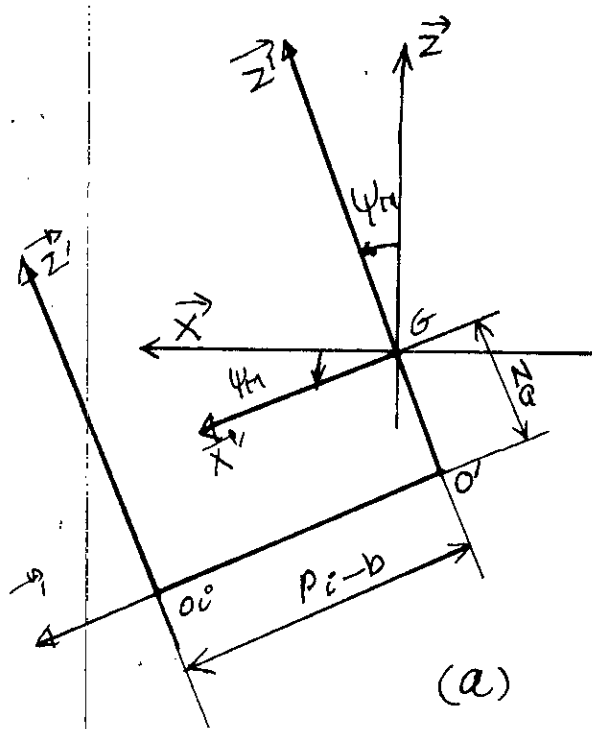
d' où on a:

$$\begin{aligned} \overrightarrow{O_i G_m} &= L_m [\cos \theta \sin \varphi_M + \sin \theta \sin \varphi_M] \vec{i} - L_m [\cos \theta \sin \theta_M \\ &+ \sin \theta \cos \theta_M] \vec{j} + L_m [\cos \theta (\cos \theta_M + \cos \varphi_M) - \sin \theta (\sin \theta_M + \\ &\cos \varphi_M)] \vec{k} \end{aligned}$$

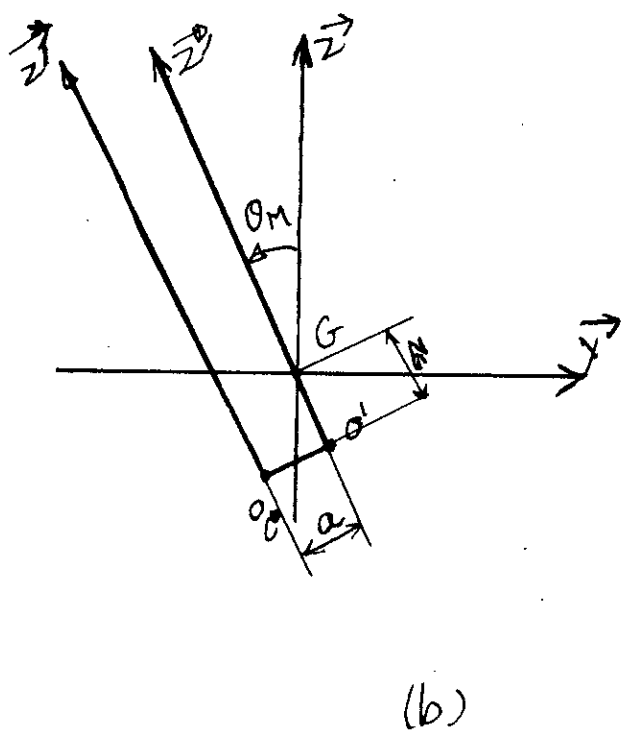
d'où la vitesse du point Gm

$$\overrightarrow{V_{Gm}} = \dot{x} \vec{i} + \dot{y} \vec{j} + \dot{z} \vec{k} + \frac{d \overrightarrow{GG_m}}{dt}$$

$$\overrightarrow{V_{Gm}} = [\dot{x} + \dot{\varphi}_M (-Z_G \cos \varphi_M - (P_i - b) \sin \varphi_M + L_m \cos \theta \cos \varphi_M)]$$



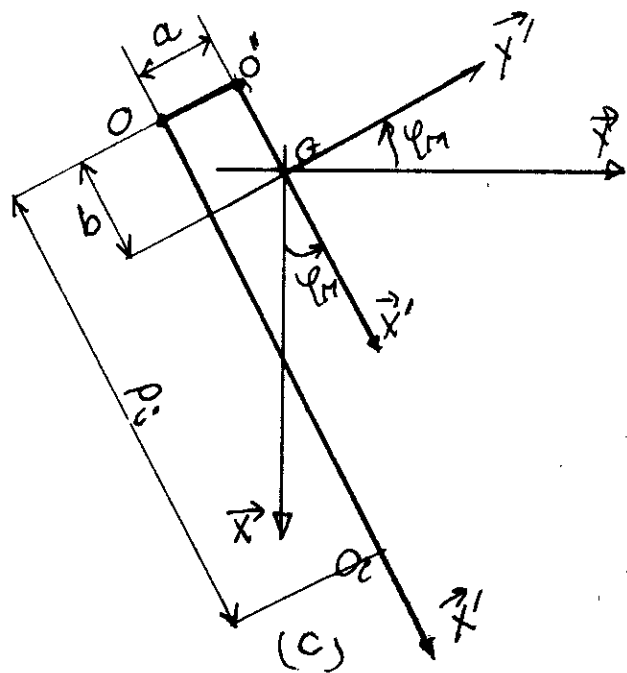
(a)



(b)

Fig. 54  
Définition des mouvements  
et des repères.

- a/ mouvement de galop (4m)
- b/ mouvement de Rollis (6m)
- c/ mouvement de lacet (4m)



(c)

$$\begin{aligned}
 & + \dot{\varphi}_M (-(\rho_i^o - b) \sin \varphi_M + a \cos \varphi_M + L_m \sin \theta \cos \varphi_M) + \dot{\theta} (-L_m \\
 & \sin \theta \sin \varphi_M + L_m \cos \theta \sin \varphi_M) \vec{i}^o + [\dot{y} + \dot{\theta}_M (z_0 \cos \theta_M + a \\
 & \sin \theta_M - L_m \cos \theta \cos \theta_M + L_m \sin \theta \sin \theta_M) + \dot{\varphi}_M (\rho_i^o - b) \cos \varphi_M \\
 & + \dot{\theta} (L_m \sin \theta \sin \theta_M - L_m \cos \theta \cos \theta_M) \vec{j}^o + [\dot{z} + \dot{\theta}_M (z_0 \sin \theta_M - \\
 & a \cos \theta_M - L_m \cos \theta \sin \theta_M - L_m \sin \theta \cos \theta_M) + \dot{\varphi}_M (z_0 \sin \varphi_M \\
 & - (\rho_i^o - b) \cos \varphi_M - L_m \cos \theta \sin \varphi_M) + \dot{\theta} (-L_m \sin \theta (\cos \theta_M + \cos \varphi_M) - L_m \cos \theta (\sin \theta_M \\
 & + \cos \varphi_M))] \vec{k}^o \quad (5.25)
 \end{aligned}$$

### - DE LA PREMIERE BIELLE

$$\text{On a : } \overrightarrow{GG_{b1}} = \overrightarrow{G_Oi} + \overrightarrow{\alpha_O G_{b1}}$$

$$\overrightarrow{\alpha_O G_{b1}} = (z_{b1} \cos \sigma + y_{b1} \sin \sigma) \vec{i}^o + (y_{b1} \cos \sigma - z_{b1} \sin \sigma) \vec{j}^o$$

En tenant compte des relations (A), on obtient

$$\begin{aligned}
 \overrightarrow{\alpha_O G_{b1}} &= [(z_{b1} \cos \sigma + y_{b1} \sin \sigma) \sin \varphi_M - (y_{b1} \cos \sigma - z_{b1} \sin \sigma) \sin \varphi_M] \vec{i}^o \\
 & + [(y_{b1} \cos \sigma - z_{b1} \sin \sigma) \cos \theta_M - (z_{b1} \cos \sigma + y_{b1} \sin \sigma) \sin \theta_M] \vec{j}^o \\
 & + [(z_{b1} \cos \sigma + y_{b1} \sin \sigma) (\cos \theta_M + \cos \varphi_M) + (y_{b1} \cos \sigma - z_{b1} \sin \sigma) \\
 & (\sin \theta_M + \cos \varphi_M)] \vec{k}^o
 \end{aligned}$$

d'où la vitesse

$$\overrightarrow{V_{G_{b1}}} = \dot{x} \vec{i}^o + \dot{y} \vec{j}^o + \dot{z} \vec{k}^o + \frac{d\overrightarrow{GG_{b1}}}{dt}$$

$$\begin{aligned}
 \vec{V}_{B1} = & \left[ \dot{x} + \dot{\psi}_M (-z_G \cos \psi_M - (P_{10} - b) \sin \psi_M) + \dot{\varphi}_M (- (P_{10} - b) \sin \psi_M \right. \\
 & + a \cos \psi_M) + (\dot{z}_{B1} \cos \sigma + \dot{y}_{B1} \sin \sigma) \sin \psi_M + (z_{B1} \cos \sigma + y_{B1} \sin \sigma) \dot{\psi}_M \\
 & \left. \cos \psi_M - (y_{B1} \cos \sigma - z_{B1} \sin \sigma) \sin \psi_M - (y_{B1} \cos \sigma - z_{B1} \sin \sigma) \dot{\varphi}_M \right] \vec{i}^D \\
 & + \left[ \dot{y} + \dot{\theta}_M (z_G \cos \theta_M + a \sin \theta_M - (z_{B1} \cos \sigma + y_{B1} \sin \sigma)) \right. \\
 & \left. \cos \theta_M - (y_{B1} \cos \sigma - z_{B1} \sin \sigma) \sin \theta_M \right] \vec{j}^D \\
 & + \left[ \dot{z} + \dot{\theta}_M (z_G \sin \theta_M - a \cos \theta_M - (z_{B1} \cos \sigma + y_{B1} \sin \sigma) \sin \theta_M + \right. \\
 & (y_{B1} \cos \sigma - z_{B1} \sin \sigma) \cos \theta_M) + \dot{\psi}_M (z_G \sin \psi_M - (P_{10} - b) \cos \psi_M \\
 & - (z_{B1} \cos \sigma + y_{B1} \sin \sigma) \sin \psi_M) + \dot{\varphi}_M (a \sin \psi_M - (y_{B1} \cos \sigma \\
 & - z_{B1} \sin \sigma) \cos \psi_M) + (\dot{z}_{B1} \cos \sigma + \dot{y}_{B1} \sin \sigma) (\cos \theta_M + \cos \psi_M) \\
 & \left. + (y_{B1} \cos \sigma - z_{B1} \sin \sigma) (\sin \theta_M + \cos \psi_M) \right] \vec{k}^D \quad (5.26)
 \end{aligned}$$

## DU PREMIER PISTON

$$\text{On } \alpha : \vec{GB} = \vec{GO} + \vec{OA}$$

$$\begin{aligned}
 \vec{OA} &= z_B (\cos \sigma \sin \psi_M + \sin \sigma \sin \psi_M) \vec{i}^D - z_B (\cos \sigma \sin \theta_M \\
 & + \sin \sigma \cos \theta_M) \vec{j}^D + z_B (\cos \sigma (\cos \theta_M + \cos \psi_M) - \sin \sigma (\sin \theta_M \\
 & + \cos \psi_M)) \vec{k}^D
 \end{aligned}$$

d'où la vitesse

$$\vec{V}_{B1} = \dot{x} \vec{i}^D + \dot{y} \vec{j}^D + \dot{z} \vec{k}^D + \frac{d\vec{OA}}{dt}$$

$$\begin{aligned}
 \vec{V}_{B1} = & \left[ \dot{x} + \dot{\varphi}_M (-z_b \cos \varphi_M - (P_i^o - b) \sin \varphi_M - z_{B1} \cos \sigma \cos \varphi_M) + \right. \\
 & \dot{\varphi}_M \left( -(P_i^o - b) \sin \varphi_M + z_{B1} \sin \sigma \cos \varphi_M + a \cos \varphi_M \right) + \dot{z}_{B1} \cos \sigma \\
 & \sin \varphi_M + \dot{z}_{B1} \sin \sigma \sin \varphi_M \Big] \vec{i}^o + \left[ \dot{y} + \dot{\theta}_M (z_b \cos \theta_M + a \sin \theta_M - \right. \\
 & z_{B1} \cos \sigma \cos \theta_M + z_{B1} \sin \sigma \sin \theta_M) + \dot{\varphi}_M (P_i^o - b) \cos \varphi_M - \\
 & \dot{z}_{B1} \cos \sigma \sin \theta_M - \dot{z}_{B1} \sin \sigma \cos \theta_M \Big] \vec{j}^o + \left[ \dot{z} + \dot{\theta}_M (z_b \sin \theta_M - \right. \\
 & a \cos \theta_M - z_{B1} \cos \sigma \sin \theta_M - z_{B1} \sin \sigma \cos \theta_M) + \dot{\varphi}_M (z_b \sin \varphi_M \\
 & - (P_i^o - b) \cos \varphi_M - z_{B1} \cos \sigma \sin \varphi_M) + \dot{\varphi}_M (a \sin \varphi_M + z_{B1} \sin \sigma \\
 & \sin \varphi_M) + \dot{z}_{B1} \cos \sigma (\cos \theta_M + \cos \varphi_M) - \dot{z}_{B1} \sin \sigma (\sin \theta_M \\
 & + \cos \varphi_M) \Big] \vec{k}^o \quad (5.27)
 \end{aligned}$$

## DE LA DEUXIEME BIELLE

De même, on a :

$$\overrightarrow{GG'_{B2}} = \overrightarrow{G\delta_i^o} + \overrightarrow{\alpha^o Gb_2}$$

$$\begin{aligned}
 \overrightarrow{\alpha^o Gb_2} = & \left[ (zb_2 \cos \sigma - y_{b2} \sin \sigma) \sin \varphi_M - (zb_2 \sin \sigma + y_{b2} \cos \sigma) \right. \\
 & \sin \varphi_M \Big] \vec{i}^o + \left[ (zb_2 \sin \sigma + y_{b2} \cos \sigma) \cos \theta_M - (zb_2 \cos \sigma - \right. \\
 & y_{b2} \sin \sigma) \sin \theta_M \Big] \vec{j}^o + \left[ (zb_2 \cos \sigma - y_{b2} \sin \sigma) (\cos \theta_M + \cos \varphi_M) \right. \\
 & + (zb_2 \sin \sigma + y_{b2} \cos \sigma) (\sin \theta_M + \cos \varphi_M) \Big] \vec{k}^o
 \end{aligned}$$

d'où la vitesse

$$\vec{V}_{G'_{B2}} = \dot{x} \vec{i}^o + \dot{y} \vec{j}^o + \dot{z} \vec{k}^o + \frac{d \overrightarrow{G'_{B2}}}{dt}$$

$$\begin{aligned}
 \vec{V}_{GB2} = & \left[ \dot{x} + \dot{\psi}_M (-z_G \cos \varphi_M - (P_{i^0} - b) \sin \varphi_M + (z_{B2} \cos \sigma - y_{B2} \sin \sigma) \right. \\
 & (\cos \varphi_M) + \dot{\varphi}_M (- (P_{i^0} - b) \sin \varphi_M + a \cos \varphi_M - (z_{B2} \sin \sigma + y_{B2} \cos \sigma) \\
 & \cos \varphi_M) + (z_{B2} \cos \sigma - y_{B2} \sin \sigma) \sin \varphi_M - (z_{B2} \sin \sigma + y_{B2} \cos \sigma) \\
 & \left. \sin \varphi_M \right] \vec{i}^0 + \left[ \dot{y} + \dot{\theta}_M (z_G \cos \theta_M + a \sin \theta_M - (z_{B2} \cos \sigma - y_{B2} \sin \sigma) \right. \\
 & \cos \theta_M - (z_{B2} \sin \sigma + y_{B2} \cos \sigma) \sin \theta_M) + \dot{\varphi}_M ((P_{i^0} - b) \cos \varphi_M) - \\
 & (z_{B2} \cos \sigma - y_{B2} \sin \sigma) \sin \theta_M + (z_{B2} \sin \sigma + y_{B2} \cos \sigma) \cos \theta_M \left. \vec{j}^0 \right] \\
 & + \left[ \dot{z} + \dot{\theta}_M (z_G \sin \theta_M - a \cos \theta_M - (z_{B2} \cos \sigma - y_{B2} \sin \sigma) \sin \theta_M + \right. \\
 & (z_{B2} \sin \sigma + y_{B2} \cos \sigma) \cos \theta_M) + \dot{\varphi}_M (z_G \sin \varphi_M - (P_{i^0} - b) \cos \varphi_M \\
 & - (z_{B2} \cos \sigma - y_{B2} \sin \sigma) \sin \varphi_M + \dot{\varphi}_M (a \sin \varphi_M - (z_{B2} \sin \sigma + y_{B2} \cos \sigma) \\
 & \sin \varphi_M) + (z_{B2} \cos \sigma - y_{B2} \sin \sigma) (\cos \theta_M + \cos \varphi_M) \\
 & + (z_{B2} \sin \sigma + y_{B2} \cos \sigma) (\sin \theta_M + \cos \varphi_M) \left. \vec{k}^0 \right] \quad (5.28)
 \end{aligned}$$

## DU DEUXIEME PISTON

De même, on a :  $\vec{G_B}^0 = \vec{G_O}^0 + \vec{\omega}^0 \vec{B_2}$

d'où la vitesse,  $\vec{V}_{B2} = \dot{x} \vec{i}^0 + \dot{y} \vec{j}^0 + \dot{z} \vec{k}^0 + \frac{d \vec{G_B}^0}{dt}$

$$\begin{aligned}
 \vec{V}_{B2} = & \left[ \dot{x} + \dot{\psi}_M (-z_G \cos \varphi_M - (P_{i^0} - b) \sin \varphi_M - z_{B2} \cos \sigma \cos \varphi_M) + \right. \\
 & \dot{\varphi}_M ((P_{i^0} - b) \sin \varphi_M + a \cos \varphi_M - z_{B2} \sin \sigma \cos \varphi_M) + z_{B2} \cos \sigma \\
 & \sin \varphi_M - z_{B2} \sin \sigma \sin \varphi_M \left. \right] \vec{i}^0 + \left[ \dot{y} + \dot{\theta}_M (z_G \cos \theta_M + a \sin \theta_M + \right. \\
 & \left. z_{B2} \cos \sigma \sin \theta_M) + \dot{\varphi}_M (z_G \sin \varphi_M - (P_{i^0} - b) \cos \varphi_M - \right. \\
 & \left. z_{B2} \cos \sigma \cos \varphi_M) \right] \vec{j}^0 + \left[ \dot{z} + \dot{\theta}_M (z_G \sin \theta_M - a \cos \theta_M - \right. \\
 & \left. z_{B2} \cos \sigma \cos \theta_M) + \dot{\varphi}_M (a \sin \theta_M - z_{B2} \sin \sigma \cos \theta_M - \right. \\
 & \left. z_{B2} \cos \sigma \sin \theta_M) \right] \vec{k}^0 \quad (5.29)
 \end{aligned}$$

$$\begin{aligned}
 & -z_{B2} \cos \sigma \cos \theta_M - z_{B2} \sin \sigma \sin \theta_M) + \dot{\psi}_M (\rho_i^o - b) \cos \psi_M - \\
 & \dot{z}_{B2} \cos \sigma \sin \theta_M + \dot{z}_{B2} \sin \sigma \cos \theta_M] \vec{j} + [\dot{z} + \dot{\theta}_M (z_G \sin \theta_M \\
 & - a \cos \theta_M - z_{B2} \cos \sigma \sin \theta_M + z_{B2} \sin \sigma \cos \theta_M) + \dot{\psi}_M (z_G) \vec{k} \\
 & - (\rho_i^o - b) \cos \psi_M - z_{B2} \cos \sigma \sin \psi_M) + \dot{\psi}_M (a \sin \psi_M - z_{B2} \sin \sigma \\
 & \sin \psi_M) + \dot{z}_{B2} \cos \sigma (\cos \theta_M + \cos \psi_M) + \dot{z}_{B2} \sin \sigma (\sin \theta_M + \\
 & \cos \psi_M)] \vec{k} \quad (5.29)
 \end{aligned}$$

### 553 ENERGIE CINETIQUE DE LA MANIVELLE

La vitesse de rotation de la manivelle est :

$$\vec{\omega}_{Gm} = \dot{\theta} \vec{i} \quad \text{avec } \vec{i}^o = (\cos \psi_M + \cos \theta_M) \vec{i} + \sin \psi_M \vec{j} + (\sin \psi_M - \sin \theta_M) \vec{k}$$

$$\vec{\omega}_{Gm} = \dot{\theta} (\cos \psi_M + \cos \theta_M) \vec{i} + \dot{\theta} \sin \psi_M \vec{j} + \dot{\theta} (\sin \psi_M - \sin \theta_M) \vec{k}$$

alors on a :

$$\frac{1}{2} \vec{\omega}_{Gm}^t \cdot [\vec{j}] \cdot \vec{\omega}_{Gm} = \frac{1}{2} [I_{mx} (\cos \psi_M + \cos \theta_M)^2 + I_{my} \sin^2 \psi_M \\
 + I_{mz} (\sin \psi_M - \sin \theta_M)^2] \dot{\theta}^2 \quad (\text{voir annexe B})$$

d'où l'énergie cinétique.

$$\begin{aligned}
 T_m = \frac{1}{2} I_{mm} & \left[ (\dot{x} + \dot{\psi}_M (-z_G \cos \psi_M - (\rho_i^o - b) \sin \psi_M + L_m \cos \theta \cos \psi_M) \right. \\
 & + \dot{\psi}_M (-(\rho_i^o - b) \sin \psi_M + a \cos \psi_M + L_m \sin \sigma \cos \psi_M) + \dot{\theta} (-L_m \sin \theta \sin \psi_M + \\
 & \left. z_G \sin \theta_M \cos \psi_M + z_{B2} \sin \sigma \cos \psi_M) \right]^2
 \end{aligned}$$

$$\begin{aligned}
 & + L_m \cos \theta \sin \varphi_M \right)^2 + \left( \dot{y} + \dot{\theta}_M (z_0 \cos \theta_M + a \sin \theta_M - L_m \cos \theta \cos \theta_M + \right. \\
 & L_m \sin \theta \sin \theta_M) + \dot{\varphi}_M (P_i^o - b) \cos \varphi_M + \dot{\theta} (L_m \sin \theta \sin \theta_M - L_m \cos \theta \right. \\
 & \left. \cos \theta_M) \right)^2 + \left( \dot{z} + \dot{\theta}_M (z_0 \sin \theta_M - a \cos \theta_M - L_m \cos \theta \sin \theta_M - L_m \right. \\
 & \sin \theta \cos \theta_M) + \dot{\varphi}_M (z_0 \sin \varphi_M - (P_i^o - b) \cos \varphi_M - L_m \cos \theta \sin \varphi_M) \\
 & + \dot{\theta} (-L_m \sin \theta (\cos \theta_M + \cos \varphi_M) - L_m \cos \theta (\sin \theta_M + \cos \varphi_M)) \Big)^2 \Big] + \frac{1}{2} \left[ I_{mz} (\cos \varphi_M + \cos \varphi_M)^2 + I_{my} \sin^2 \varphi_M \right. \\
 & \left. + I_{mz} (\sin \varphi_M - \sin \varphi_M)^2 \right] \dot{\theta}^2 \quad (5.30)
 \end{aligned}$$

### 5.5.4 ENERGIE CINETIQUE DE LA PREMIERE BIELLE

La vitesse de rotation est :

$$\vec{\omega}_{AB1} = \vec{\omega}_{mo}, \vec{z}' = \omega_{mo} (\cos \varphi_M + \cos \varphi_M) \vec{z}^0 + \omega_{mo} \sin \varphi_M \vec{x}^0 + (\sin \varphi_M - \sin \varphi_M) \omega_{mo} \vec{k}^0$$

$$\text{d'où } \frac{1}{2} \vec{\omega}_{mo}^T \cdot [\vec{J}] \cdot \vec{\omega}_{mo} = \frac{1}{2} \omega_{mo}^2 \left[ (\cos \varphi_M + \cos \varphi_M)^2 [I_{bx} + \sin^2 \varphi_M I_{by}] + (\sin \varphi_M - \sin \varphi_M)^2 I_{bz} \right]$$

alors l'énergie cinétique est :

$$\begin{aligned}
 T_{b1} = \frac{1}{2} M_{b1} \left[ & \left( \dot{x} + \dot{\varphi}_M (-z_0 \cos \varphi_M - (P_i^o - b) \sin \varphi_M + (z_{b1} \cos \sigma + y_{b1} \sin \sigma) \cos \varphi_M \right. \right. \\
 & + (z_{b1} \cos \sigma + y_{b1} \sin \sigma) \sin \varphi_M - (y_{b1} \cos \sigma - z_{b1} \sin \sigma) \sin \varphi_M \Big)^2 + \left( \dot{y} + \dot{\theta}_M ( \right. \right. \\
 & z_0 \cos \theta_M + a \sin \theta_M - (z_{b1} \cos \sigma + y_{b1} \sin \sigma) \cos \theta_M - (y_{b1} \cos \sigma - z_{b1} \sin \sigma) \cos \theta_M \Big. \Big. \\
 & \left. \left. + \dot{\varphi}_M (P_i^o - b) \cos \varphi_M + \dot{\theta} (\sin \theta \sin \theta_M - L_m \cos \theta \sin \theta_M) \right) \right. \Big)^2 + \left( \dot{z} + \dot{\theta}_M (z_0 \sin \theta_M - a \cos \theta_M - L_m \cos \theta \cos \theta_M - L_m \sin \theta \cos \theta_M) + \dot{\varphi}_M (z_0 \sin \varphi_M - (P_i^o - b) \sin \varphi_M - L_m \cos \theta \sin \varphi_M) + \dot{\theta} (-L_m \sin \theta (\cos \theta_M + \cos \varphi_M) - L_m \cos \theta (\sin \theta_M + \cos \varphi_M)) \right. \Big)^2 \Big] + \frac{1}{2} \left[ I_{mz} (\cos \varphi_M + \cos \varphi_M)^2 + I_{my} \sin^2 \varphi_M + I_{mz} (\sin \varphi_M - \sin \varphi_M)^2 \right] \dot{\theta}^2
 \end{aligned}$$

$$\begin{aligned}
 & \sin \theta_M) + \dot{\varphi}_M (P_{i^o} - b) \cos \varphi_M - (z_{B1} \cos \sigma + y_{B1} \sin \sigma) \sin \theta_M + (y_{B1} \cos \sigma - \\
 & z_{B1} \sin \sigma) \cos \theta_M \Big)^2 + \Big( \dot{z} + \dot{\theta}_M (z_g \sin \theta_M - a \cos \theta_M - (z_{B1} \cos \sigma + y_{B1} \sin \sigma) \\
 & \sin \theta_M + (y_{B1} \cos \sigma - z_{B1} \sin \sigma) \cos \theta_M + \dot{\varphi}_M (z_g \sin \varphi_M - (P_{i^o} - b) \cos \varphi_M - \\
 & (z_{B1} \cos \sigma + y_{B1} \sin \sigma) \sin \varphi_M) + \dot{\varphi}_M (a \sin \varphi_M - (y_{B1} \cos \sigma - z_{B1} \sin \sigma) \sin \varphi_M) \\
 & + (z_{B1} \cos \sigma + y_{B1} \sin \sigma) (\cos \theta_M + \cos \varphi_M) + (y_{B1} \cos \sigma - z_{B1} \sin \sigma) (\sin \theta_M \\
 & + \cos \varphi_M) \Big)^2 \Big] + \frac{1}{2} M_{B1}^2 \left[ (\cos \varphi_M + \cos \varphi_M)^2 I_{B1x} + I_{B1y} \sin^2 \varphi_M + I_{B1z} \right. \\
 & \left. (\sin \varphi_M - \sin \varphi_M)^2 \right]. \quad (5.31)
 \end{aligned}$$

## 5.5. ENERGIE CINETIQUE DU PREMIER PISTON

La vitesse de rotation du piston est nulle alors

$$\frac{1}{2} \vec{\omega}^t [\vec{\jmath}] \vec{\omega} = 0$$

d'où l'énergie cinétique :

$$\begin{aligned}
 T_{p_1} = & \frac{1}{2} M_{p_1} \left[ \left( \dot{x} + \dot{\varphi}_M (-z_g \cos \varphi_M - (P_{i^o} - b) \sin \varphi_M - z_{B1} \cos \sigma \cos \varphi_M) + \right. \right. \\
 & \dot{\varphi}_M (- (P_{i^o} - b) \sin \varphi_M + a \cos \varphi_M + z_{B1} \sin \sigma \cos \varphi_M) + z_{B1} \cos \sigma \sin \varphi_M \\
 & + z_{B1} \sin \sigma \sin \varphi_M \Big)^2 + \left( \dot{y} + \dot{\theta}_M (z_g \cos \theta_M + a \sin \theta_M - z_{B1} \cos \sigma \cos \theta_M \right. \\
 & \left. \left. + z_{B1} \sin \sigma \sin \theta_M) + \dot{\varphi}_M (P_{i^o} - b) \cos \varphi_M - z_{B1} \cos \sigma \sin \theta_M - z_{B1} \sin \cos \right. \right. \\
 & \left. \left. \theta_M \right)^2 + \left( \dot{z} + \dot{\theta}_M (z_g \sin \theta_M - a \cos \theta_M - z_{B1} \cos \sigma \sin \theta_M - z_{B1} \sin \sigma \right. \right. \\
 & \left. \left. \cos \theta_M) + \dot{\varphi}_M (z_g \sin \varphi_M - (P_{i^o} - b) \cos \varphi_M - z_{B1} \cos \sigma \sin \varphi_M) + \right. \right. \\
 & \left. \left. \dot{\varphi}_M (a \sin \varphi_M - (y_{B1} \cos \sigma - z_{B1} \sin \sigma) \sin \varphi_M) \right. \right]
 \end{aligned}$$

$$\dot{\varphi}_M \left[ a \sin \varphi_M + z_{B1} \sin \sigma \sin \varphi_M + z_{B1} \cos \sigma (\cos \theta_M + \cos \varphi_M) - z_{B1} \sin \sigma (\sin \theta_M + \cos \varphi_M) \right]^2 \quad (5.32)$$

## 5.5.6 ENERGIE CINETIQUE DE LA DEUXIEME BIELLE

La vitesse de rotation de la deuxième bielle est:

$$\vec{\omega}_{B2} = \vec{\omega}_{B2} = \omega_{B2} (\cos \varphi_M + \cos \varphi_M) \vec{i} + \omega_{B2} \sin \varphi_M \vec{k} +$$

$$(\sin \varphi_M - \sin \varphi_M) \omega_{B2} \vec{k}$$

$$\text{d'où } \vec{\omega}_{B2} [\gamma] \vec{\omega} = \frac{1}{2} \omega_{B2}^2 \left[ (\cos \varphi_M + \cos \varphi_M)^2 I_{B2x} + I_{B2y} \sin^2 \varphi_M \right.$$

$$\left. + (\sin \varphi_M - \sin \varphi_M)^2 I_{B2z} \right]$$

Or l'énergie cinétique est:

$$T_{B2} = \frac{1}{2} M_{B2} \left[ \left( \dot{x} + \dot{\varphi}_M (-z_B \cos \varphi_M - (P_{i0}-b) \sin \varphi_M + (z_{B2} \cos \sigma - y_{B2} \sin \sigma) \cos \varphi_M) + \dot{\varphi}_M \left( -(P_{i0}-b) \sin \varphi_M + a \cos \varphi_M - (z_{B2} \sin \sigma + y_{B2} \cos \sigma) \cos \varphi_M \right) + (\dot{y} + \dot{\theta}_M (z_B \cos \theta_M + a \sin \theta_M - (z_{B2} \cos \sigma - y_{B2} \sin \sigma) \cos \theta_M - (z_{B2} \sin \sigma + y_{B2} \cos \sigma) \sin \theta_M) + \dot{\varphi}_M \left( (P_{i0}-b) \cos \varphi_M - (z_{B2} \cos \sigma - y_{B2} \sin \sigma) \sin \varphi_M \right) + (\dot{z} + \dot{\theta}_M (z_B \sin \theta_M - a \cos \theta_M - (z_{B2} \cos \sigma - y_{B2} \sin \sigma) \sin \theta_M + (z_{B2} \sin \sigma + y_{B2} \cos \sigma) \cos \theta_M) + \dot{\varphi}_M \left( z_B \sin \varphi_M - (P_{i0}-b) \cos \varphi_M - (z_{B2} \cos \sigma - y_{B2} \sin \sigma) \sin \varphi_M \right) \right)^2 + \left( \dot{z} + \dot{\theta}_M (z_B \sin \theta_M - a \cos \theta_M - (z_{B2} \cos \sigma - y_{B2} \sin \sigma) \sin \theta_M + (z_{B2} \sin \sigma + y_{B2} \cos \sigma) \cos \theta_M) + \dot{\varphi}_M \left( z_B \sin \varphi_M - (P_{i0}-b) \cos \varphi_M - (z_{B2} \cos \sigma - y_{B2} \sin \sigma) \sin \varphi_M \right) \right)^2 \right]$$

$$\begin{aligned}
 & + \dot{\varphi}_M (a \sin \varphi_M - (z b_2 \sin \sigma + y b_2 \cos \sigma) \sin \varphi_M) + (z b_2 \cos \sigma - y b_2 \\
 & \sin \sigma) ( \cos \theta_M + \cos \varphi_M ) + (z b_2 \sin \sigma + y b_2 \cos \sigma) ( \sin \theta_M + \cos \varphi_M ) \Big] \\
 & + \frac{1}{2} \omega_{AB2}^2 \left[ (\cos \varphi_M + \cos \varphi_M)^2 I_{bxz} + \sin^2 \varphi_M I_{bey} + (\sin \varphi_M - \sin \varphi_M)^2 \right. \\
 & \left. I_{bzz} \right] \quad (5.33)
 \end{aligned}$$

## 5.5.7 ENERGIE CINETIQUE DU DEUXIEME PISTON

Elle est donnée par :

$$\begin{aligned}
 T_{p2} = & \frac{1}{2} M_{p2} \left[ \dot{x} + \dot{\varphi}_M (-z b \cos \varphi_M - (p_i - b) \sin \varphi_M - z b_2 \cos \sigma \cos \varphi_M) \right. \\
 & + \dot{\varphi}_M (- (p_i - b) \sin \varphi_M + a \cos \varphi_M - z b_2 \sin \sigma \cos \varphi_M) + z b_2 \cos \sigma \sin \varphi_M \\
 & - z b_2 \sin \sigma \sin \varphi_M \Big]^2 + (\dot{y} + \dot{\theta}_M (z b \cos \theta_M + a \sin \theta_M - z b_2 \cos \sigma \cos \theta_M \\
 & - z b_2 \sin \sigma \sin \theta_M) + \dot{\varphi}_M (p_i - b) \cos \varphi_M - z b_2 \cos \sigma \sin \theta_M + z b_2 \sin \sigma \\
 & \cos \theta_M \Big)^2 + (\dot{z} + \dot{\theta}_M (z b \sin \theta_M - a \cos \theta_M - z b_2 \cos \sigma \sin \theta_M + z b_2 \sin \sigma \\
 & \cos \theta_M) + \dot{\varphi}_M (z b \sin \varphi_M - (p_i - b) \cos \varphi_M - z b_2 \cos \sigma \sin \varphi_M) + \\
 & \dot{\varphi}_M (a \sin \varphi_M - z b_2 \sin \sigma \sin \varphi_M) + z b_2 \cos \sigma (\cos \theta_M + \cos \varphi_M) + \\
 & \left. z b_2 \sin \sigma (\sin \theta_M + \cos \varphi_M) \right]^2 \quad (5.34)
 \end{aligned}$$

## 5.5.8 ENERGIE CINETIQUE DU BLOC MOTEUR

La vitesse de rotation est égale :

$$\vec{\omega}_{bm} = \dot{\theta}_M \vec{i} + \dot{\varphi}_M \vec{j} + \dot{\psi}_M \vec{k}$$

$$\text{d'où } \frac{1}{2} \vec{\omega}^e [\vec{\omega}] \cdot \vec{\omega} = \frac{1}{2} (I_{bm} \dot{\theta}_M^e + I_{bmy} \dot{\psi}_M^e + I_{bmz} \dot{\phi}_M^e)$$

alors l'énergie cinétique est égale:

$$T_{bm} = \frac{1}{2} M_{bm} (\dot{x}^2 + \dot{y}^2 + \dot{z}^2) + \frac{1}{2} (I_{bm} \dot{\theta}_M^e + I_{bmy} \dot{\psi}_M^e + I_{bmz} \dot{\phi}_M^e) \quad (5.35)$$

## 5.5.9 ENERGIE CINETIQUE DU VOLANT

La vitesse du rotation du volant est égale à celle du moteur donc

$$\vec{\omega}_v = \dot{\theta} \vec{e} = \dot{\theta} [(\cos \psi_M + \cos \phi_M) \vec{i} + \sin \psi_M \vec{j} + (\sin \phi_M - \sin \psi_M) \vec{k}]$$

D'où son énergie cinétique:

$$T_v = \frac{1}{2} M_v \left[ (\dot{x} + \dot{\psi}_M (-2a \cos \psi_M - (P_v - b) \sin \psi_M) + \dot{\phi}_M (- (P_v - b) \sin \psi_M + a \cos \phi_M))^2 + (\dot{y} + \dot{\theta}_M (2a \cos \theta_M + a \sin \phi_M) + \dot{\phi}_M (P_v - b) \cos \phi_M)^2 + (\dot{z} + \dot{\psi}_M (2a \sin \psi_M - (P_v - b) \cos \psi_M) + \dot{\phi}_M a \sin \phi_M + \dot{\theta}_M (2a \sin \theta_M - a \cos \theta_M))^2 \right] + \frac{1}{2} [I_{vx} (\cos \psi_M + \cos \phi_M)^2 + I_{vy} \dot{\theta}^2 \sin^2 \psi_M + I_{vz} (\sin \psi_M - \sin \phi_M)^2] \dot{\theta}^2 \quad (5.36)$$

## 5.5.10 ENERGIE CINETIQUE DE L'AMORTISSEUR ET DE LA POULIE

On considère l'amortisseur et la poulie comme un seul corps et l'expression de son énergie cinétique

est identique à celle du volant en remplaçant  $P_V$  par  $P_A$ .  
alors on a:

$$T_A = T_{V, P_A} \quad (5.37)$$

## 5.11 ENERGIE CINETIQUE TOTALE

L'énergie cinétique totale du moteur monocylindrique est la somme de toutes les énergies cinétiques - c'est à dire

$$T_E = T_m + T_{b1} + T_{p1} + T_{b2} + T_{p2} + T_{bm} + T_V + T_A \quad (5.38)$$

Pour un moteur polycylindrique, on ajoutera les énergies cinétiques de chaque manivelle, piston et bielle en tenant compte de l'angle de calage du vilebrequin.

## 5.6. SYSTEME D'EQUATIONS DIFFERENTIELLES

Pour trouver ce système d'équation, on applique les équations de Lagrange qui sont applicable car il n'existe pas de relations entre les paramètres; on peut donc dériver le système différentiel du second ordre, à coefficient variable, avec second membre.

Pour cela, il faut dériver la force réduite totale (énergie cinétique totale) par rapport aux coordonnées généralisées et vitesses généralisées. En plus, les dérivées par rapport aux vitesses généralisées doivent être aussi dérivées par rapport au temps.

les équations de Lagrange sont

$$\frac{d}{dt} \left( \frac{\partial T_E}{\partial \dot{q}_j} \right) - \frac{\partial T}{\partial q_j} = Q_j - \frac{\partial P}{\partial \dot{q}_j} \quad (5.39)$$

avec  $T_t$ : énergie cinétique totale

$\Phi_j$ : force généralisée suivant  $q_j$

$D$ : l'énergie de dissipation

$q_j$ : coordonnées généralisées

$\dot{q}_j$ : vitesses généralisées.

## REMARQUES

— Pour ne pas encombrer le présent chapitre par les formules nous avons écarté d'abord les dérivées citées ci-dessous, et nous avons présenté les équations du mouvement (5. 49)

— Pour des raisons de calcul et de simplification, nous avons supposé que le moteur effectue des petites amplitudes soit en translation ou en rotation, par conséquent les termes suivants sont négligeables:

$$q_j^n, q_j q_i, \dot{q}_j^n, \dot{q}_j q_i, \ddot{q}_j \cdot q_i$$

$$\text{et } \sin q_j \approx q_j \quad \cos q_j \approx 1$$

## 57. FONCTION DE NON LINEARITÉ

La fonction de non linéarité due à des forces élastiques verticales non linéaires est :

$$\{C\} = \begin{cases} 0 \\ 0 \\ k_3(z_1^3 + z_2^3) + k_3'(z_3^3 + z_4^3) + k_2(z_1^2 + z_2^2) + k_2'(z_3^2 + z_4^2) \\ k_3(z_1^3 d_1 - z_2^3 d_2) + k_3'(z_3^3 d_1' - z_4^3 d_2') + k_2(z_1^2 d_1 - z_2^2 d_1') + k_2'(z_3^2 d_1 - z_4^2 d_1') \\ -k_3(z_1^3 + z_2^3) l_1 + k_3'(z_3^3 + z_4^3) l_2 - k_2(z_1^2 + z_2^2) l_1 + k_2'(z_3^2 + z_4^2) l_2 \end{cases}$$

$$\frac{\partial}{\partial t} \left( \frac{v \cdot E_c}{\partial x} \right) - \frac{\partial T}{\partial x} = \phi_x - \frac{\partial P}{\partial x} \quad (1)$$

$$(R_{H+} + R'_{H'}) \left[ \psi_m + [m \sin \theta - m b_1 (\bar{z}_1 \sin \sigma - \bar{y}_1 \cos \sigma) + m b_2 (\bar{z}_2 \sin \sigma + \bar{y}_2 \cos \sigma)] \right] + \psi_m [m m (-\bar{z}_G + Lm \cos \theta) + m b_1 (\bar{z}_G +$$

$$m v \bar{z}_G] + \dot{\psi}_m [m m (n + Lm \sin \theta) + m b_1 (1 - y_1 \cos \theta + z_1 \sin \theta) + m b_2 (1 + z_2 \cos \theta - y_2 \sin \theta) + m p_1 (1 + z_{B_1} \sin \theta) + m b_2 (1 - z_{B_2} \cos \theta) + m p_2 (1 - z_{B_2} \sin \theta) + m v_a] = -2 (d_{H+} d_{H'}) \dot{x} + [2 (d_{H+} d_{H'})$$

$$- (2 m m \theta L m \delta i \theta + 2 m b_1 (\bar{z}_1 \cos \sigma + \bar{y}_1 \sin \sigma) + 2 m b_2 (\bar{z}_2 \cos \sigma + \bar{y}_2 \sin \sigma) - 2 m p_1 \dot{z}_1 \sin \theta - 2 m p_2 \dot{z}_2 \sin \theta) + 2 m p_2 \dot{z}_{B_2} \sin \theta] \dot{\psi}_m + 2 (R_{H+} R'_{H'}) \dot{x} + [m m \dot{\theta}^2 L m \cos \theta -$$

$$m b_1 (\bar{z}_1 \cos \sigma + \bar{y}_1 \sin \sigma) - m p_1 \dot{z}_{B_1} \cos \theta - m b_2 (\bar{z}_2 \cos \sigma - \bar{y}_2 \sin \sigma) - m p_2 \dot{z}_{B_2} \cos \theta -$$

$$2 (R_{H+} R'_{H'}) \left[ \psi_m + [m m \dot{\theta}^2 L m \sin \theta - m b_1 (\bar{z}_1 \sin \sigma - \bar{y}_1 \cos \sigma) - m p_1 \dot{z}_{B_1} \sin \theta -$$

$$(\bar{z}_2 \sin \sigma + \bar{y}_2 \cos \sigma + m p_2 \dot{z}_{B_2} \sin \theta - R_H (d_1 - d_2) + R'_H (d'_1 + d'_2)] \right] \psi_m$$

$$\begin{aligned}
& \ddot{y} [l_m + mb_1 + mp_1 + lb_2 + mp_2 + mv + mbm] + \ddot{\theta}_M [mm(z_a - Lm \cos \sigma) + mb_1(z_a - \\
& z_i \cos \sigma - y_i \sin \sigma) + mp_1(z_a - z_B \cos \sigma) + mb_2(z_a - z_2 \cos \sigma + y_2 \sin \sigma) + mp_2(z_a - z_{B2} \cos \sigma) \\
& + mv z_a] + \ddot{\varphi}_M [mm(p_i - b) + mb_1(p_i - b) + mp_1(p_i - b) + mb_2(p_i - b) + mp_2(p_i - b) + mv \\
& (p_v - b)] = -2(d_H + d'_H) \ddot{y} + [2mb_1(z_i \cos \sigma + y_i \sin \sigma) - 2mm \theta L m \sin \theta + 2mp_1 \\
& z_{B1} \cos \sigma - 2mb_2(y_2 \sin \sigma - z_2 \cos \sigma) + 2mp_2 z_{B2} \cos \sigma - 2(d_H b + d'_H b)] \ddot{\theta}_M + \\
& 2(d_H p_e - d_H l_i) \ddot{\varphi}_M + 2(R_H + R'_H) \ddot{x} + [2(R_H h + R'_H h) - mm \theta^2 L m \cos \theta + mb_1(z_i \cos \sigma + \\
& y_i \sin \sigma) + mp_1 z_{B1} \cos \sigma + mb_2(z_2 \cos \sigma - y_2 \sin \sigma) + mp_2 z_{B2} \cos \sigma] \ddot{\theta}_M + 2(K_H p_i \\
& - R'_H p_e) \ddot{\varphi}_M + [mp_1 z_{B1} \sin \sigma - mm \theta e L m \sin \theta - mbi(y_i \cos \sigma - z_i \sin \sigma) - mb_2 \\
& (z_2 \sin \sigma + y_2 \cos \sigma) - mp_2 z_{B2} \sin \sigma]
\end{aligned}$$

$$\frac{d}{dt} \left( \frac{\partial T}{\partial y} \right) - \frac{\partial T}{\partial y} = \dot{\varphi}_y - \frac{\partial P}{\partial y} \quad \dots \quad (2) \quad (5-49)$$

$$\begin{aligned}
& \ddot{\theta} = [m + mb_1 + m\rho_1 + mb_2 + m\rho_2 + mv + mbm] + \ddot{\theta}_m [-m(n + 2m\sin\theta) + mbi(-a \\
& + y_1(\cos\theta - z_1\sin\theta) - m\rho_1(n + z_{B1}\sin\theta) + mb_2(a - z_2\sin\theta + y_2\cos\theta) + m\rho_2(a - 1 + z_{B2} \\
& - \sin\theta - mv)] + \ddot{\theta}_m [-mb_1(\rho_1 - b) - mb_2(\rho_2 - b) - m\rho_2(\rho_1 - b) - mv \\
& (\rho_v - b) - mv(\rho_v - b)] = 2(dv + d'd') + \ddot{\theta} [dv(d'_2 - d'_1) + 2mv\dot{\theta}Lm(\cos\theta - 2mb_1 \\
& (y_1\cos\theta - z_1\sin\theta) + 2m\rho_1z_{B1}\sin\theta - 2mb_2z_{B2}\sin\theta) - 2m\rho_2\dot{\theta}B_2\sin\theta] \ddot{\theta}m + 2 \\
& (dv\rho_1 - d'\rho_2) \dot{\theta}_{M+2}(R_1 + R_2) + [dR_1(d - d_2) + R'_1(d'_1 - d'_2) - mv\dot{\theta}^2Lm \sin\theta mb_1(y'_1\cos\theta \\
& - z'_1\sin\theta) + m\rho_1z_{B1}\sin\theta + m\rho_2z_{B2}\sin\theta] \ddot{\theta}m + 2(mb_1(\dot{\theta}^2\cos\theta + y'_1\sin\theta) - mb_2(\dot{\theta}^2\cos\theta - z'_1\sin\theta) - m\rho_1^2z'_{B1} \\
& + [m + mb_1(2\cos\theta + z_1\sin\theta) - 2mb_2(\dot{\theta}^2\sin\theta + y'_2\cos\theta) - mb_2(\dot{\theta}^2\sin\theta - z'_2\sin\theta) - m\rho_1^2z'_{B2} \\
& (2\cos\theta - z_1\cos\theta - y'_1\sin\theta) - mb_2(\dot{\theta}^2\sin\theta + y'_2\cos\theta) - m\rho_2^2z'_{B2} \cdot (2\cos\theta + z_1\sin\theta)]]
\end{aligned}$$

$$\frac{d}{dt} \left( \frac{\dot{x}}{\dot{z}} \right) - \frac{\dot{x}}{\dot{z}^2} = \varphi_z - \frac{\partial \varphi}{\partial z} \quad \dots \quad (3) \quad (5.4.9)$$

$$\begin{aligned}
& \ddot{\gamma} \left[ m_m(z_a - Lm \cos \theta) + mb_1(z_a - z_1 \sin \theta) + mp_1(z_a - z_{B_1} \cos \theta) + mb_2 \right. \\
& \quad \left. (z_a - z_2 \cos \alpha + y_2 \sin \alpha) + mp_2(z_a - z_{B_2} \cos \alpha) + mv z_w \right] + \ddot{z} \left[ m_m(z_a + Lm \sin \theta) + mb_1 \right. \\
& \quad \left. (-a + y_1 \cos \alpha - z_1 \sin \alpha) - mp_1(a + z_{B_1} \sin \alpha) + mb_2(-a + z_2 \sin \alpha + y_2 \cos \alpha) + mp_2(-a + \right. \\
& \quad \left. z_{B_2} \sin \alpha) - mv a \right] + \ddot{\theta}_m \left[ m_m((z_a - Lm \cos \theta)^2) + Im x + mb_1(z_a - z_1 \cos \right. \\
& \quad \left. - y_1 \sin \theta)^2 + (-a + y_1 \cos \alpha - z_1 \sin \alpha)^2 \right] + I_{ab} \sin \varphi \left[ m_p_1(z_a - z_{B_1} \cos \theta)^2 + (a + z_{B_2} \cos \theta)^2 \right. \\
& \quad \left. + mb_2((z_a - z_2 \cos \alpha + y_2 \sin \alpha)^2 + (-a + z_2 \sin \alpha + y_2 \cos \alpha)^2) + I_{ab} x + mv p_2(z_a - \right. \\
& \quad \left. z_{B_2} \cos \theta)^2 + (-a + z_{B_2} \sin \alpha)^2 \right] + mv \left[ I_{ab} m_x + \dot{\varphi}_m [m_m(p_1 b) \right. \\
& \quad \left. (z_a - Lm \cos \theta) + mb_1(p_1 b)(z_a - z_1 \cos \alpha - y_1 \sin \theta) + mp_1(p_1 b)(z_a - z_{B_1} \cos \theta) + mb_2 \right. \\
& \quad \left. (p_1 b)(z_a - z_2 \cos \alpha + y_2 \sin \alpha) + mp_2(p_1 b)(z_a - z_{B_2} \cos \alpha) + mv(p_1 b)z_a \right] + \dot{\varphi}_m \\
& \quad \left[ m_m(p_1 b)(a + Lm \sin \theta) + mb_1(p_1 b)(-a + y_1 \cos \alpha - z_1 \sin \theta) + mp_1(p_1 b)(1 + z_{B_1} \right. \\
& \quad \left. \sin \theta) - mb_2(p_1 b)(a + z_2 \sin \alpha + y_2 \cos \alpha) - mv p_2(p_1 b)(1 + z_{B_2} \sin \theta) \right]
\end{aligned}$$

$$\begin{aligned}
 -mv(p_2 - b) \alpha &= -2(d_1 h + d'_1 h') \gamma + [mp_2 z_{B_2} \sin \alpha - dv(d_1 - d'_1) d' v(d'_1 - d'_2)] z \\
 &\quad \times \left[ -m m(z_u - Lm \cos \theta) + mb_1(-z_u + z_{B_1} \cos \alpha) - mp_1(z_u + z_{B_1} \cos \alpha) + mb_2(-z_u + \right. \\
 &\quad \left. z_{B_2} \cos \alpha - y_2 \sin \alpha) - mp_2(z_u + z_{B_2} \cos \alpha) - mv(z_u - \bar{w}) \right] + \bar{z} \left[ -m m(p_1^o - b) - mb_1(p_1^o - b) - mv \right. \\
 &\quad \left. (p_1^o - b) - mb_2(p_1^o - b) - mp_2(p_1^o - b) - mv(p_1^o - b) \right] + \bar{w} \left[ (m m + p_1^o - b)(n + Lm \sin \theta) + mb_1(p_1^o - b) \right. \\
 &\quad \left. (n - z_{B_2} \sin \alpha) + mv_a(p_1^o - b) \right] + \bar{p}_m \left[ m m ((-z_u + Lm \cos \theta)^2 + (p_1^o - b)^2) + I_w y + mv + mb_1(-z_u + \right. \\
 &\quad \left. z_{B_2} \cos \alpha + y_1 \sin \alpha)^2 + (p_1^o - b)^2 \right] + \bar{p}_b \left[ mb_1((z_u - z_{B_1} \cos \alpha)^2 + (p_1^o - b)^2) + mb_2((z_u - z_{B_2} \cos \alpha)^2 + (p_1^o - b)^2) \right. \\
 &\quad \left. + I_w y + I_w n y \right] + \bar{p}_m \left[ m m (-z_u + Lm \cos \theta)^2 + (p_1^o - b)^2 \right] + mv(z_u^2 + (p_1^o - b)^2) \\
 &\quad + I_w y + I_w n y + (p_1^o - b)^2) + I_w y + mv + mb_1(n - y_1 \cos \alpha + z_{B_1} \sin \alpha) \\
 &\quad (-z_u + z_{B_1} \cos \alpha + y_1 \sin \alpha) - mp_1(n + z_{B_1} \sin \alpha) (z_u + z_{B_1} \cos \alpha) + mb_2(n - z_{B_2} \cos \alpha + y_2 \sin \alpha) \\
 &\quad (y_2 \sin \alpha) (-z_u + z_{B_2} \cos \alpha - y_2 \sin \alpha) - mp_2(z_u + z_{B_2} \cos \alpha) (n - z_{B_2} \cos \alpha) - mv z_n a \right] = 
 \end{aligned}$$

$$\begin{aligned}
& \times \left[ 2(d_{11}h + d_{12}h')m n \theta L_m (\sin \theta + \cos \theta) - m b_1 ((\dot{z}_1 \cos \alpha + \dot{y}_1 \sin \alpha) + (\dot{y}_1 \cos \alpha - \dot{z}_1 \sin \alpha)) \right. \\
& + \dot{z}_1 b_1 \sin \alpha m p_1 + \dot{z}_1 b_1 \cos \alpha m p_1 - m b_2 ((\dot{z}_2 \cos \alpha - \dot{y}_2 \sin \alpha) - (\dot{z}_2 \sin \alpha + \dot{y}_2 \cos \alpha)) + \\
& \left[ -2(d_{11}h^2 + d_{12}h'^2) - d_1 v (b_1^2 + b_2^2) - d_1 v (d_1^2 + d_2^2) - 2 m n \theta L_m \alpha \cos \theta + 2 m n \theta L_m z_a \right. \\
& \left. \sin \theta - 2 m n \theta L_m \sin \alpha \cos \theta + m n \theta L_m (-2z_a + 2L_m \cos \theta) m b_1 (z_a - z_1 \cos \alpha \right. \\
& \left. \sin \alpha) (\dot{z}_1 \cos \alpha + \dot{y}_1 \sin \alpha) - m b_1 (-a + y_1 \cos \alpha - z_1 \sin \alpha) (\dot{y}_1 \cos \alpha - \dot{z}_1 \sin \alpha) - m p_1 (z_a \right. \\
& \left. - z_1 \cos \alpha) \dot{z}_1 b_1 (\sin \theta - 3 \cos \alpha) - 2 m p_1 \dot{z}_1 b_1 (1 - z_1 \cos \alpha) \sin \alpha - m p_1 \dot{z}_1 b_1 z_a \right. \\
& \left. (1 - 3 \cos^2 \alpha + \cos \alpha \sin \alpha) - m p_1 \dot{z}_1 b_1 z_a (\cos \alpha - \sin \alpha) + 2 m b_2 (z_a - z_2 \cos \alpha + y_2 \sin \alpha) \right. \\
& \left. (\dot{z}_2 \cos \alpha - \dot{y}_2 \sin \alpha) - m b_2 (-a + z_2 \sin \alpha + y_2 \cos \alpha) (\dot{z}_2 \sin \alpha + \dot{y}_2 \cos \alpha) - m p_2 (z_a - z_2 \cos \alpha \right. \\
& \left. \sin \alpha) \dot{z}_2 b_2 (\sin \theta - 2 \cos \alpha) - 3 m p_2 (-1 + z_2 \sin \alpha) \dot{z}_2 b_2 \sin \alpha \right] \dot{\theta} M + \left[ h (d_1 - d_2) K_V - l \right. \\
& \left. - h (d_1 - d_2) d_1 v - 2 m b_1 (p_i - b) (\dot{y}_1 \cos \alpha - \dot{z}_1 \sin \alpha) - m p_1 (p_i - b) - m p_1 (p_i - b) \dot{z}_1 b_1 \sin \alpha \right]
\end{aligned}$$

$$\begin{aligned}
 & \dot{\psi}_M + \left[ \alpha (d_{H1} h_1 - d_{H'} h'_1) + 2mb_1(p_{H1} - p'_{H'}) + R_1(d_1 - d'_1) + R'_1(d'_1 - d_1) \right] \dot{\theta}_M \\
 & \left[ m_m \dot{\theta}_m^2 \sin^2 \theta - m_m \dot{\theta} \sin \theta \operatorname{Im}(\bar{z}_m (\cos \theta - \cos \theta) + \operatorname{Im}(\bar{z}_m \bar{z}_1 \sin \theta - \bar{y}_1 \sin \theta)) \right. \\
 & \left. - m \dot{\theta}_m (\bar{z}_m \sin \theta - \bar{y}_1 \sin \theta) - m \dot{\theta}_m (\bar{z}_m \cos \theta + \bar{y}_1 \cos \theta) \right] + \dot{\theta}_m \left[ \bar{z}_m \dot{\theta}_m \right. \\
 & \left. - \sin \alpha \cos \alpha + \bar{z}_m \dot{\theta}_m \right] - m \dot{\theta}_m \left( \bar{z}_{B1} \dot{\theta}_m - \bar{y}_1 \dot{\theta}_m \right) - m \dot{\theta}_m \left( \bar{z}_{B2} \dot{\theta}_m - \bar{y}_2 \dot{\theta}_m \right) - \\
 & \sin \alpha \sin \alpha \dot{\theta}_m \left( \bar{y}_1 - \bar{y}_2 \right) + \left( \bar{y}_1 \sin \alpha - \bar{y}_2 \sin \alpha \right) \left( \bar{z}_{B1} \dot{\theta}_m - \bar{y}_1 \dot{\theta}_m \right) + \left( \bar{y}_2 \sin \alpha - \bar{z}_{B2} \dot{\theta}_m \right) \\
 & \left. - \sin \alpha \cos \alpha \right) - m \dot{\theta}_m \left( \bar{z}_{B2} \dot{\theta}_m - \bar{y}_2 \dot{\theta}_m \right) + \dot{\theta}_m \left( \bar{z}_m \dot{\theta}_m + \bar{y}_1 \dot{\theta}_m \right) + \dot{\theta}_m \left( \bar{z}_m \dot{\theta}_m \right. \\
 & \left. - \alpha + \bar{z}_{B2} \sin \alpha \right) - m \dot{\theta}_m^2 \operatorname{Im}(\sin \theta_1 + \cos \theta_1 \sin \theta) \left[ -m \dot{\theta}_m^2 \operatorname{Im}(\bar{z}_m \sin \alpha + \bar{a}(2 \right. \\
 & \left. \cos \alpha - \sin \alpha) + \operatorname{Im}(\sin \alpha \cos \alpha - 2 \cos \alpha - \sin^2 \alpha) \right] m b_1 \left( \bar{y}_1 \cos \alpha \bar{z}_1 \sin \alpha \right) \\
 & \left( \bar{z}_m - \bar{z}_1 \cos \alpha - \bar{y}_1 \sin \alpha \right) + (-\bar{a} + \bar{y}_1 \sin \alpha) \left( 2(\bar{z}_1 \cos \alpha - \bar{z}_1 \sin \alpha) + (\bar{y}_1 \cos \alpha - \bar{y}_1 \sin \alpha) \right) \\
 & \left. \partial T_{GB1} \times \sum_{i=1}^{i=4} \beta_i \sin \alpha - \bar{z}_1 \cos \alpha (\bar{z}_m - \bar{z}_1 \sin \alpha) - \bar{z}_1 \sin \alpha (\bar{z}_m - \bar{z}_1 \cos \alpha) - \bar{z}_B_1 \right]
 \end{aligned}$$

$$\begin{aligned}
 & -\dot{z}_{B1} \sin \sigma (2 z_{B1} \cos \sigma - z_{B1} \sin \sigma) - (a + z_{B1} \sin \sigma) (2 \dot{z}_{B1} \cos \sigma - \dot{z}_{B1} \sin \sigma) + m \rho_1 \\
 & - \dot{z}_{B1} \cdot (z_{B1}^2 \sin^2 \sigma - 3 \cos \sigma) + m b \left[ (\dot{z}_{B2} \sin \sigma + \dot{y}_{B2} \cos \sigma) (z_{B1} - z_{B2} \cos \sigma + y_{B2} \sin \sigma) + (-a + z_{B2} \right. \\
 & \left. \sin \sigma + y_{B2} \cos \sigma) (2 (\dot{z}_{B2} \cos \sigma - y_{B2} \sin \sigma) + (\dot{z}_{B2} \sin \sigma + y_{B2} \cos \sigma)) \right] + 2 I_{AB2} X \\
 & \dot{z}_{AB2} - m \rho_2 (\dot{z}_{B2} (-1 + z_{B2}) \sin \sigma) (2 \cos \sigma + \sin \sigma) + \dot{z}_{B2} \sin \sigma (z_{C2} - z_{B2} \cos \sigma) \\
 & + z \left[ g_{11} (d_1 - d_2) + g_{11} (d_1' - d_2') \right] + 2 (g_{11} h + g_{11} H) Y + \left[ g_{11} (d_1^2 - d_1 d_2) + g_{11}' \right. \\
 & \left. (d_1^{\prime 2} - d_1' d_2') + 2 (g_{11} h' + g_{11} H') \right] \Omega_M + 2 (g_{11} h_1 - g_{11} H_2) \Phi_M
 \end{aligned}$$

$$\frac{d}{dt} \left( \frac{\partial T}{\partial \theta_M} \right) - \frac{\partial T}{\partial \theta_M} = \rho_{\theta M} - \frac{\partial K}{\partial \theta_M} - -(4) \quad (5-49)$$

$$\begin{aligned}
& \ddot{x} \left[ -m_m (\bar{z}_u + \bar{z}_v \cos \alpha) + m_b (-\bar{z}_u + \bar{z}_v \cos \alpha + \bar{z}_w \sin \alpha) \right] + m_p i (\bar{z}_u + \bar{z}_v \cos \alpha + \bar{z}_w \sin \alpha) \\
& (-\bar{z}_u + \bar{z}_v \cos \alpha - \bar{y}_w \sin \alpha) - m p_2 (\bar{z}_u + \bar{z}_v \cos \alpha) - m v \bar{z}_w \left[ -m_m (P_i^0 - b) - m b_1 \right. \\
& \left. (P_i^0 - b) - m p_1 (P_i^0 - b) - m b_2 (P_i^0 - b) - m p_2 (P_i^0 - b) \right] + \ddot{y} \left[ -m_m (P_i^0 - b) \cdot (a + l m \right. \\
& \left. \sin \alpha) + m b_1 (P_i^0 - b) (a - y_1 \cos \alpha + z_1 \sin \alpha) + m p_1 (P_i^0 - b) (a + z_1 \sin \alpha) + m b_2 (P_i^0 - b) \right. \\
& \left. (a - z_2 \sin \alpha - y_2 \cos \alpha) + m v a (P_i^0 - b) \right] + \ddot{y} m \left[ m_m (-\bar{z}_u \right. \\
& \left. + l m \cos \alpha + (P_i^0 - b)^2) + m b_1 ((-\bar{z}_u + \bar{z}_v \cos \alpha + y_1 \sin \alpha)^2 + (P_i^0 - b)^2) + m b_2 y + \right. \\
& \left. m p_2 ((-\bar{z}_u + \bar{z}_v \cos \alpha - y_2 \sin \alpha)^2 + (P_i^0 - b)^2) + T_{ab2} y + \right. \\
& \left. m p_2 ((\bar{z}_u + \bar{z}_v \cos \alpha + (P_i^0 - b)^2) + m v (\bar{z}_u + (P_i^0 - b)^2) + J_{ab2} y + \right. \\
& \left. J_m \left( -\bar{z}_u + \bar{z}_v \cos \alpha \right) (a + l m \sin \alpha) + m b_1 (a - y_1 \cos \alpha + z_1 \sin \alpha) (-\bar{z}_u + \bar{z}_v \cos \alpha + \right. \\
& \left. y_1 \sin \alpha) - m p_1 (a + z_1 \sin \alpha) (\bar{z}_u + \bar{z}_v \cos \alpha + y_2 \sin \alpha) + m b_2 (a - z_2 \sin \alpha - y_2 \cos \alpha) (-\bar{z}_u
\end{aligned}$$

$$(d\alpha h + d' \alpha k) + 2m\theta Lm \sin \theta + 2mpz_1 \cos \theta + 2mpz_2 \cos \theta - m\sqrt{z_1 z_2} \left[ -2m\theta Lm \right.$$

$$+ \left. \frac{1}{2} (k^2 - h^2) \right]$$

$$\cos \theta (p_0 - b) + 2mb_1(p_0 - b)(y_1 \cos \theta - z_1 \sin \theta) - 2mpz_1(p_0 - b)z_1 \sin \theta + 2mb_2(p_0 - b) \\ (z_2 \sin \theta + y_2 \cos \theta) + 2mpz_2(p_0 - b)z_2 \sin \theta + 2pdz_1(z_1 \cos \theta - z_2 \sin \theta) + p \left[ -2(h^2 - k^2)z_1^2 + \right.$$

$$2z_1^2 \partial_{\theta} + 2z_2^2 \partial_{\theta} \left. \right] - 2m\theta Lm \partial_{\theta} (2z_1 - Lm \cos \theta) \sin \theta + 2mb_1(2z_1 - z_2 \cos \theta, \sin \theta) (z_1, \cos \theta + \\ y_1 \sin \theta) + mp_z z_1 \partial_{\theta} (y_1 \cos \theta - z_1 \sin \theta) - \sin \theta (2z_1 - z_2 \cos \theta) - m b_2 (z_2 - \\ z_2 \cos \theta + y_2 \sin \theta) (y_2 \sin \theta - z_2 \cos \theta) - mp_z z_2 \partial_{\theta} (y_2 \cos \theta - z_2 \sin \theta) - \sin \theta (z_1 - z_2 \cos \theta) \left. \right] \\ + p \left[ -m\theta Lm (2\theta - z_1^2 + Lm \cos \theta) + mb_1(2(y_1 \cos \theta - z_1 \sin \theta) (z_1 - z_2 \cos \theta) \right.$$

$$\begin{aligned}
& -y_1 \sin \theta + 2(h - y_1 \cos \theta + z_1 \sin \theta) (\ddot{z}_1 \cos \theta + y_2 \sin \theta) - (I_{H1} + I_{H2}) w \dot{\theta} \dot{y}_1 + m p_1 \\
& \ddot{z}_{B1} (2 \delta_{B1} (z_a + z_B \cos \theta) + 2(z_a + z_B \sin \theta)) - 2 m b_2 (\ddot{z}_2 \cos \theta + y_2 \sin \theta) (z_a - z_a \\
& \cos \theta + y_2 \sin \theta) - (I_{H1} h y + I_{H2} h z) w \dot{\theta} \dot{z}_2 - m p_2 \ddot{z}_{B2} - m p_2 \ddot{z}_{B2} (\ddot{z}_2 \sin \theta + z_a + z_B \sin \theta) \\
& - 2 \cos \theta (a - z_B \sin \theta) - I_{H1} y_1 \dot{\theta} \left[ -2(R_{H1} h + R'_{H1} h') \right] + z \left[ 2(R_{H1} h - R'_{H1} h) \right] \\
& + D_m \left[ M_m (p_{10} - b) \partial^2 \text{Lm} \sin \theta + m b_1 (p_{10} - b) (y_1 \cos \theta - z_2 \sin \theta) - m p_1 \ddot{z}_3 \sin \theta \right. \\
& \left. (p_{10} - b) + m b_2 (p_{10} - b) (\ddot{z}_2 \cos \theta + y_2 \sin \theta) + m p_2 (p_{10} - b) \ddot{z}_{B2} \sin \theta \right] + 4m \left[ 2(p_{10} \dot{y}_1 \dot{z}_2 - \right. \\
& \left. p_{10} \dot{z}_1^2 + R_{H1} h^2 - R'_{H1} h^2) + m m \dot{\theta} \text{Lm} (z_a - L_m \cos \theta) (\cos \theta - \sin \theta) - m b_1 (z_a - z_1 \cos \theta \right. \\
& \left. - y_1 \sin \theta) (\ddot{z}_1 \cos \theta + y_2 \sin \theta) + (y_1 \cos \theta - \ddot{z}_1 \sin \theta) + m p_1 (\ddot{z}_{B1} \cos \theta (z_a + z_B \sin \theta)) - \ddot{z}_{B1}^2
\right]
\end{aligned}$$

$$\begin{aligned}
& \cos \theta) - m b_2 (z_a - z_2 \cos \theta + y_2 \sin \theta) (\ddot{z}_2 \cos \theta - y_2 \sin \theta) + (\ddot{z}_2 \cos \theta + y_2 \sin \theta) + (y_2 \cos \theta + y_2 \sin \theta)
\end{aligned}$$

$$\begin{aligned}
& \mp p_2 (\ddot{x}_{B2} \cos \theta - \dot{y}_{B2} \sin \theta) + \dot{z}_{B2} (4 \cos^2 \alpha - \cos \alpha \sin \alpha) + \dot{\theta}^2 (I_{uvu} - 2 I_{uvv}) \\
& + w_{AB}^2 (I_{ub1} \dot{y} - 2 I_{ub1} v) + w^2 A_{B2} (I_{ub2} \dot{y} - \dot{z}_{ub2} v) + (I_{uvu} - 2 I_{uvv}) \dot{\theta}^2 \\
& + \rho m \left[ -(\rho_H h (d_2 - d_1) + \delta H' h' (d'_2 - d'_1)) - m \dot{\theta}^2 \text{Im} (\sin \theta (I_{uu} - \text{Im} \cos \theta) - 2 \text{Im} \cos \right. \\
& \left. \sin \theta) - m b_1 (\dot{y}_1 \cos \theta - \dot{z}_1 \sin \theta) (x_u - z_u \cos \alpha - y_u \sin \alpha) + m p_1 (2 \dot{z}_u \sin \alpha \cos \theta + (x_u \right. \\
& \left. + z_u \cos \theta) \dot{z}_B \sin \theta) + m b_2 ((\dot{z}_u \sin \theta + \dot{y}_2 \cos \theta) (-x_u + z_u \cos \alpha - y_u \sin \alpha) + 2 ( \right. \\
& \left. \dot{z}_u \sin \theta + \dot{y}_2 \cos \theta) (x_u - y_u \sin \theta) ) - m p_2 (\dot{z}_{B2} \sin \theta (x_u + z_u \cos \theta) \right. \\
& \left. + 2 \dot{z}_{B2} \sin \theta \cos \theta) - I_{ub2} \dot{y} - I_{ub2} w^2 A_{B1} + I_{ub2} \dot{y} \dot{w}^2 A_{B2} I_{uvu} \dot{\theta}^2 \right. \\
& \left. + I_{uvu} \dot{\theta}^2 \right] + \left[ m \sin (\rho_0 - b) (2 (\cos \theta - \sin \theta) \dot{\theta}^2 \text{Im} \sin \theta (\rho_0 - b) (2 (\dot{z}_u \cos \theta \right. \\
& \left. + y_u \sin \theta) + (y_1 \cos \theta - \dot{z}_1 \sin \theta)) + m p_1 (\rho_0 - b) (2 \dot{z}_B \cos \alpha - \dot{y}_2 \sin \alpha) \text{Im} b_2 \right. \\
& \left. (\rho_0 - b) (2 (\dot{z}_u \cos \theta - \dot{y}_u \sin \theta) + (\dot{z}_2 \sin \theta + \dot{y}_2 \cos \theta) + m p_2 + (2 \dot{z}_{B2} \cos \theta + \right.
\end{aligned}$$

$$+ \vec{e} B_2 \sin \sigma) (\vec{e}_u - \vec{e}_B e (\cos \sigma - p_0 + b)) - 2 (\cos \sigma + \sin \sigma) \vec{e} B_2 \cos \sigma \Big]$$

$$[2 (k_u h_i - \text{div } h_i)] \vec{z}$$

$$\frac{d}{dt} \left( \frac{\delta T}{\delta \dot{\psi}} \right) - \frac{\delta T}{\delta \psi} = Q_\psi - \frac{\partial Q}{\partial \dot{\psi}} - - - (5)$$

$$(5.49)$$

$$\begin{aligned}
& \times \left[ m_m(a + Lm \sin \theta) + mb_1(a - y_1 \cos \theta + z_1 \sin \theta) + mp_1(a + z_{B1} \cos \theta) + mb_2(a - z_{B2} \sin \theta) \right. \\
& \quad \left. + mp_2(a - z_{B2} \cos \theta) + my_2 \sin \theta \right] + i \hat{j} \left[ hm(p_{i0} - b) + mb_1(p_{i0} - b) + mp_1(p_{i0} - b) \right. \\
& \quad \left. + mb_2(p_{i0} - b) + mp_2(p_{i0} - b) + my_2 \right] + \hat{\theta}_m \left[ hm(p_{i0} - b)(z_u - Lm \cos \theta) + mb_1(p_{i0} - b) \right. \\
& \quad \left. (z_u - z_1 \cos \theta - y_1 \sin \theta) + mp_1(z_u - z_{B1} \cos \theta)(p_{i0} - b) + mb_2(z_u - z_{B2} \cos \theta) \right. \\
& \quad \left. + mp_2(z_{B1} \cos \theta) + my_2 \sin \theta \right] + \hat{\varphi}_m \left[ hm \left( m_m(a + Lm \sin \theta) - z_u \right. \right. \\
& \quad \left. \left. + Lm \cos \theta \right) + mb_1(-z_u + z_1 \cos \theta + y_1 \sin \theta)(a - y_1 \cos \theta + z_1 \sin \theta) - mp_1(z_u + z_{B1} \right. \\
& \quad \left. \cos \theta) + mb_2(-z_u + z_1 \cos \theta - y_1 \sin \theta)(a - z_{B2} \cos \theta - y_2 \sin \theta) \right. \\
& \quad \left. (a + z_{B1} \cos \theta) + mb_2((a - z_{B2} \cos \theta) - mv z_u a) \right] + \hat{\varphi}_m \left[ hm \left( (a + Lm \sin \theta)^2 + \right. \right. \\
& \quad \left. \left. (p_{i0} - b)^2 \right) + T_{um}^2 + mb_1((a - y_1 \cos \theta + z_1 \sin \theta)^2 + (p_{i0} - b)^2) + T_{ub_1}^2 \right. \\
& \quad \left. + mp_1((a + z_{B1} \cos \theta - y_2 \sin \theta)^2 + (p_{i0} - b)^2) + T_{ub_2}^2 \right. \\
& \quad \left. + (p_{i0} - b)^2 \right] + mb_2 \left( (a - z_2 \cos \theta - y_2 \sin \theta)^2 + (p_{i0} - b)^2 \right) + T_{ub_2}^2 + mp_2
\end{aligned}$$

$$\begin{aligned}
& \left[ (h - z_2 \cos \theta)^2 + (p_1 - b)^2 \right] + m v \left( \dot{r}_1^2 + (p_1 - b)^2 \right) + T_{ubm} \ddot{z} = X \left[ d_H (d_1 - d_2) + d'_H \right. \\
& \left. (d'_1 - d'_2) + m b_2 \left( (\dot{r}_2 \cos \theta - i y_2 \sin \theta) + (\dot{r}_2 \cos \theta + i y_2 \sin \theta) \right) + \dot{y} \left[ 2(d'_H d_2 - d'_2 d_1) \right] + \dot{\theta}_m [2 \right. \\
& \left. (r_1 d'_H - h d_1 d_H) - 2 m_m \dot{\theta} L_m \cos \theta (p_1 - b) + 2 m b_1 (p_1 - b) (\dot{r}_2 (\cos \theta + i \sin \theta) + 2 m p_1 \right. \\
& \left. \dot{z}_B) \cos \theta (p_1 - b) + 2 m b_2 (p_1 - b) (\dot{r}_2 (\cos \theta - i \sin \theta) + 2 m p_2 \cos \theta (p_1 - b)] \right] + \\
& \dot{\psi}_m \left[ d_H h (d_2 - d_1) + h d'_H (d'_2 - d'_1) + 2 m_m \dot{\theta} L_m (n + L_m \cos \theta) (\sin \theta - \dot{T}_{ubm} \dot{\theta} + T_{ubm} \right. \\
& \left. \dot{\theta} - m b_1 (h - y_1 \cos \theta + z_2 \sin \theta) (\dot{r}_1 \cos \theta + i y_1 \sin \theta) + T_{ub} g W_B 1 + T_{ub} g W_B 1 - \right. \\
& \left. m b_2 (2(\dot{r}_2 \cos \theta - i y_2 \sin \theta)(h - z_2 \cos \theta - i y_2 \sin \theta)) + T_{ub} g W_B 2 + T_{ub} g W_B 2 + \right. \\
& \left. T_{ub} \dot{\theta} + T_{ub} \dot{y} \right] + \dot{\psi}_m \left[ -2 \left( (d_1^2 - d_2^2) + 2 d_1^2 \right) - d'_H \left( (d_1^2 - d_2^2) + 2 d_2^2 \right) - 2 m_m \dot{\theta} L_m \right. \\
& \left. (n + L_m \cos \theta) (2 \cos \theta + \dot{z}_B) + m b_1 (n - y_1 \cos \theta + z_2 \sin \theta) (y_1 \cos \theta - z_1 \sin \theta) + 2 m p_1 \right. \\
& \left. \dot{z}_B (h + z_2 \sin \theta) \cos \theta + 4 m b_2 (n - z_2) \cos \theta - y_2 \sin \theta + \dot{y}_2 \cos \theta \right]
\end{aligned}$$

$$\begin{aligned}
 & + 2m p_2 \tilde{\epsilon}_{B2} \sin \theta (a - 2\delta_2 \cos \theta) + 2u_{B2} g_W A_B \epsilon_2 - 2u_{B2} g_W \theta \epsilon_2 - 2u_{B2} g_W \theta \epsilon_2 \\
 & \left( \delta_2 - \delta_1 \right) + b'_H \left( \delta'_2 - \delta'_1 \right) + \sqrt{2(R_H \delta_1 - R'_H \delta_2)} + 2m \left[ 2(R_{H1} \delta_1, b - R'_H \delta_2, b) - m m \theta^2 L m \right. \\
 & \cos \theta (p_{10} - b) + m b_1 (p_{10} - b) (\tilde{\epsilon}_1 \cos \theta + \tilde{\epsilon}_1 \sin \theta) + m p_1 \tilde{\epsilon}_1 b_1 \cos \theta (p_{10} - b) + m b_2 (\tilde{\epsilon}_2 \cos \theta \tilde{\epsilon}_2 \\
 & \sin \theta) (p_{10} - b) + m p_2 \tilde{\epsilon}_2 b_2 \cos \theta (p_{10} - b) \left. \right] + 2m \left[ R_H h(\delta_1, \delta_2) + R'_H h'(\delta'_1, -\delta'_2) + m m \right. \\
 & \tilde{\epsilon}_1^2 m \sin \theta \cdot \cos \theta - T_{um2} \delta_2 - m b_1 (a - y_1 \cos \theta + z_1 \sin \theta) (\tilde{\epsilon}_1 \cos \theta + \\
 & \tilde{\epsilon}_1 \sin \theta) + T_{ub1} \tilde{\epsilon}_1 \epsilon_{B1} - m p_1 \tilde{\epsilon}_1 b_1 (a + \tilde{\epsilon}_1 B_1 \sin \theta) \cos \theta - m p_2 (\tilde{\epsilon}_2 B_2 \\
 & \cos \theta (a - \tilde{\epsilon}_2 B_2 \sin \theta) - \tilde{\epsilon}_2 b_2 (a \cos \theta + \tilde{\epsilon}_2 B_2 \sin \theta) - T_{uv2} \theta \epsilon_2 \left. \right] + 2m \left[ R_H (2\delta_1, \tilde{\epsilon}_1 \delta_2^2, \right. \\
 & \left. \delta'_1 \delta'_2 + \delta'_1 \delta_2 \right] - 2m m \theta^2 L m (3L m \sin \theta \cos \theta + a \cos \theta) - 2m b_1 ((\tilde{\epsilon}_1 \cos \theta + \tilde{\epsilon}_1 \sin \theta) - \\
 & 2\tilde{\epsilon}_1 \cos \theta) + (a - y_1 \cos \theta + z_1 \sin \theta) (\tilde{\epsilon}_1 \cos \theta + \tilde{\epsilon}_1 \sin \theta) - 2m p_2 (a + \tilde{\epsilon}_2 \sin \theta) \tilde{\epsilon}_2 b_1 \cos \theta - \\
 & 2m b_2 ((\tilde{\epsilon}_2 \cos \theta + \tilde{\epsilon}_2 \sin \theta) (\tilde{\epsilon}_2 \cos \theta + \tilde{\epsilon}_2 \sin \theta)) \tilde{\epsilon}_2 m p_2 \tilde{\epsilon}_B 2
 \end{aligned}$$

$$\begin{aligned}
 & \cos(\alpha - 2\beta \sin \sigma) + \sum_{\text{abes}} E_{\text{abes}} \sum_{\text{abrs}} E_{\text{abrs}} + \dot{\theta}^2 (-2 \sum_{\text{unm}} + \sum_{\text{uny}} + \sum_{\text{umz}}) \\
 & - (2 \sum_{\text{ubim}} - \sum_{\text{ubiy}} - \sum_{\text{ubig}}) \dot{w}_1 \dot{\theta}_1 + (\sum_{\text{ubey}} - 2 \sum_{\text{ubaz}}) \dot{w}_2 \dot{\theta}_2 + (\sum_{\text{unz}} - 2 \\
 & \sum_{\text{unv}} + \sum_{\text{uny}}) \dot{\theta}_2 \left[ m \dot{m}^2 \sin \theta (\rho_{10} - b) - m b_1 (\rho_{10} - b) (\dot{y}_j, \cos \sigma - \dot{z}_j, \sin \sigma) + m p_1 \right. \\
 & \left. \dot{z}_{\theta_1} \sin \sigma (\rho_{10} - b) - m b_2 (\dot{z}_2 \sin \sigma + \dot{y}_2 \cos \sigma) (\rho_{10} - b) - m p_2 \dot{z}_{\theta_2} \sin \sigma (\rho_{10} - b) \right]
 \end{aligned}$$

$$\frac{d}{dt} \left( \frac{\partial T}{\partial \dot{\varphi}} \right) - \frac{\partial T}{\partial \varphi} = \dot{\varphi} \varphi - \frac{\partial \varphi}{\partial \dot{\varphi}} = \dots \quad (6) \quad (5. \quad 49)$$

## 6. RESOLUTION NUMERIQUE

### 6.1 SYSTEME D'EQUATIONS DIFFERENTIELLES

L'application des équations de Lagrange aux éléments du moteur donneront un système de six équations non linéaires, du second ordre à coefficients variables régissant le mouvement du bloc moteur sur sa suspension élastique.

On écritra le système d'équations obtenu sous la forme matricielle suivante :

$$[M]\{\ddot{q}\} + [D]\{\dot{q}\} + [K]\{q\} + \{C\} = \{B\} \quad (6.1)$$

avec  $[M]$  : matrice d'inertie du système  $6 \times 6$

$[D]$  : matrice d'amortissement du système  $6 \times 6$

$[K]$  : matrice de rigidité du système  $6 \times 6$

$\{B\}$  : matrice colonne des forces et des couples d'excitations 6 éléments.

$\{C\}$  : matrice colonne de non linéarité en fonction de  $q^2$  et  $q^3$

$\{q\}$ ,  $\{\dot{q}\}$  et  $\{\ddot{q}\}$  : matrices colonnes des coordonnées généralisées, de leurs dérivées premières et secondes.

## 62 CHOIX D'UNE METHODE DE RESOLUTION

Le système d'équation différentielles obtenu ne peut pas être résolu analytiquement, il est donc nécessaire d'utiliser une méthode numérique nous permettant de trouver une solution convenable.

La méthode de Runge-Kutta d'ordre 4 s'adapte facilement pour le genre d'équations, car elle donne l'évolution de la solution au cours du temps, et ne nécessite pas de grandes transformations avec une précision acceptable. Le calculateur utilisé étant puissant, le système à résoudre est à six équations seulement, ce qui rend donc cette méthode plus pratique.

## 63 METHODE DE RUNGE-KUTTA-4

La méthode de Runge-Kutta d'ordre 4 est donc choisie pour la résolution du système d'équations différentielles linéaire, à coefficients variables de second ordre avec second membre.

### 6.3.1 POSITION DU PROBLEME

Le système d'équations différentielles à résoudre est donné sous la forme suivante :

$$\begin{aligned} \frac{dy_1}{dt} &= f_1(t, y_1, y_2, y_3, \dots, y_s, \dots, y_n) \\ \frac{dy_2}{dt} &= f_2(t, y_1, y_2, y_3, \dots, y_s, \dots, y_n) \\ &\vdots \\ \frac{dy_s}{dt} &= f_s(t, y_1, y_2, y_3, \dots, y_s, \dots, y_n) \\ &\vdots \\ \frac{dy_n}{dt} &= f_n(t, y_1, y_2, y_3, \dots, y_s, \dots, y_n) \end{aligned} \quad (6.2)$$

avec les conditions initiales :

$$\begin{aligned}
 y_{1,0} &= y_1(t_0) = d_1 \\
 y_{2,0} &= y_2(t_0) = d_2 \\
 y_{3,0} &= y_3(t_0) = d_3 \\
 &\cdots \\
 y_{s,0} &= y_s(t_0) = d_s \\
 &\cdots \\
 y_{n,0} &= y_n(t_0) = x_n
 \end{aligned} \tag{6.3}$$

L'algorithme Runge-Kutta permettrait, à l'aide d'un développement de Taylor, de retrouver les solutions  $y(t^i + h)$  en connaissant ces mêmes solutions à l'instant  $t^i$ . (où  $h$  est le pas de calcul)

L'ordinateur tracera donc un tableau donnant les valeurs des lignes  $y_s$  pour les valeurs de la variable :

$$\begin{aligned}
 t &= t_0 + h \\
 t &= t_0 + 2h \\
 t &= t_0 + 3h \\
 &\cdots \\
 t &= t_0 + ih \\
 &\cdots \\
 t &= t_0 + nh
 \end{aligned} \tag{6.4}$$

## 6.3.2 EXPOSE DE L'ALGORITHME

Connaissant  $y_{1,i}, y_{2,i}, y_{3,i}, \dots, y_{s,i}, \dots, y_{n,i}$  correspondant à  $t = t_0 + i^{\circ}h = t^i$ , on détermine  $y_{1,i+1}, y_{2,i+1}, y_{3,i+1}, \dots, y_{s,i+1}, \dots, y_{n,i+1}$  correspondant à  $t = t_0 + (i+1)h = t^{i+1}$  par les formules

$$y_{1,0+1} = y_{1,0} + \frac{1}{6} (K_{11} + 2K_{12} + 2K_{13} + K_{14})$$

$$y_{2,0+1} = y_{2,0} + \frac{1}{6} (K_{21} + 2K_{22} + 2K_{23} + K_{24})$$

$$\dots \dots \dots \dots \dots \dots \dots \quad (6.5)$$

$$y_{5,0+1} = y_{5,0} + \frac{1}{6} (K_{51} + 2K_{52} + 2K_{53} + K_{54})$$

$$\dots \dots \dots \dots \dots \dots \dots$$

$$y_{n,0+1} = y_{n,0} + \frac{1}{6} (K_{n1} + 2K_{n2} + 2K_{n3} + K_{n4})$$

avec

$$K_{s1} = h * f_s(t, y_{1,0}, y_{2,0}, y_{3,0}, \dots, y_{5,0}, \dots, y_{n,0})$$

$$K_{s2} = h * f_s(t + h/2, y_{1,0} + K_{11}/2, y_{2,0} + K_{12}/2, \dots, y_{5,0} + K_{51}/2, \dots, y_{n,0} + K_{n1}/2)$$

$$K_{s3} = h * f_s(t + h/2, y_{1,0} + K_{12}/2, y_{2,0} + K_{22}/2, \dots, y_{5,0} + K_{52}/2, \dots, y_{n,0} + K_{n2}/2)$$

$$K_{s4} = h * f_s(t + h, y_{1,0} + K_{13}, y_{2,0} + K_{23}, y_{3,0} + K_{33}, \dots, y_{5,0} + K_{53}, \dots, y_{n,0} + K_{n3}) \quad (6.7)$$

$K_{s1}, K_{s2}, K_{s3}, K_{s4}$  sont les coefficients de Runge-Kutta. Ce sont des vecteurs qui seraient être calculés pour chaque itération et forment les fonctions approximatives de la fonction étudiée.

## REMARQUE

On constate tout de suite que la difficulté de cette méthode réside dans le choix du pas d'intégration  $h$ . Si on ne le prend pas assez faible, les formules d'approximation ci-dessus ne sont plus valables et si on le prend trop faible, le temps de calcul serait prohibitif.

### 6.3.3 TRANSFORMATION DU SYSTEME D'ÉQUATIONS

Le système étudié est sous la forme :

$$[M]\{\ddot{q}\} + [D]\{\dot{q}\} + [K]\{q\} + \{c\} = \{B\} \quad (6.8)$$

Pour appliquer l'algorithme de Runge-Kutta, on ferait multiplier ce système de part et d'autre par la matrice d'inertie inverse  $[M]^{-1}$ , on obtient

$$\{\ddot{q}\} = -[M]^{-1}[D]\{\dot{q}\} - [M]^{-1}[K]\{q\} - [M]^{-1}\{c\} + [M]^{-1}\{B\} \quad (6.9)$$

$$\text{on pose } \{\dot{q}\} = \{p\} \quad (6.10)$$

$$\text{alors } \{\ddot{q}\} = \{\dot{p}\} \quad (6.11)$$

l'expression (6.9) s'écrit donc :

$$\{\dot{p}\} = [\square 1]\{p\} + [K1]\{q\} + [C1]\{c\} + \{B1\} \quad (6.12)$$

$$\text{avec } [\square 1] = -[M]^{-1}[D].$$

$$[K1] = -[M]^{-1}[K]$$

$$[C1] = -[M]^{-1}$$

$$\{B1\} = [M]^{-1}\{B\}.$$

donc le système d'ordre  $M$  se transforme en système d'ordre  $2 \times M$ .

## 64. PROGRAMME

### 64.1. RESULTATS RECHERCHES

Pour toutes les vitesses de rotation  $\omega$  du moteur appartenant à la plage de fonctionnement, il est intéressant de connaître :

- l'amplitude d'oscillation du moteur pour faire une vérification expérimentale ou pour juger de la perturbation produite dans les mécanismes entraînés.
- déplacement et vitesse maximales de chaque plot de suspension afin de calculer les forces transmises à l'environnement.

Le temps de calcul est très grand, donc il est envisagé de ne faire imprimer par l'ordinateur que les résultats strictement nécessaires.

## 64.2. ALGORITHME DU CALCUL

Les données nécessaires au calcul sont :

- Les caractéristiques d'élasticité et d'amortissement dans toute les directions des plots de suspensions.
- Géométrie de la suspension
- Les données statiques et dynamiques du moteur
- Le pas, le nombre de valeurs et les conditions initiales

Pour le temps  $t = t^{\text{ini}}$ , on calcule :

- La matrice d'inertie
- La matrice d'amortissement
- La matrice de rigidité
- La matrice colonne d'excitation
- La fonction de non linéarité

pour  $t_0^o, t_0^{o+1/2}, t_0^{o+1}$ , afin de calculer  $K_{S1}, K_{S2}, K_{S3}$   
et  $K_{S4}$

les condonées et vitesses généralisées qui sont données par :

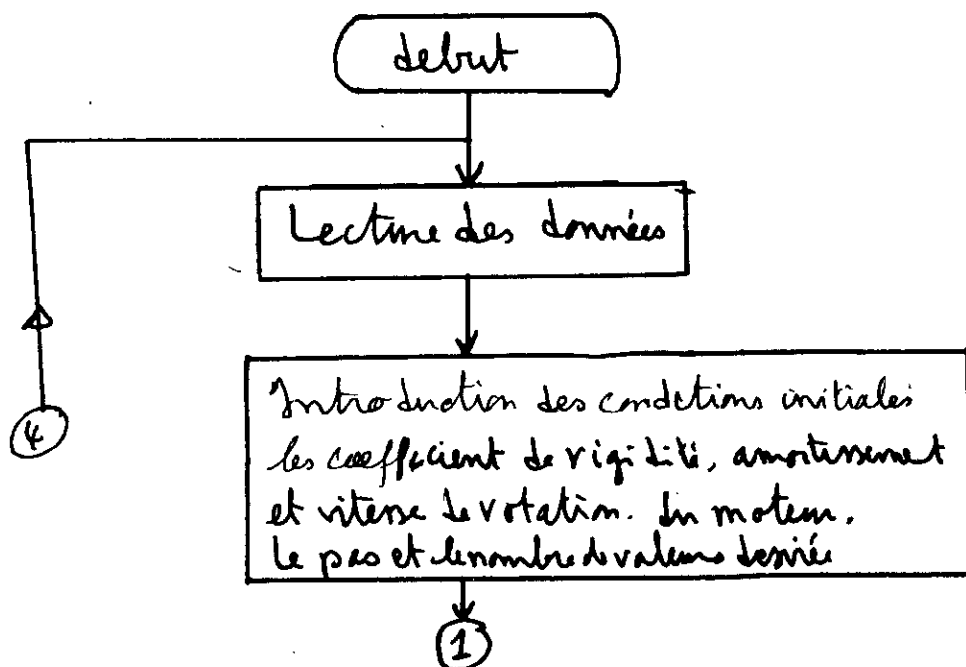
$$y_{S_i^{o+1}} = y_{S_i^o} + \frac{1}{6} (K_{S1}^o + 2K_{S2}^o + 2K_{S3}^o + K_{S4}^o) \quad (6.12)$$

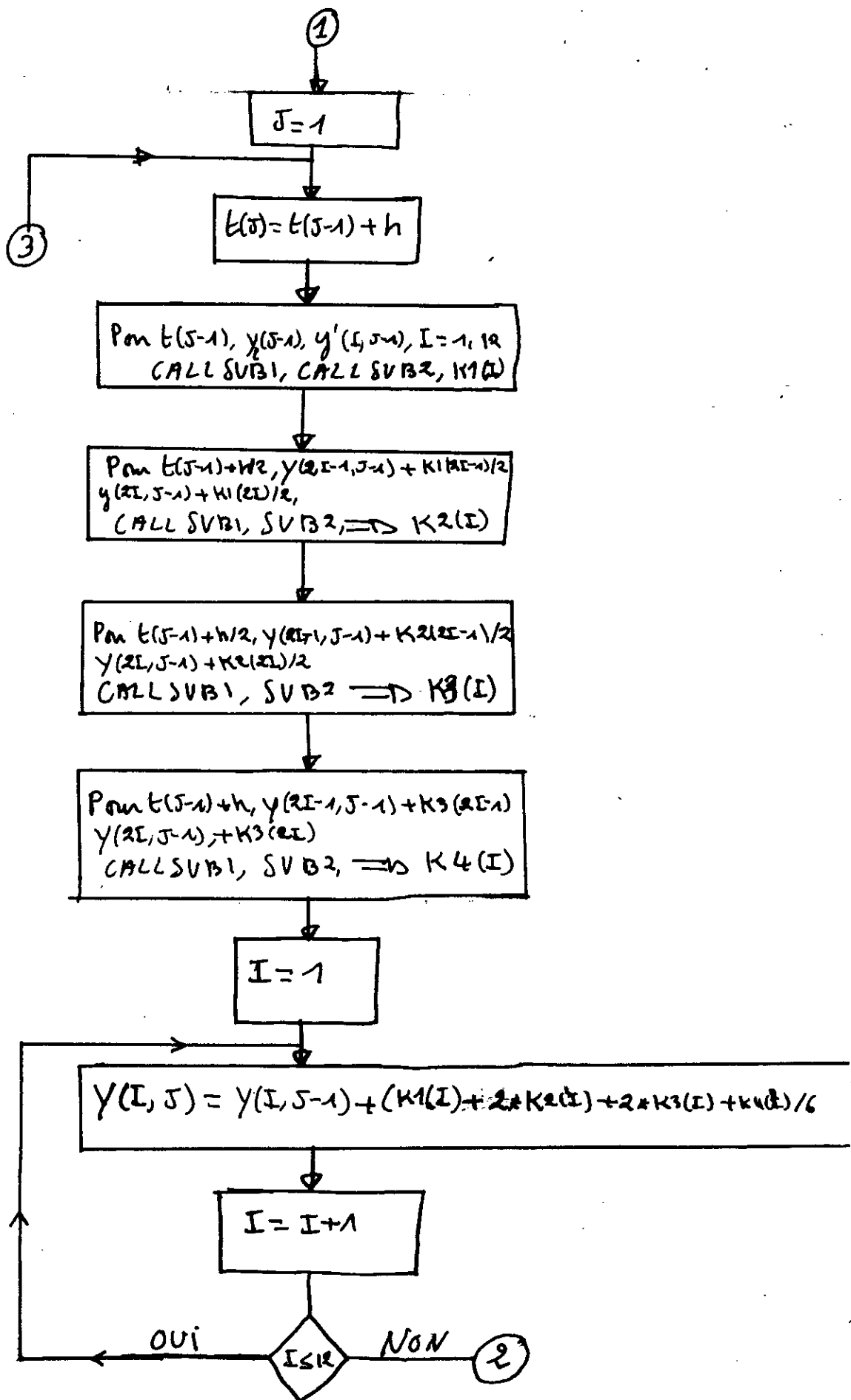
- les déplacements des plots de nos poulies qui sont données par les formules. (5.2), (5.3), (5.4) et (5.5)

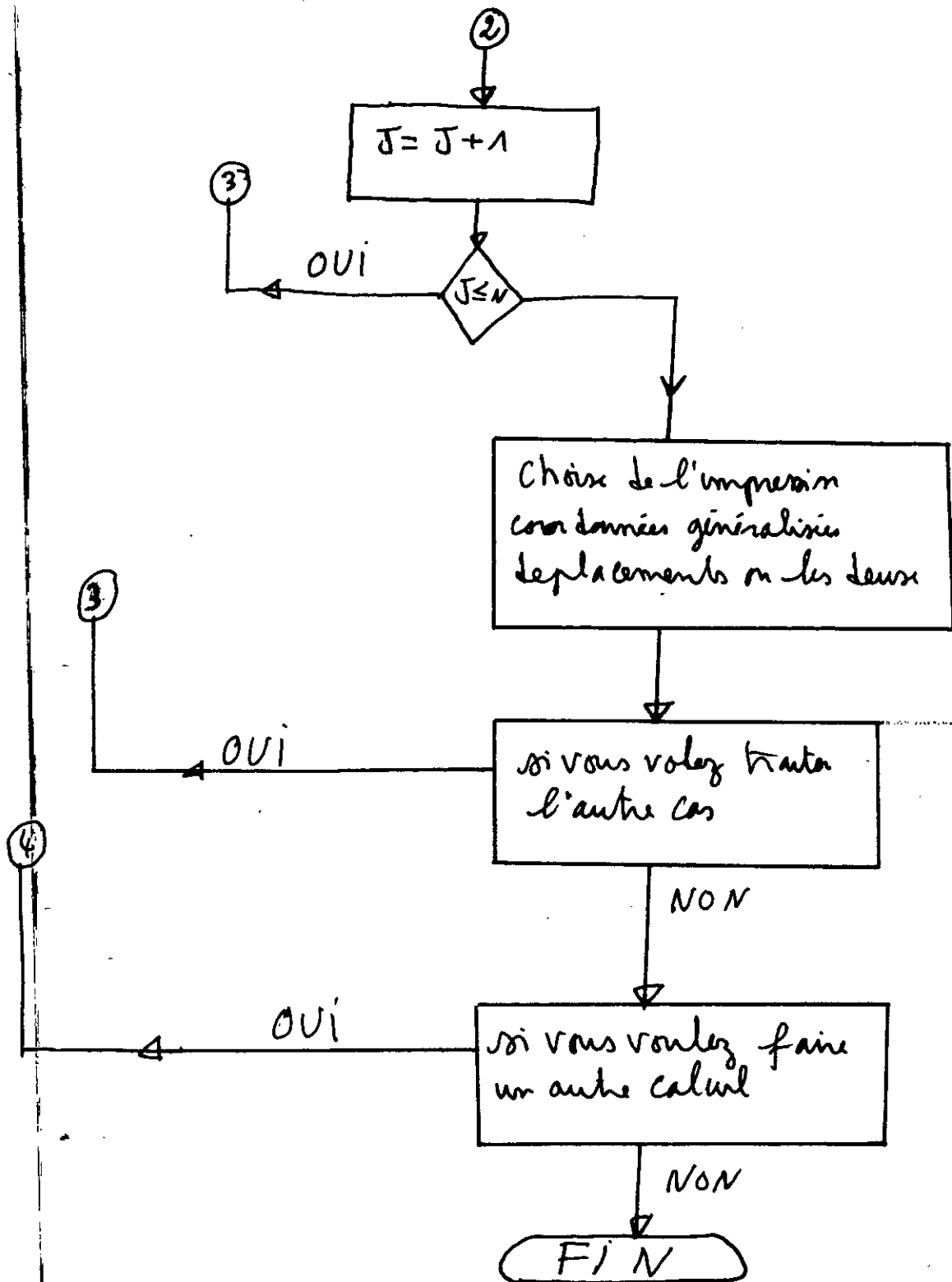
La solution du problème serait déterminée point par point pour deux tours du vilebrequin par les moteurs à quatre temps soit

$$t \in [0, \frac{4\pi}{W}] \quad (6.13)$$

### 6.4.3. ORGANIGRAMME







CH22 TT

- do certif. que o Pmgy-Kufla K1, K2, K3, etc.
  - o resultado do deslocamento que é a medida da rigidez  
CH22 PRO
  - o resultado da amplitude de vibração de um sistema. CH22 PRO
  - o resultado da amplitude de vibração de um sistema que não tem amortecimento:  
que não tem amortecimento SUSZ, que tem amortecimento SUSZ.
- \* sus pendulares SUSZ.

amplitude. CH22 PRO

- o resultado de todos os resultados para a medida de massa
- o resultado de todos os resultados para a medida de massa CH22 W1
- o resultado de massa de um sistema que não tem amortecimento. CH22 W1
- o resultado de amplitude de excitação CH22 BX
- o resultado de amplitude de excitação CH22 BX
- o resultado de massa + CH22 KX
- o resultado de rigidez CH22 KX
- o resultado de massa CH22 MX

- medidas que permitem a constante de amortecimento:
- de cada pendular SUSZ constante permanente que
- \* sus pendulares SUSZ

## 7. RESOLUTION DANS UN CAS PARTICULIER

On tiendra compte seulement de mouvement de révolution c-à-d mouvement de translation suivant l'axe z donc le moteur a un degré de liberté suivant l'axe z.

### 7.1. EQUATION DIFFERENTIELLE

L'équation différentielle de mouvement est :

$$M\ddot{z} + 4d\nu \dot{z} - 4k_1 z - 4k_2 z^2 - 4k_3 z^3 = f(t) \quad (7.1)$$

$$\text{ou } \ddot{z} + \frac{4d\nu}{M} \dot{z} - \frac{4k_1}{M} z - \frac{4k_2}{M} z^2 - \frac{4k_3}{M} z^3 = f(t) \quad (7.2)$$

on bien

$$\ddot{z} + 2\xi\omega_0 \dot{z} + \omega_0^2 z + A z^2 + B z^3 = f(t) \quad (7.3)$$

avec

$f(t)$  force d'excitation par unité de masse

$\omega_0$  : fréquence propre du mouvement.

$$\omega_0^2 = -\frac{4k_1}{M} \quad \text{avec } k_1 \text{ négatif}$$

$\xi$  : coefficient d'amortissement.

$$2\xi\omega_0 = \frac{4d\nu}{M}$$

On remarque que la valeur de  $\xi$  ou  $d\nu$  est inconnue donc on va faire varier cette valeur et voir son influence sur l'amplitude des vibrations et ainsi

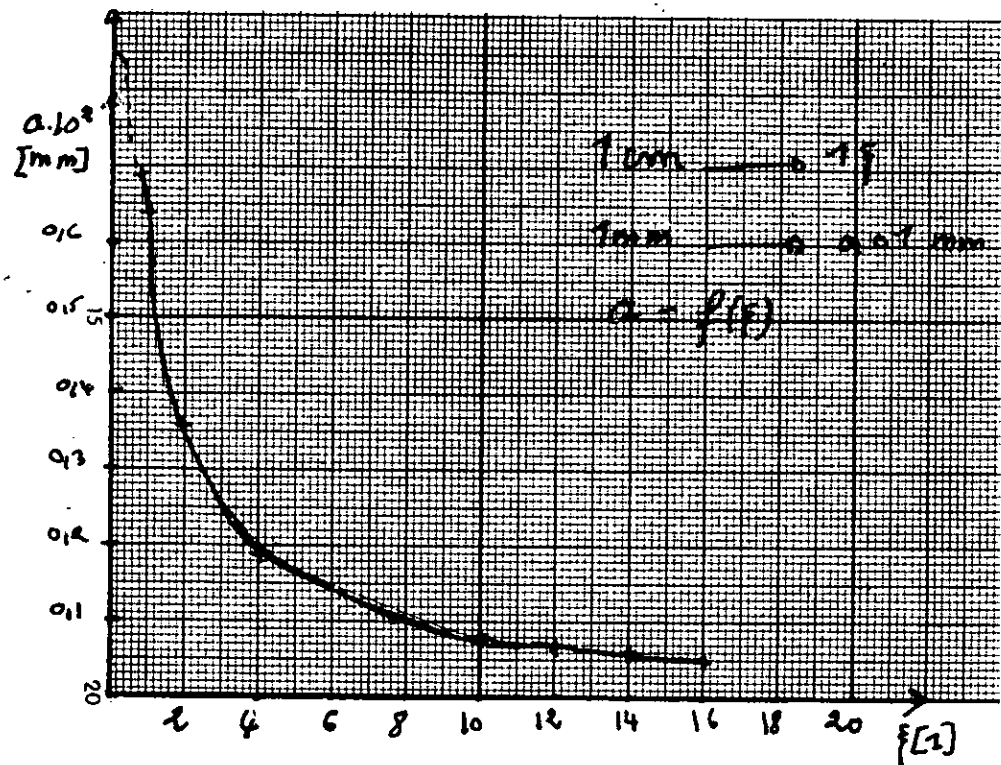
l'influence de la variation de la vitesse de rotation du moteur.

## 7.2. RESULTATS

Pour chaque valeur de  $f$  et  $\omega$ , on mesure l'amplitude des vibrations et on les place dans le tableau suivant pour pouvoir tirer différentes conclusions.

$\omega/\text{rad/mm}$	100	200	300	400	500
0,100	0,5000000	0,7102015	0,8920032	0,9436096	0,8013644
0,200	0,742114	0,7705000	0,7394178	0,7157831	0,2915652
0,300	0,4867016	0,4410000	0,4581732	0,468282	0,1955636
0,400	0,3010101	0,2800000	0,2756198	0,2632354	0,8096606
0,500	0,18267892	0,1141798	0,1094312	0,9806394	0,5067327
0,600	0,6388897	0,5446360	0,5245173	0,7472914	1,7723772
0,700	0,3413696	0,1724346	0,1427251	0,916352	1,7080902
1,000	0,8640981	0,7196194	0,2925148	0,903172	1,2632246
1,400	0,1940396	0,3936744	0,5754883	0,7375521	0,7623958
16,000	0,0810227	0,1626382	0,3451534	0,3347188	0,3377436
12,000	0,0678317	0,1370126	0,2058594	0,2725420	0,2836015
14,000	0,0582431	0,1177203	0,1765675	0,2246668	0,2442604
16,000	0,0511808	0,1031830	0,1548256	0,2059578	0,2144234
Amplitude maximale en (mm)					

## 7.3. INTERPRETATION GRAPHIQUE DES RESULTATS



## 8. CONCLUSION

L'établissement des équations différentielles du mouvement et l'élaboration d'un programme de résolution de ces équations constituent l'étape principale dans le dimensionnement des plots de suspension.

Cette étude est très importante car la suspension élastique des machines est maintenant une pratique courante, mais sa mise en œuvre n'est pas aussi simple qu'on pourrait penser, et son efficacité ne peut résulter que d'une étude sérieuse.

Pour conclure, je souhaite que cette étude sera d'un apport appréciable aux étudiants qui travailleront sur ce sujet.

## ANNEXE A

Rotation de  $\theta_m$  : autour de  $\vec{i}^0$

(Fig. 1)

$$\begin{aligned}\vec{i}'^0 &= \vec{i}^0 \\ \vec{j}'^0 &= \cos \theta_m \vec{j}^0 + \sin \theta_m \vec{k}^0 \\ \vec{k}'^0 &= -\sin \theta_m \vec{j}^0 + \cos \theta_m \vec{k}^0\end{aligned}$$

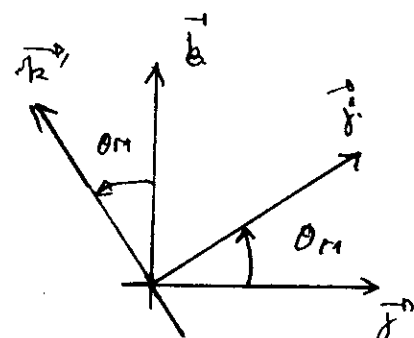
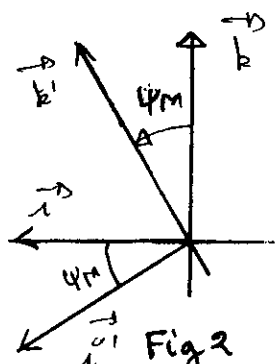


Fig. 1

Rotation de  $\psi_m$  : autour  $\vec{j}^0$

(Fig. 2)

$$\begin{aligned}\vec{i}'^0 &= \cos \psi_m \vec{i}^0 - \sin \psi_m \vec{k}^0 \\ \vec{j}'^0 &= \vec{j}^0 \\ \vec{k}'^0 &= \sin \psi_m \vec{i}^0 + \cos \psi_m \vec{k}^0\end{aligned}$$



Rotation de  $\varphi_m$  : autour  $\vec{k}^0$

(Fig. 3)

$$\begin{aligned}\vec{i}'^0 &= \cos \varphi_m \vec{i}^0 + \sin \varphi_m \vec{j}^0 \\ \vec{j}'^0 &= -\sin \varphi_m \vec{i}^0 + \cos \varphi_m \vec{j}^0 \\ \vec{k}'^0 &= \vec{k}^0\end{aligned}$$

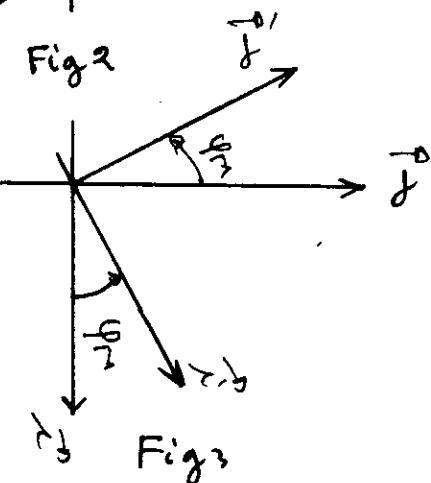


Fig. 3

## ANNEXE B

On définit le tenseur d'inertie du solide ( $S$ ) par rapport à son centre de gravité  $G$ , exprimé dans un repère est par :

$$[\mathcal{J}] = \begin{bmatrix} A & -F & -E \\ -F & B & -D \\ -D & -B & C \end{bmatrix}$$

$A, B, C$  sont les moments d'inertie

$D, E$  et  $F$  sont les produits d'inertie

Si un solide possède deux plans de symétrie : les trois produits d'inertie sont nuls. Donc on a :

$$[\mathcal{J}] = \begin{bmatrix} A & 0 & 0 \\ 0 & B & 0 \\ 0 & 0 & C \end{bmatrix}$$

Le vecteur vitesse angulaire instantanée est :

$$\{\vec{\omega}^0\} = \begin{bmatrix} \vec{\omega}_x \\ \vec{\omega}_y \\ \vec{\omega}_z \end{bmatrix}$$

$$\text{on a donc : } \{\vec{\omega}^0\}^t = [\vec{\omega}_x \vec{\omega}_y \vec{\omega}_z]$$

Donc le produit

$$\vec{\omega}^0 \cdot [\mathcal{J}] \cdot \vec{\omega} = [\vec{\omega}_x \vec{\omega}^0 \vec{\omega}_y \vec{\omega}^0 \vec{\omega}_z \vec{\omega}^0] \begin{bmatrix} A & 0 & 0 \\ 0 & B & 0 \\ 0 & 0 & C \end{bmatrix} \vec{\omega}$$

$$\vec{\omega}^t \cdot [\gamma] \cdot \vec{\omega} = [w_x A \vec{i} \quad w_y B \vec{j} \quad w_z C \vec{k}] \begin{bmatrix} w_x \vec{i} \\ w_y \vec{j} \\ w_z \vec{k} \end{bmatrix}$$

$$\vec{\omega}^t \cdot [\gamma] \cdot \vec{\omega} = A w_x + B w_y + C w_z$$

## INDEX BIBLIOGRAPHIQUE

1. M. A. JULIEN. Dynamique de l'automobile  
ed. Technip
2. B. SWOBODA. Mécaniques des moteurs alternatifs  
ed. Technip
3. R. BRUN. Science et Technique du moteur Diesel  
industriel et de transport  
ed. Technip
4. ABED MERIEM et M. KSIASEK. Comportement dynamique  
d'un moteur F4L912 sous l'effet des excitations  
internes  
EDP JUIN 87.
5. Technique de l'ingénieur
- B.595 ISOPation anti vibratoire et antichocs.  
Jean MORLON.
- A 1220 Méthodes numériques de base
- B 5772 Etude des vibrations forcées.
6. J. P. PELLETIER. Technique numériques appliquées  
au calcul scientifique  
MASSON. m.
7. TIMOSHENKO: Théorie des vibrations
8. F. SCHEID. Analyse numérique . cours et problèmes  
serieschamm

